



Contenuti



Stato dell'arte in Italia



2 02

Dispositivi di protezione sismica



> 03

Test sperimentali in scala reale



Componenti e principio di funzionamento dei sistemi AMD di ISAAC



> 05

Progettazione e modellazione FEM con esempio di calcolo



> 06

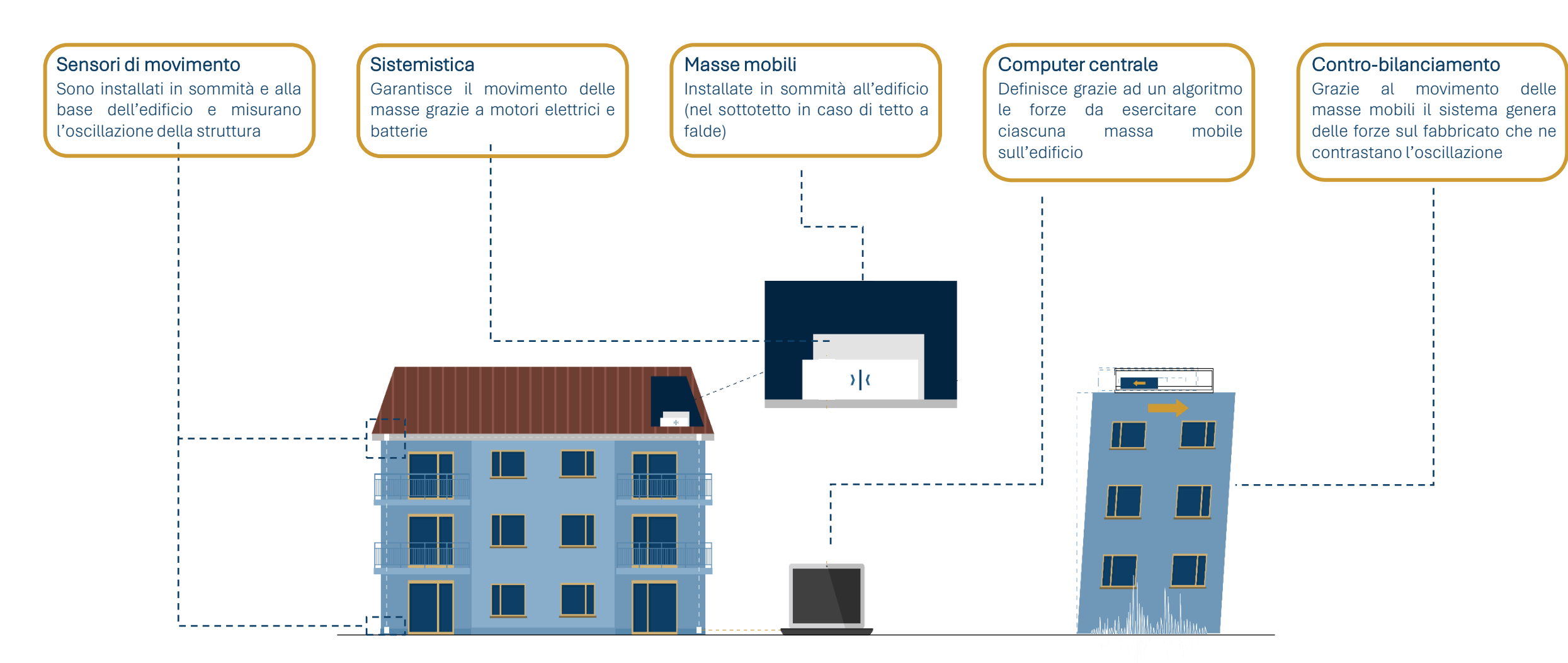
Applicazioni reali







Principio di funzionamento degli AMD

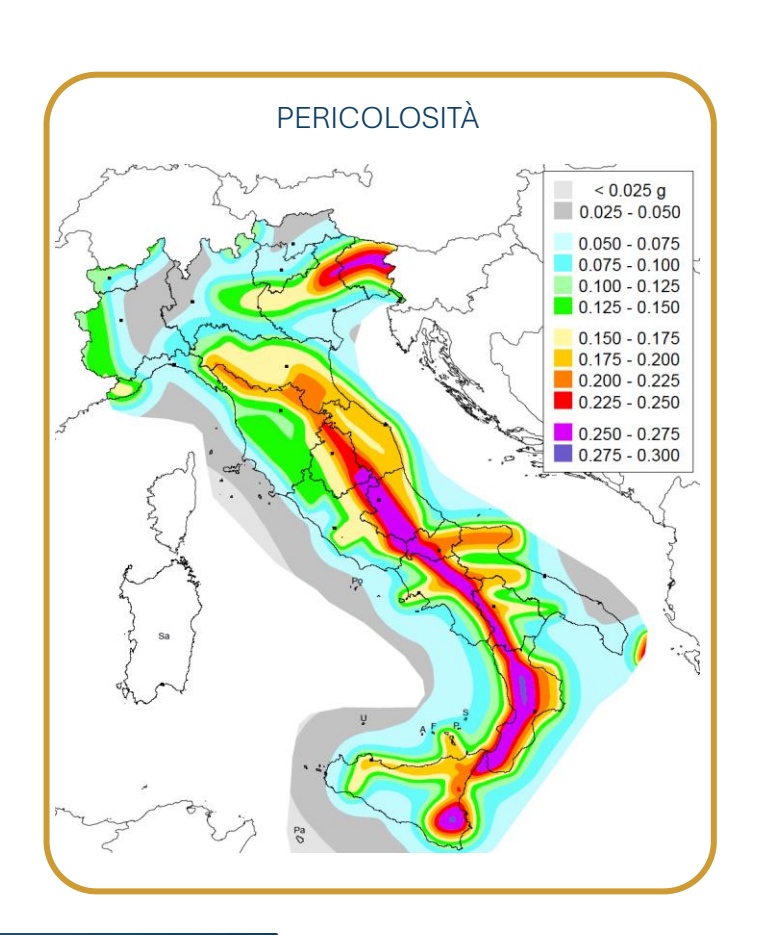


1.

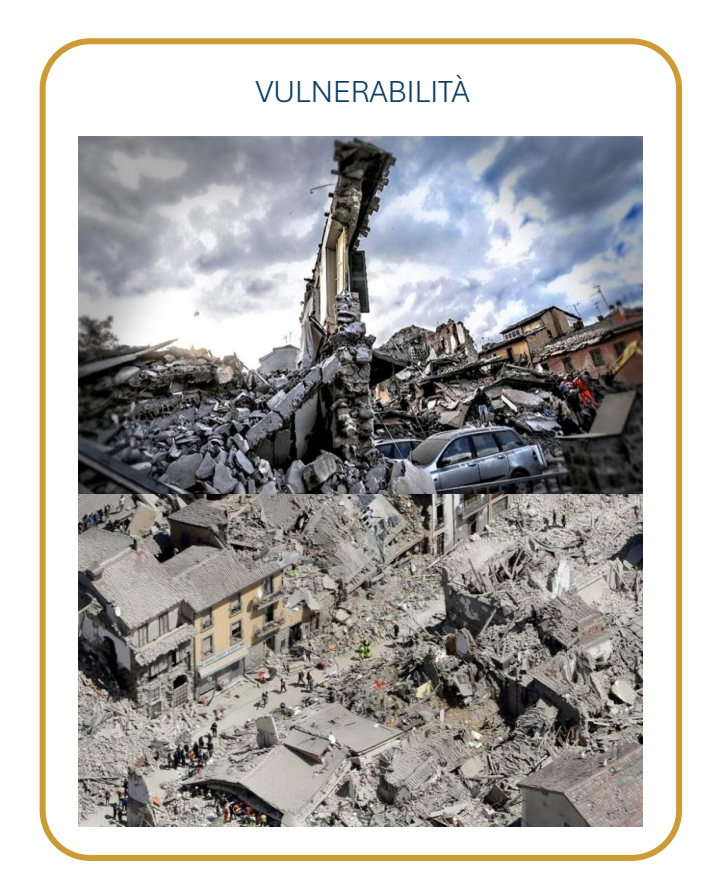
Stato dell'arte in Italia

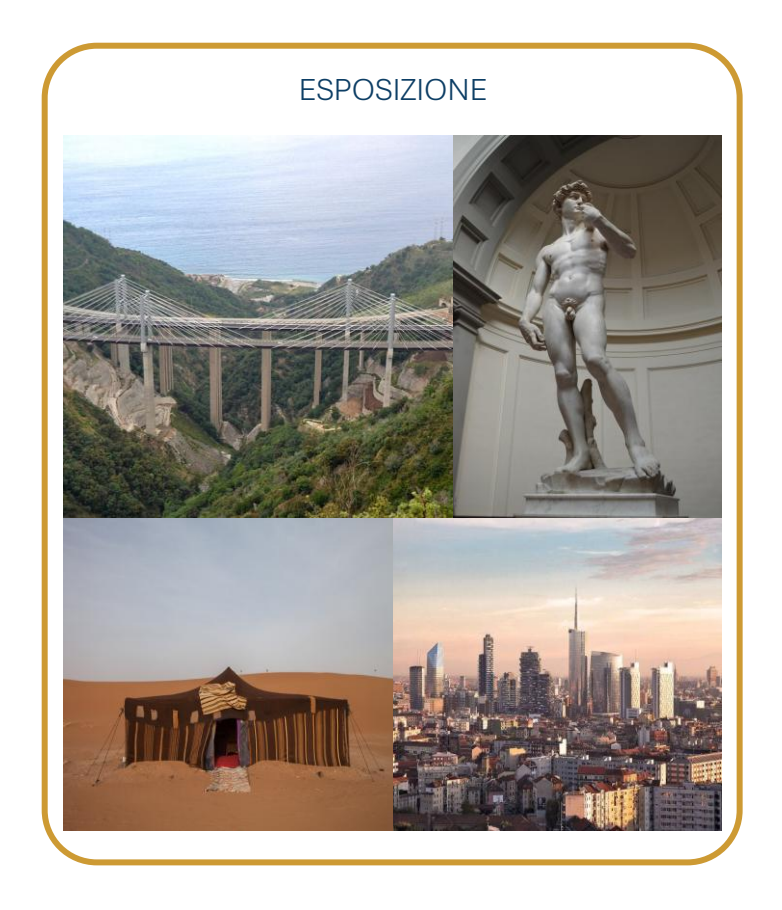


Qual è l'obiettivo della protezione sismica?

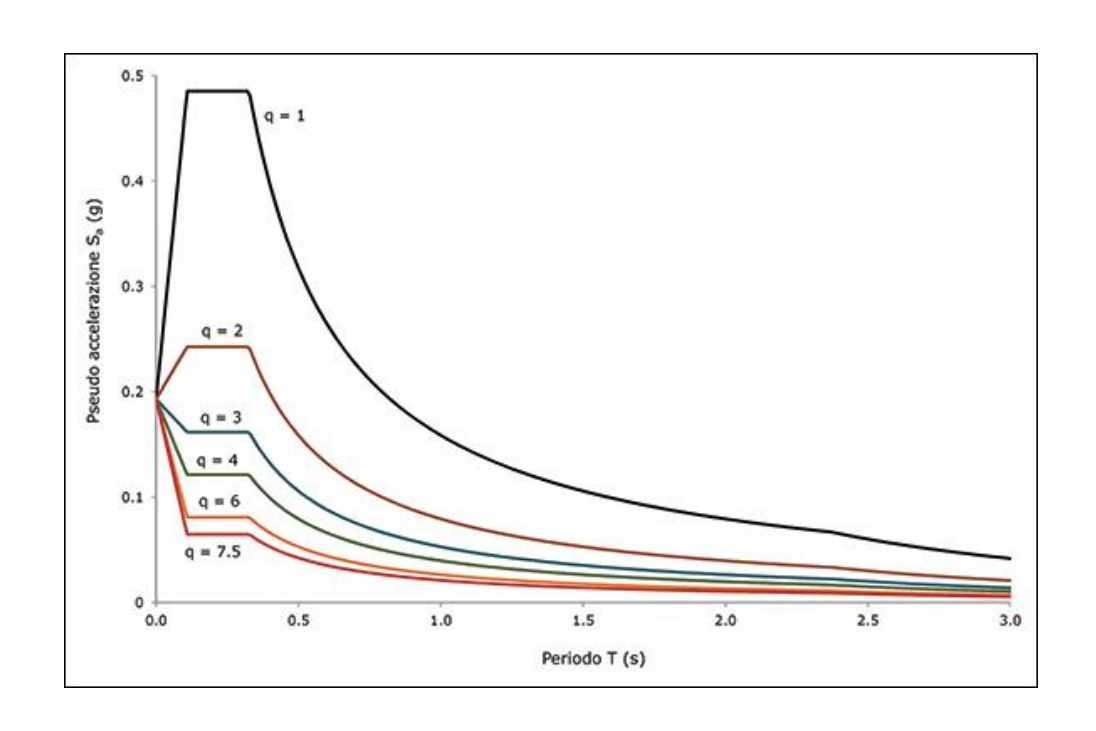


Ridurre il RISCHIO SISMICO



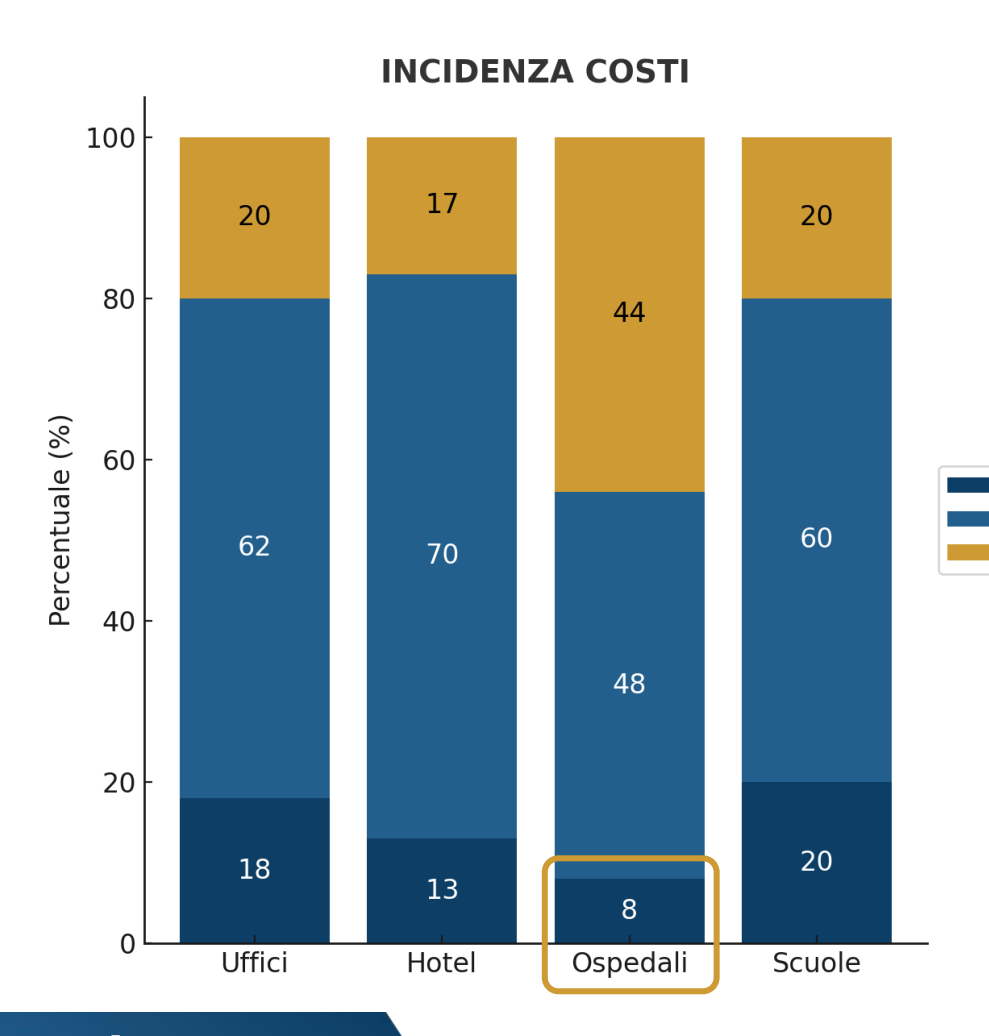


Il fattore di struttura





Incidenza costi





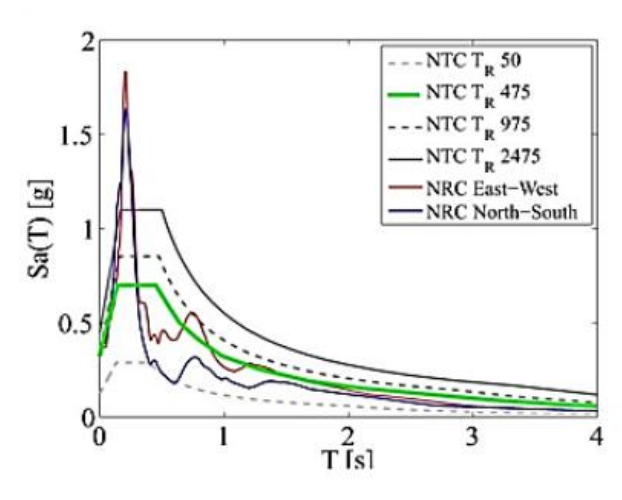
Elementi Strutturali Elementi Non Strutturali

Contenuto





Spettri normativi vs spettri reali



Norcia 30.10.2016 - M=6,5

$$Sa_{REALE} / Sa_{SLV} = 1,8/0,6 = 3$$
 volte

$$Sa_{REALE} / Sa_{SLV - q=4} = 1.8/(0.6x4) =$$

= 12 volte



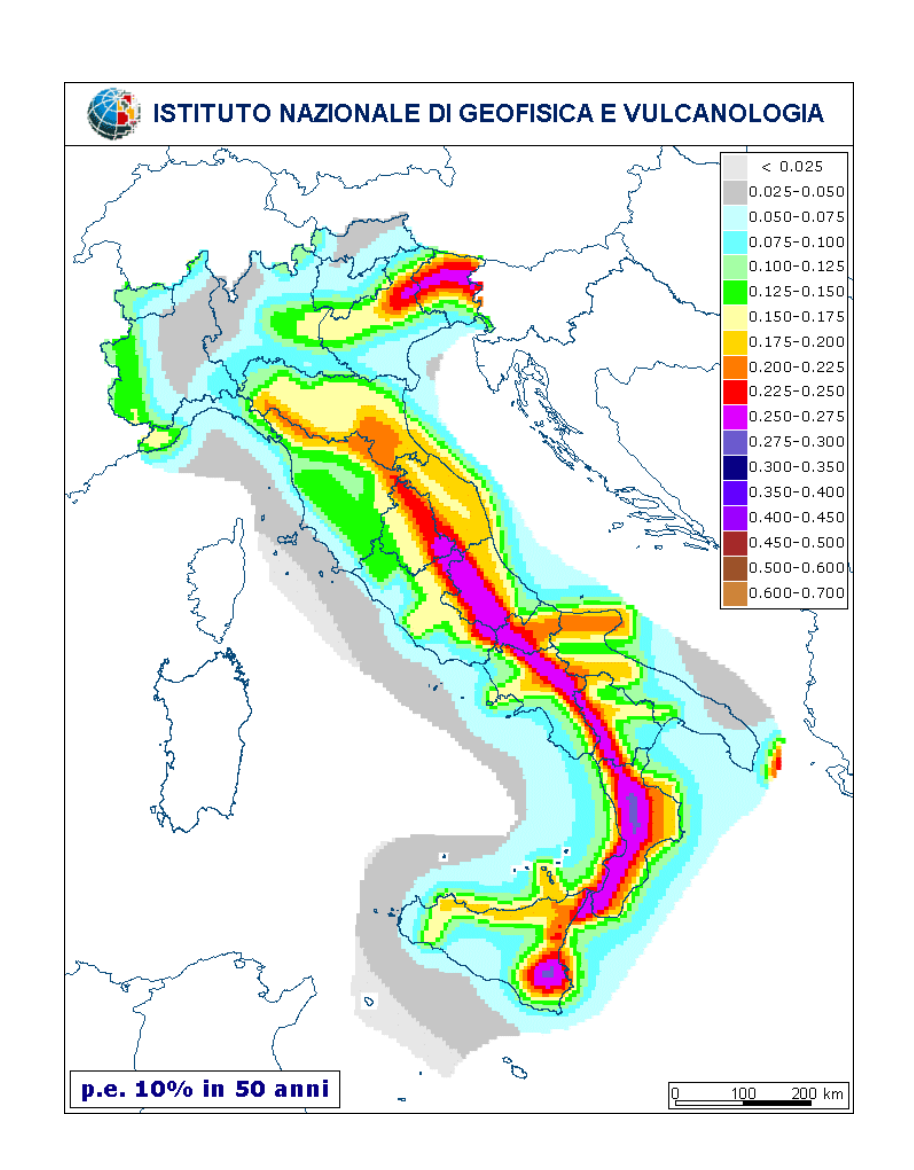


← Terremoto dell'Aquila del 2009: M=6,3

← Terremoto Centro Italia del 2016: M=6,0

Frequenza terremoti recenti

- Umbria-Marche (1997, Mw = 6)
- Molise (2002, Mw = 5.8)
- Abruzzo (2009, Mw = 6.3)
- Emilia (2012, Mw = 5.9)
- Accumoli-Amatrice (2016, Mw = 6)
- Norcia (2017, Mw = 6.5)



2.

Dispositivi di protezione sismica

Sistemi tradizionali – Sistemi di dissipazione supplementare dell'energia – Sistemi Active Mass Damper



Sistemi tradizionali

I metodi di protezione sismica tradizionale generalmente prevedono interventi tali da migliorare le prestazioni di resistenza, rigidezza o duttilità degli elementi esistenti.

VANTAGGI

- Varietà di soluzioni
- Efficacia
- Bassi costi diretti

SVANTAGGI

- Ridotta scalabilità
- Invasività
- Alti costi indiretti



Jacketing





Exoskeleton



Reinforced wall

Sistemi di dissipazione dell'energia

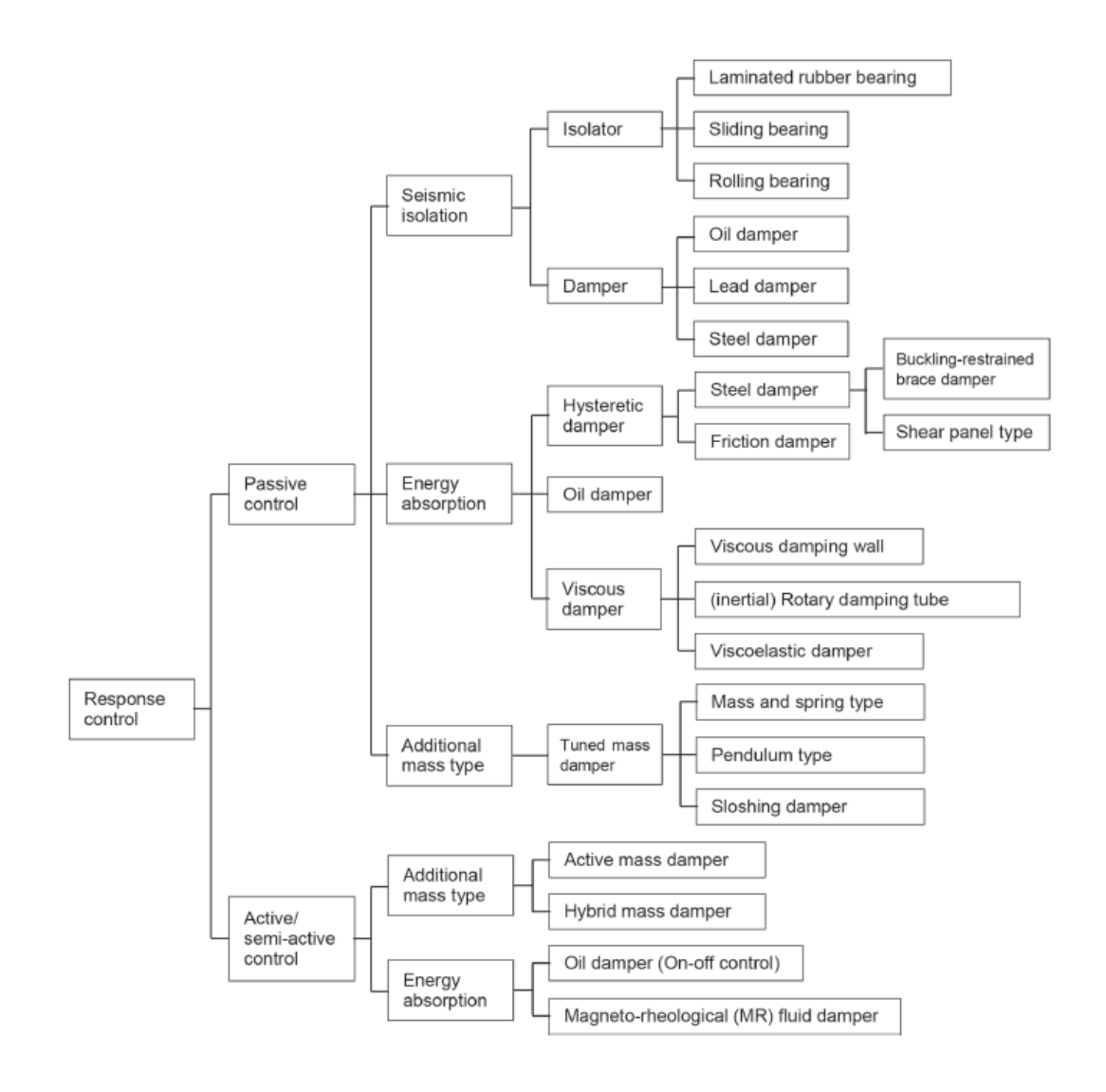
INTERNATIONAL STANDARD

ISO 3010

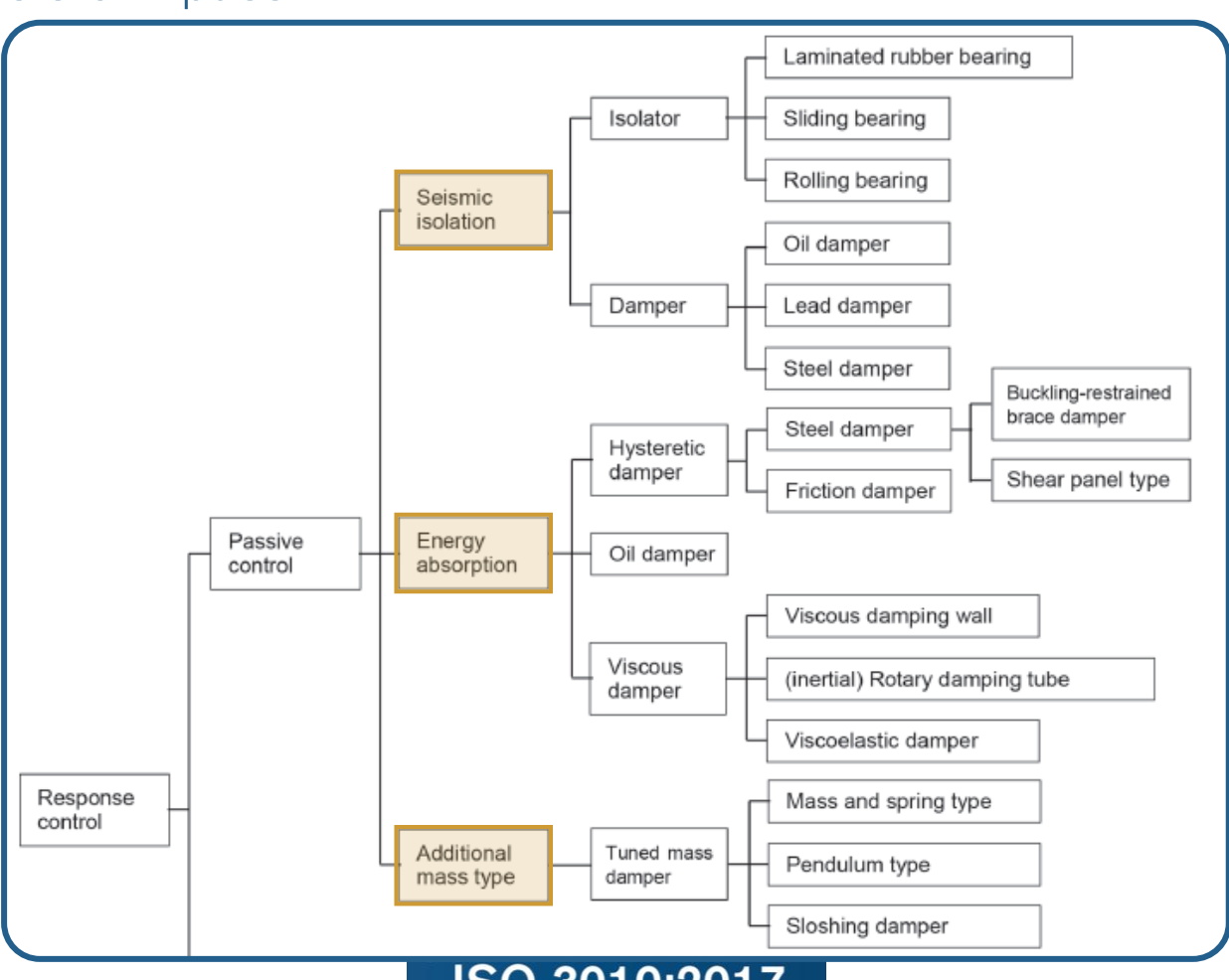
Third edition 2017-03

Bases for design of structures — Seismic actions on structures

 $Bases\ du\ calcul\ des\ constructions -- Actions\ sismiques\ sur\ les\ structures$

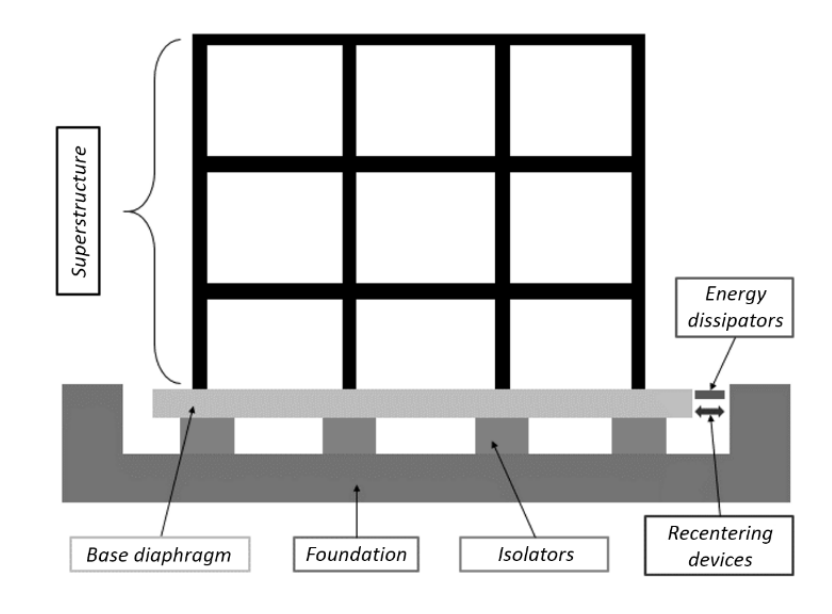


Sistemi passivi



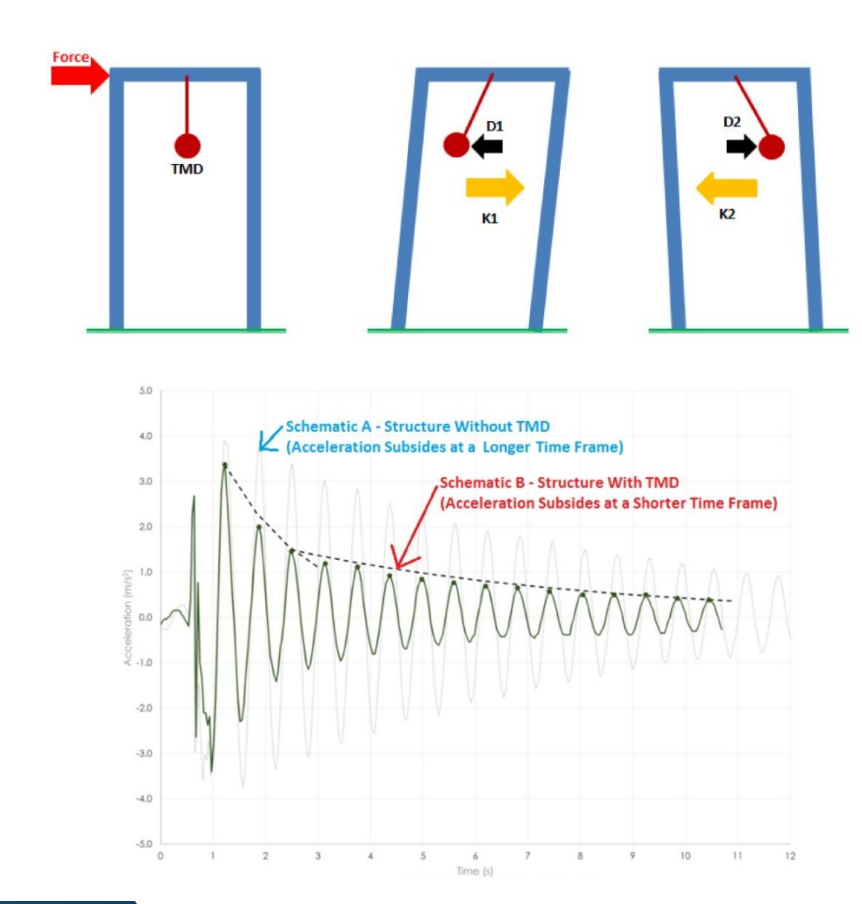
I **sistemi a controllo passivo** mitigano la risposta sismica della struttura dissipando l'energia attraverso dissipatori viscosi, metallici o ad attrito, in generale che **non necessitano di un'alimentazione esterna**.

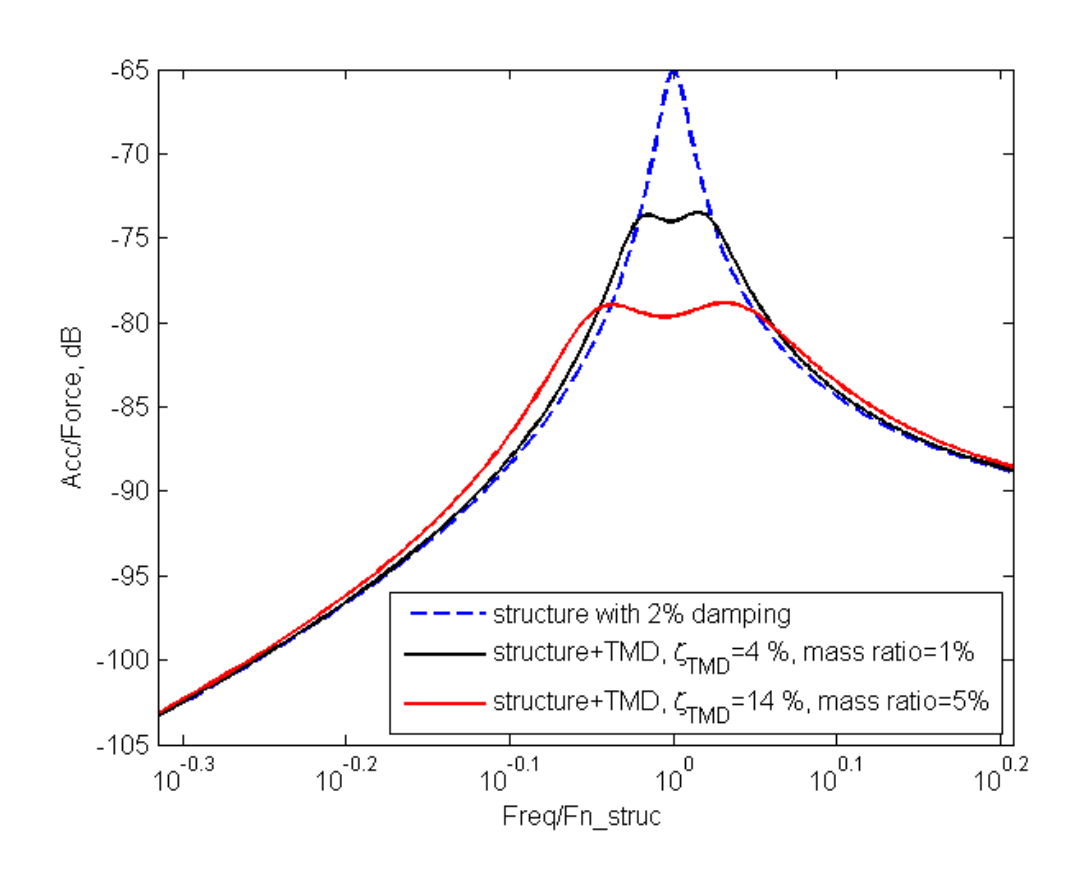
Questi dispositivi vengono installati all'interno del sistema strutturale, in posizioni strategiche. La loro efficacia si basa sulle proprietà fisiche del materiale e sulla capacità di assorbire energia attraverso la deformazione o lo scorrimento.



Sistemi Tuned Mass Damper

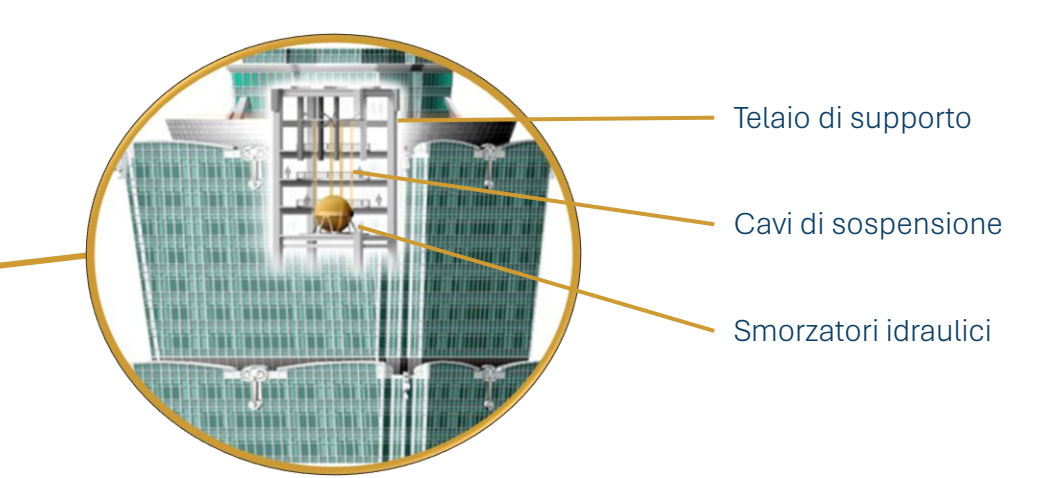
Il Tuned Mass Damper (smorzatore a massa accordata, TMD) è un dispositivo passivo composto da massa-molla-smorzatore in grado di smorzare le vibrazioni della struttura mediante deamplificazione del picco di risposta della sua frequenza propria.

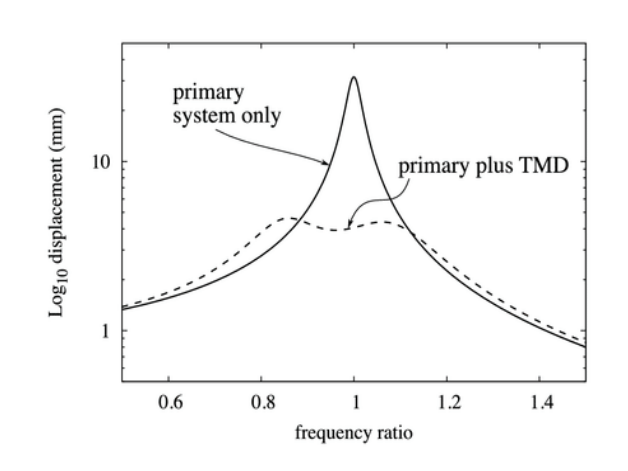




Taipei 101







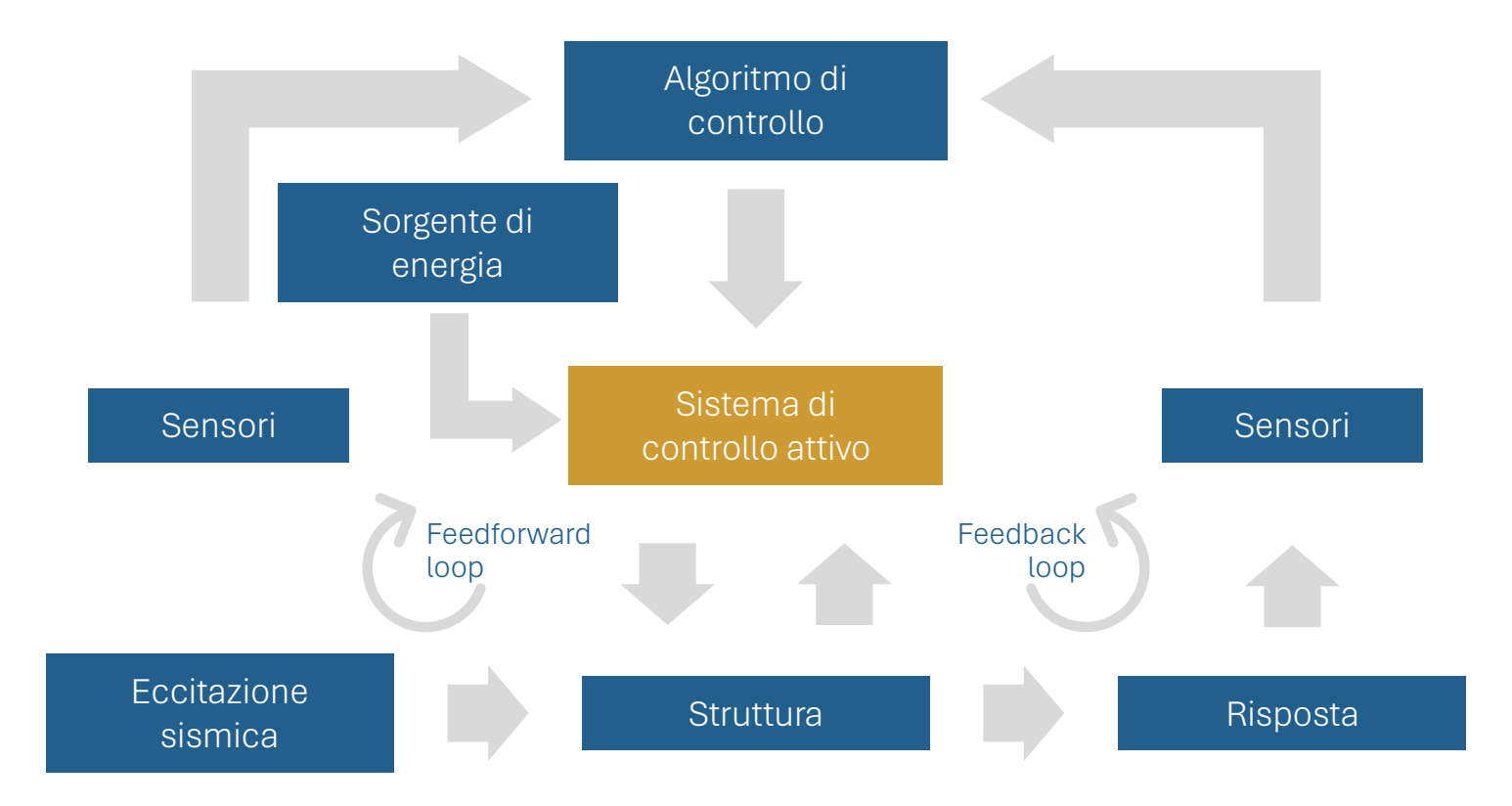


Peso totale 660 t Diametro 5.5 m 5 piani di ingombro



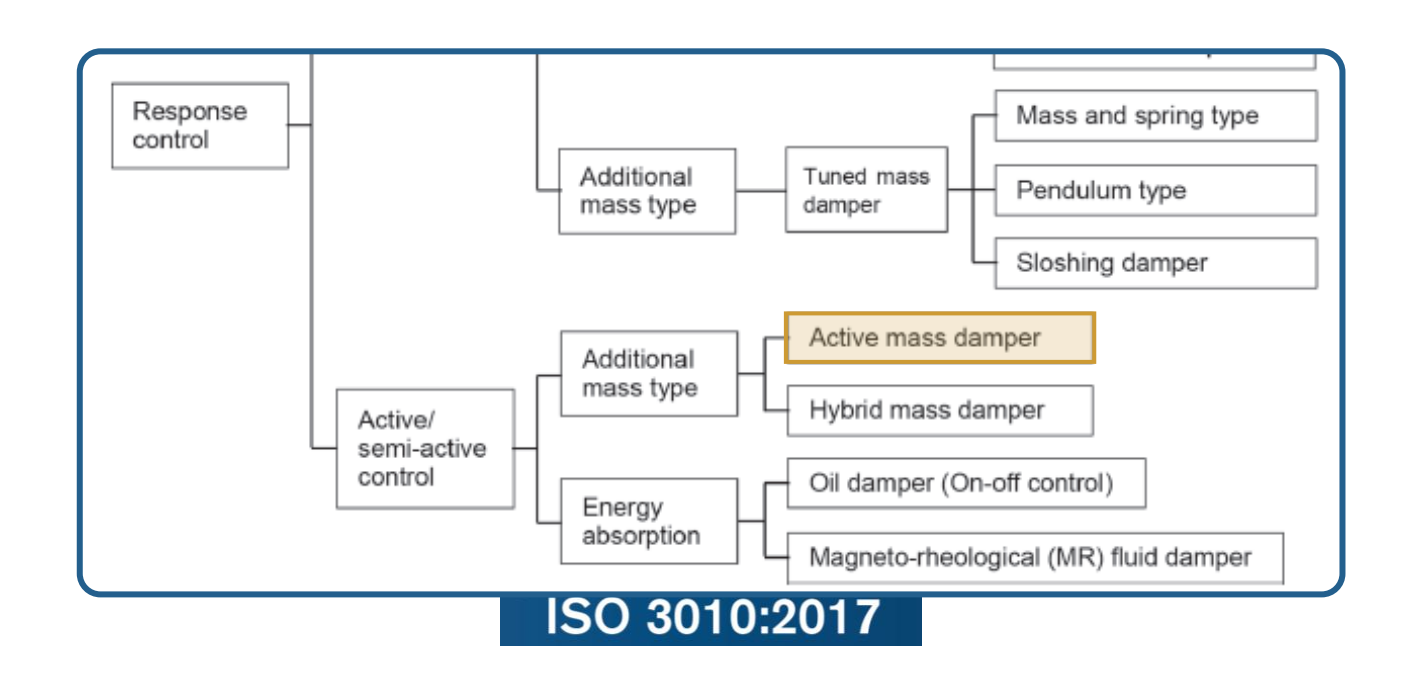
Sistemi a controllo attivo

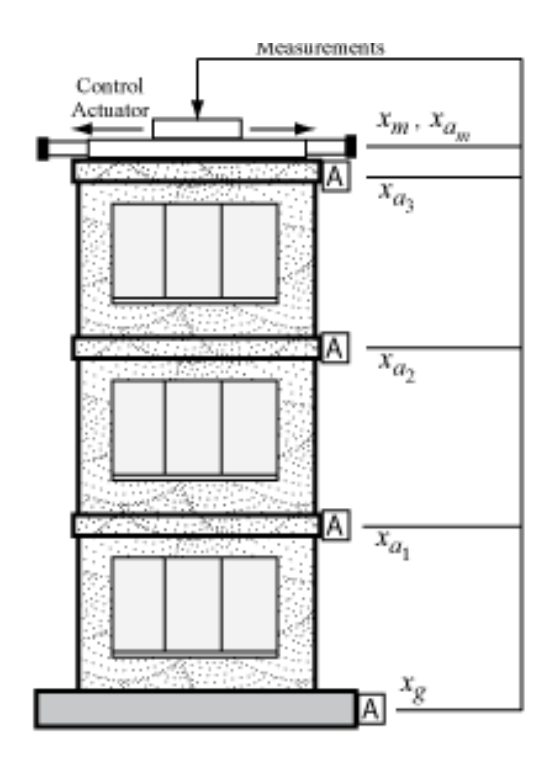
I **sistemi semi-attivi o attivi** generano forze di controllo erogate da sistemi meccanici che modificano, attraverso attuatori pilotati da un preciso algoritmo di controllo implementato in un computer centrale, le loro proprietà di massa, rigidezza o smorzamento, adattandosi in tempo reale alla sollecitazione esterna. Tali sistemi **richiedono una sorgente di energia esterna**.



Sistemi Active Mass Damper

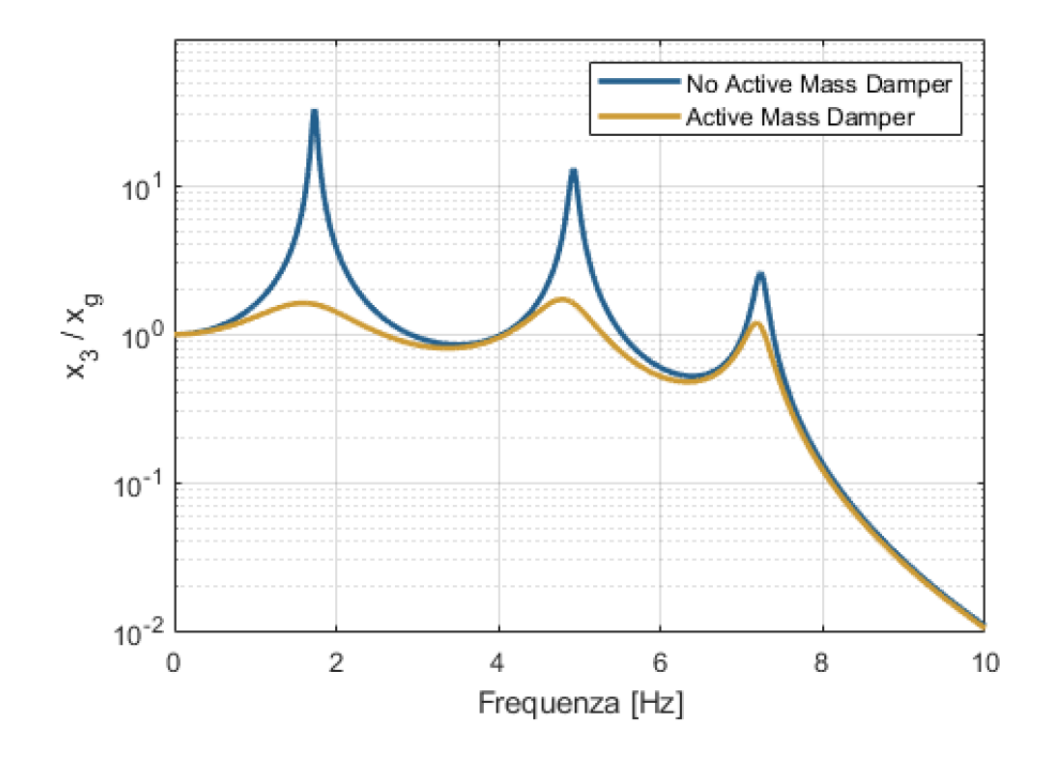
I sistemi Active Mass Damper (smorzatore a massa attiva, AMD) controllano la risposta della struttura movimentando masse mobili attive, installate generalmente in copertura dell'edificio, attraverso un attuatore idraulico o elettrico. L'algoritmo di controllo del computer processa i dati accelerometrici acquisiti in tempo reale da un sistema di monitoraggio accessorio.





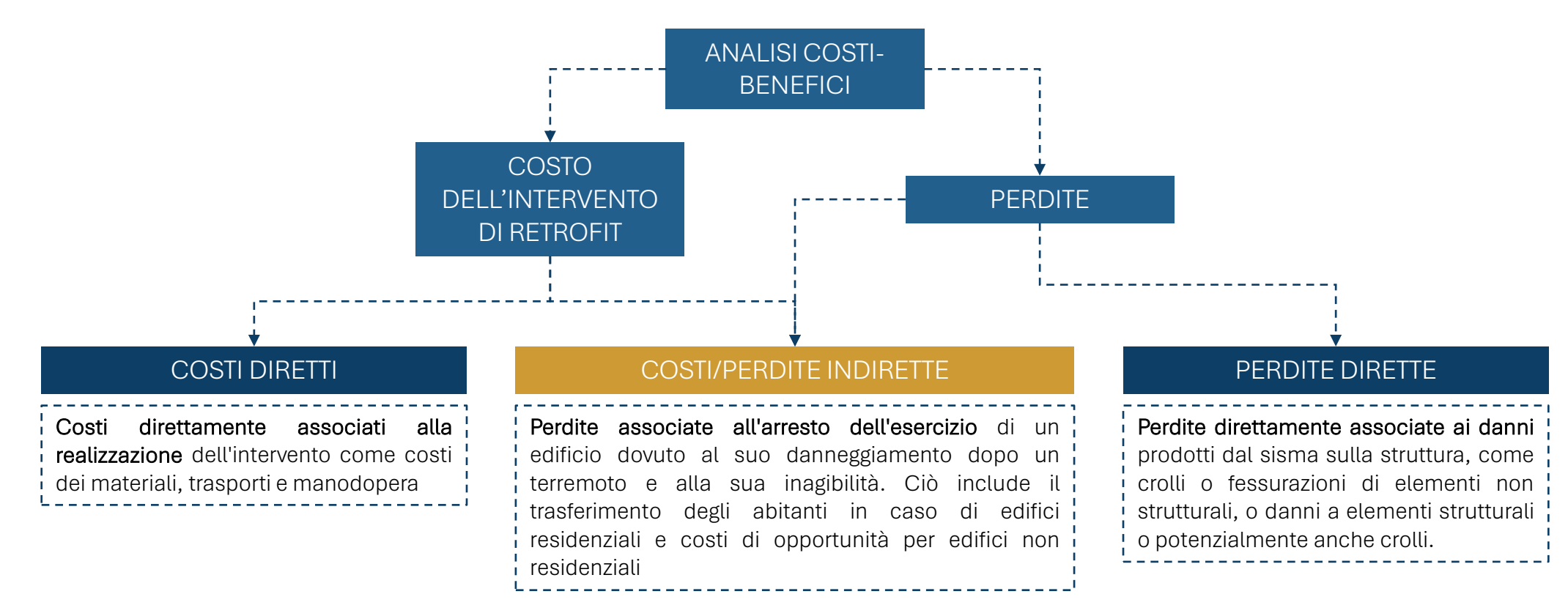
Sistemi Active Mass Damper

I sistemi AMD producono un effetto di **smorzamento aggiunto alla struttura**, non solo sulla prima frequenza propria come i sistemi TMD, ma su un range di frequenze più ampio, rendendoli così più efficienti. Inoltre, grazie al contributo degli attuatori che accelerano le masse mobili fino a 9g, l'entità di queste risulta molto più contenuta permettendone un'elevata integrabilità anche sul costruito.

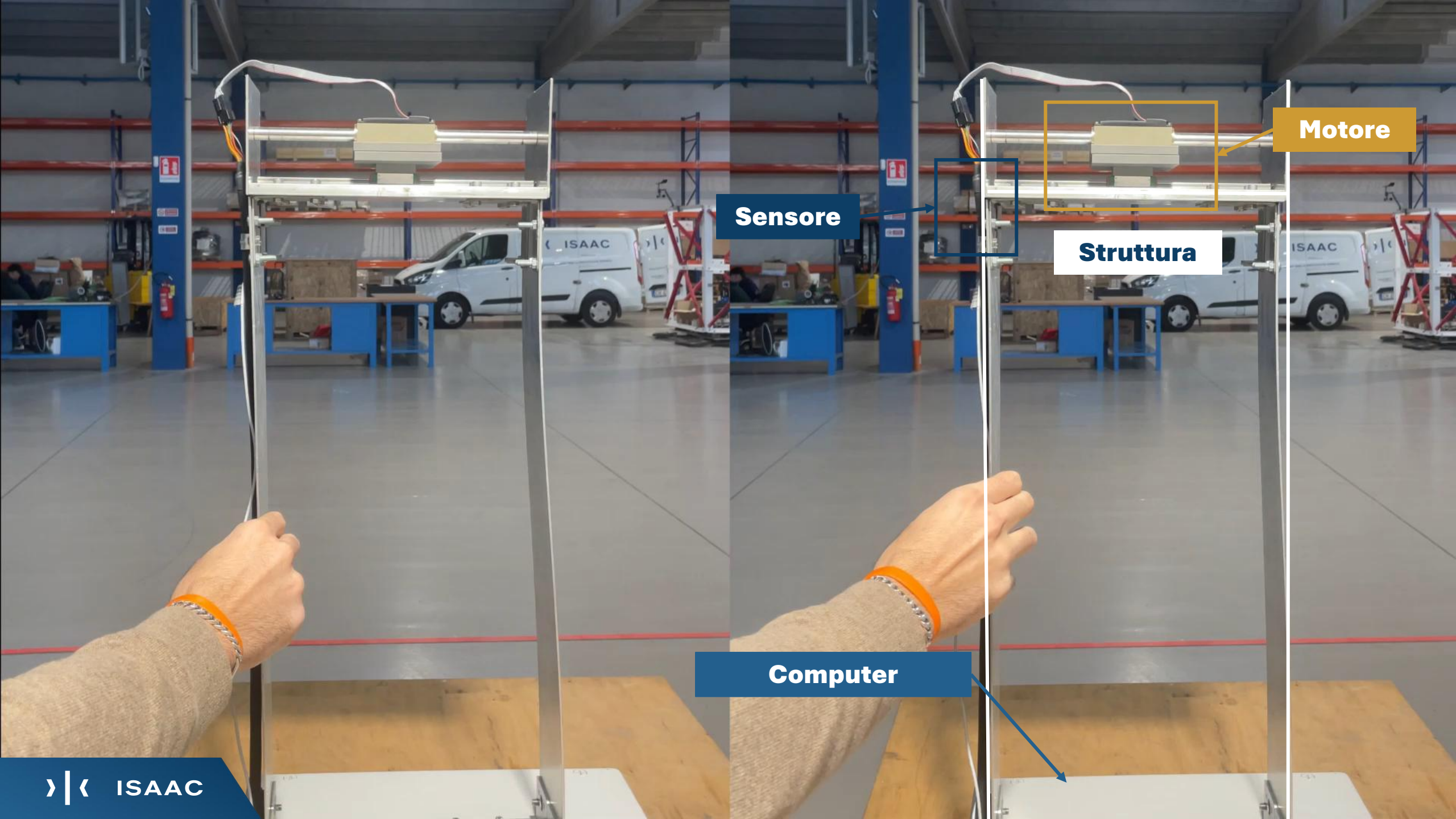


Sistemi Active Mass Damper

Il conseguimento del miglioramento sismico installando sistemi AMD **agendo solo dall'esterno** dell'edificio consente di **azzerare i costi e le perdite indirette** nel bilancio costi-benefici dell'intervento.



Paper di riferimento: «Choices and Criteria for Seismic Strenghthening» Prof. G. M. CALVI



Chi è ISAAC





Innoviamo per proteggere edifici, persone e valori

3.

Test sperimentali in scala reale

Edificio in c.a. – Campanile in muratura

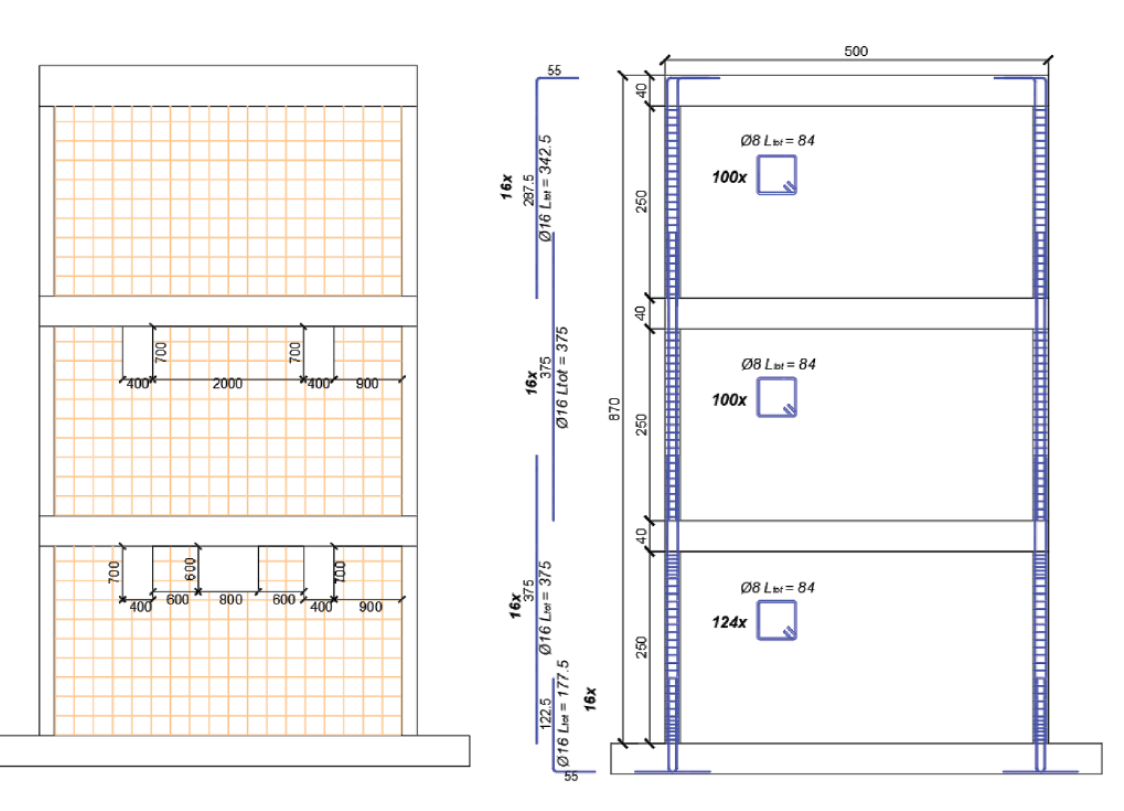


Test sperimentali su edificio in c.a. (2021)

Analisi comparativa per due edifici in scala reale disposti sulla medesima tavola vibrante, di cui uno dotato del sistema AMD.







Test su edifici in cemento armato

PGA
RIFERIMENTO 100%

0.32g

INTENSITÀ EFFETTIVA

137%

ACCELERAZIONE DI PICCO AL SUOLO MISURATA

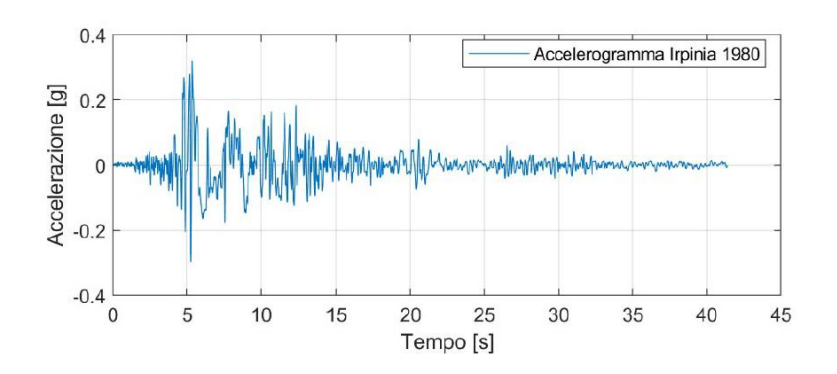
0.44g



) (ISAAC

Test sperimentali su edificio in c.a. (2021)

Le storie di scuotimento ed i loro effetti sui provini

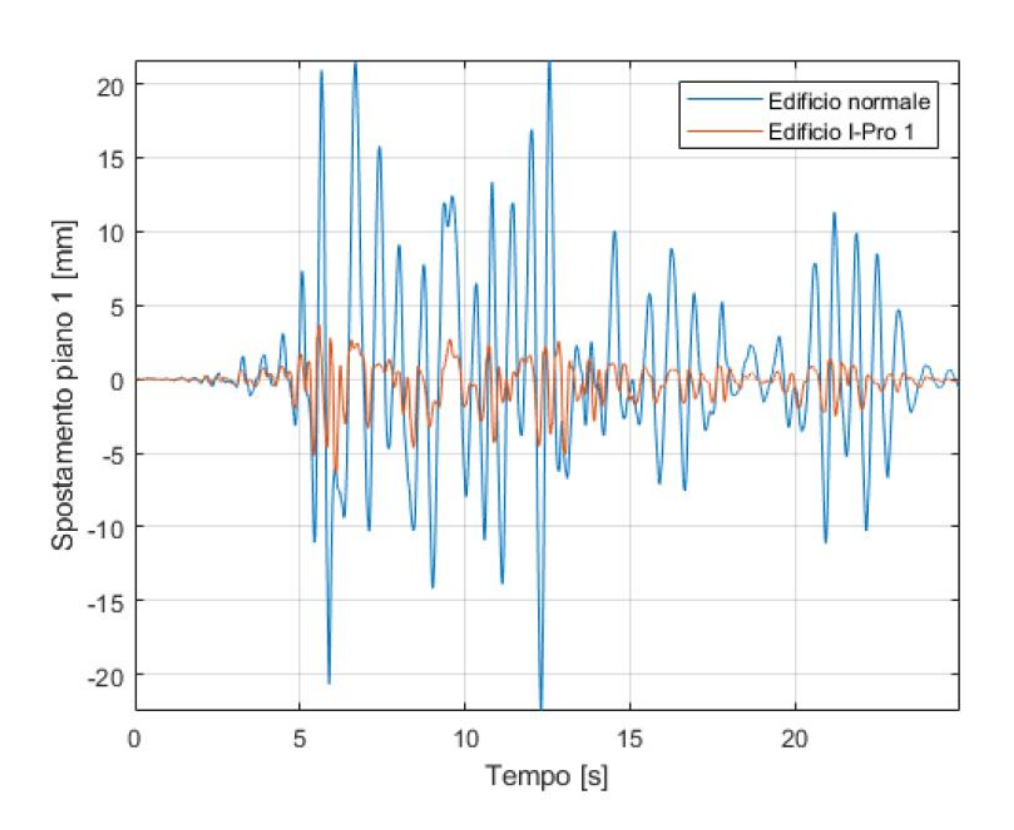


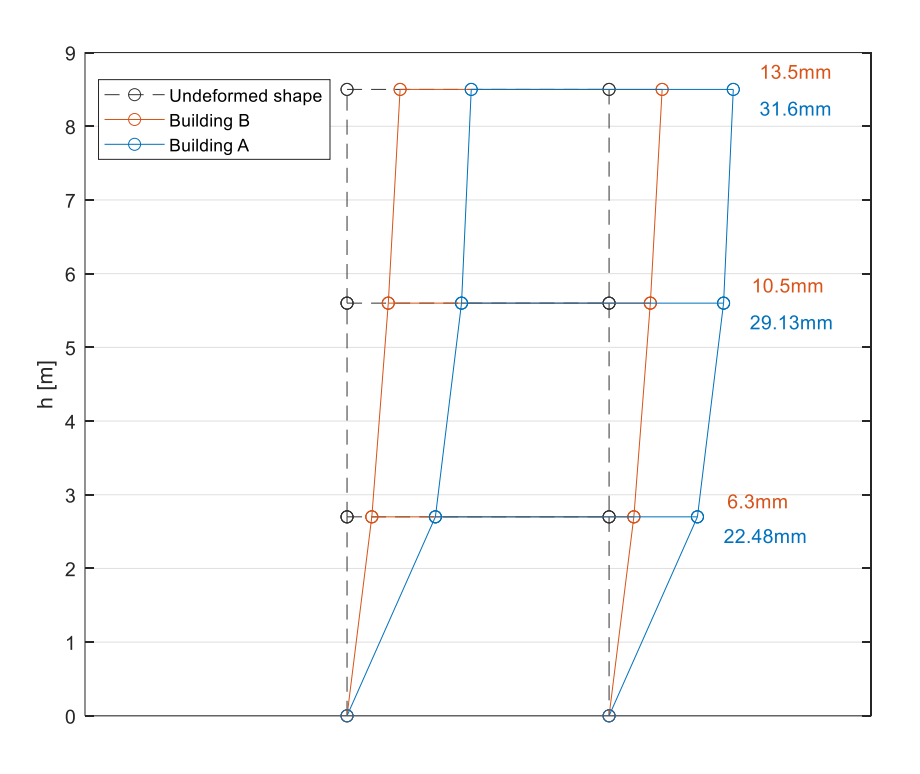
Day	Phase	CMP – ID test	Perc. of reference
1	1	1	10.0%
		2	17.5%
		3	25.0%
		4	32.5%
		5	40.0%
	2	6	45.0%
		7	50.0%
2	3	8	60.0%
		9	61.7%
		10	63.3%
		11	65.0%
		12	66.7%
		13	68.3%
		14	70.0%
3	4	15	10.0%
		16	30.0%
		17	50.0%
		18	70.0%
	5	19	137.0%



Test sperimentali su edificio in c.a. (2021)

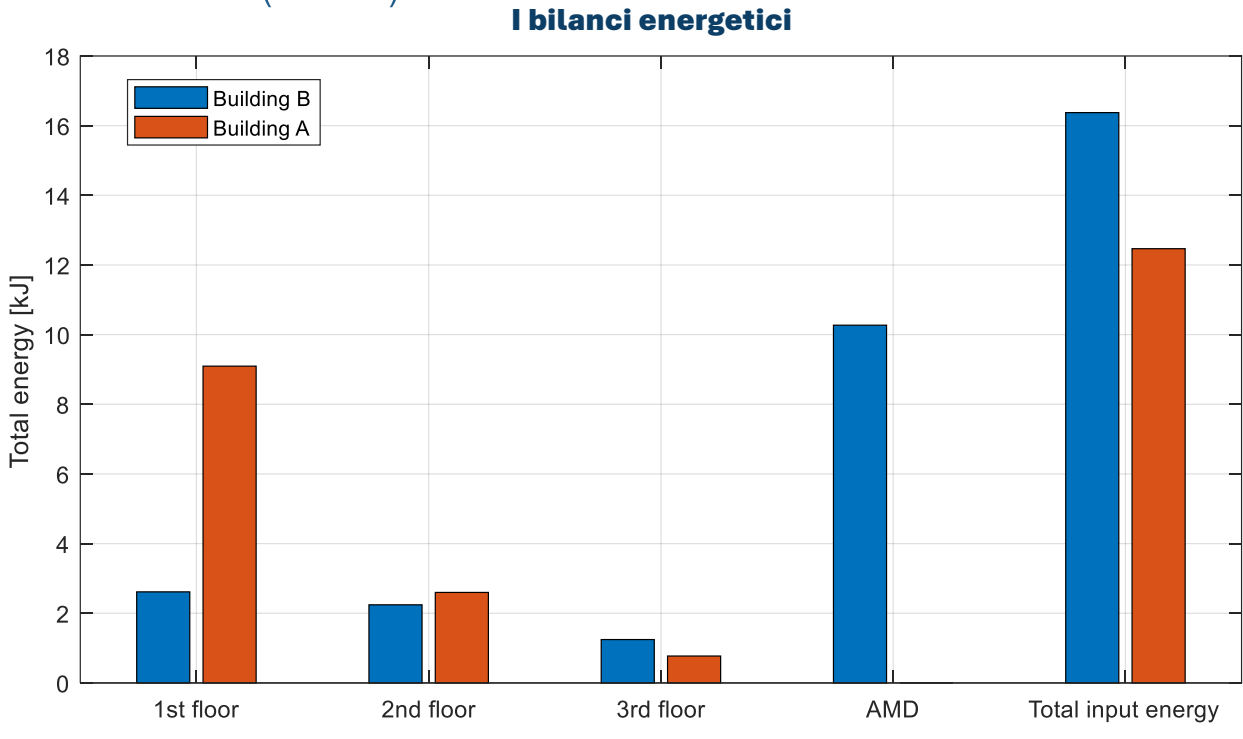
Riduzione degli spostamenti della struttura protetta con il sistema AMD





Riduzione drift massimo = -70%

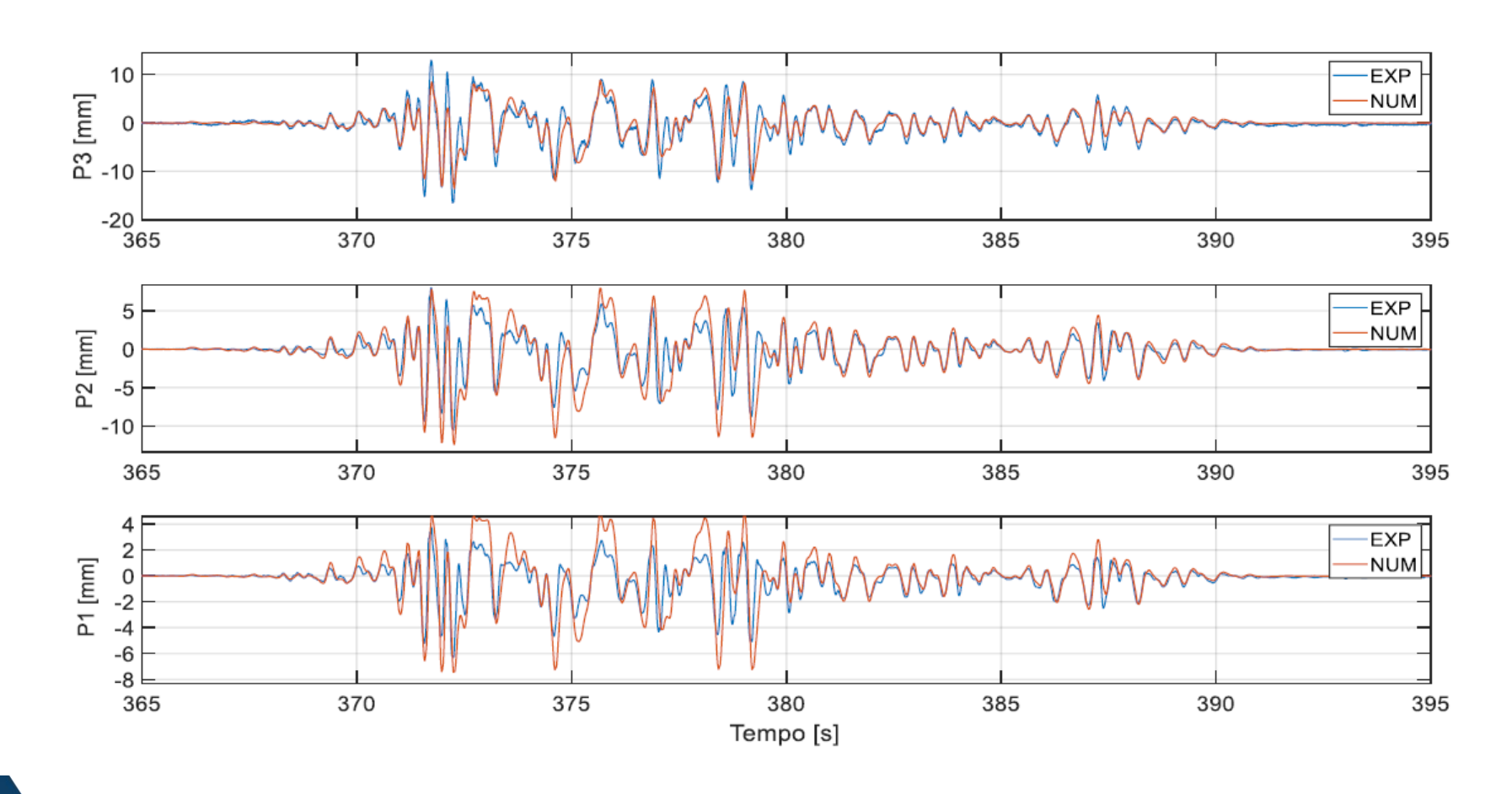
Test sperimentali su edificio in c.a. (2021)



	Building A	Building B	
Energia assorbita dalla struttura [kJ]	12.6	6.1	Riduzione energia assorbita dalla struttura = -50%
Energia assorbita dall'AMD [kJ]	-	10.2	
Energia in input [kJ]	12.6	16.3	

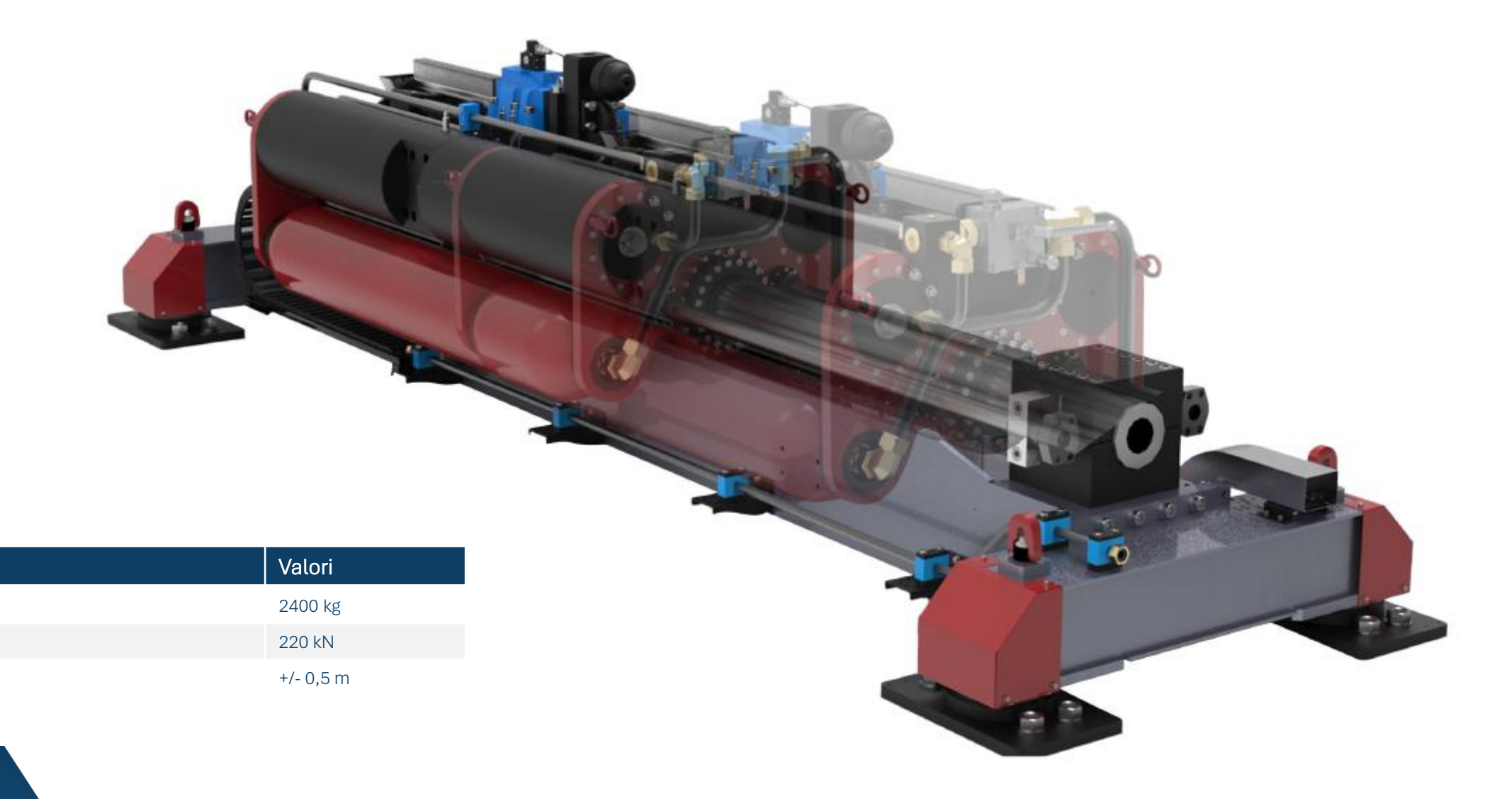
Test sperimentali su edificio in c.a. (2021)

Storie temporali degli spostamenti dei 3 piani dell'edificio equipaggiato con l'AMD: confronto numerico e sperimentale









Caratteristiche

Forza massima erogata

Massa mobile

Corsa massima



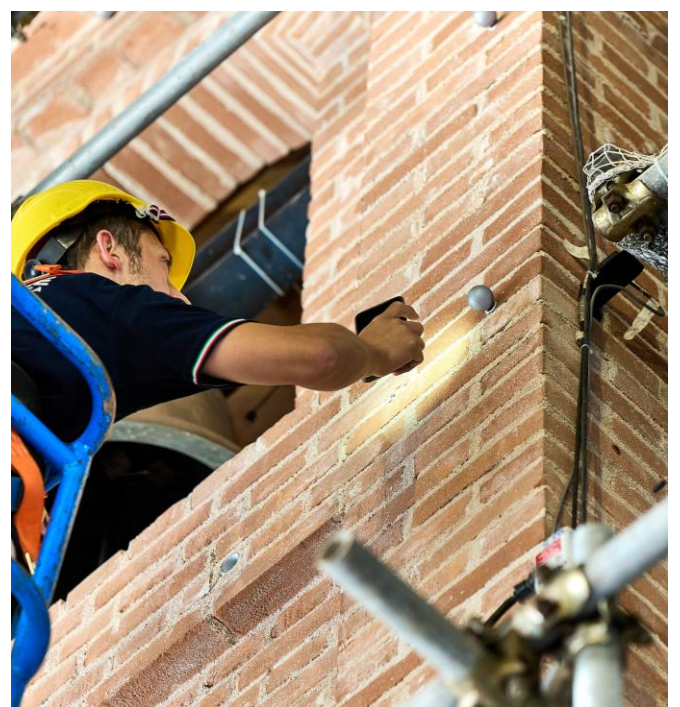
Test sperimentali su campanile in muratura (2024)

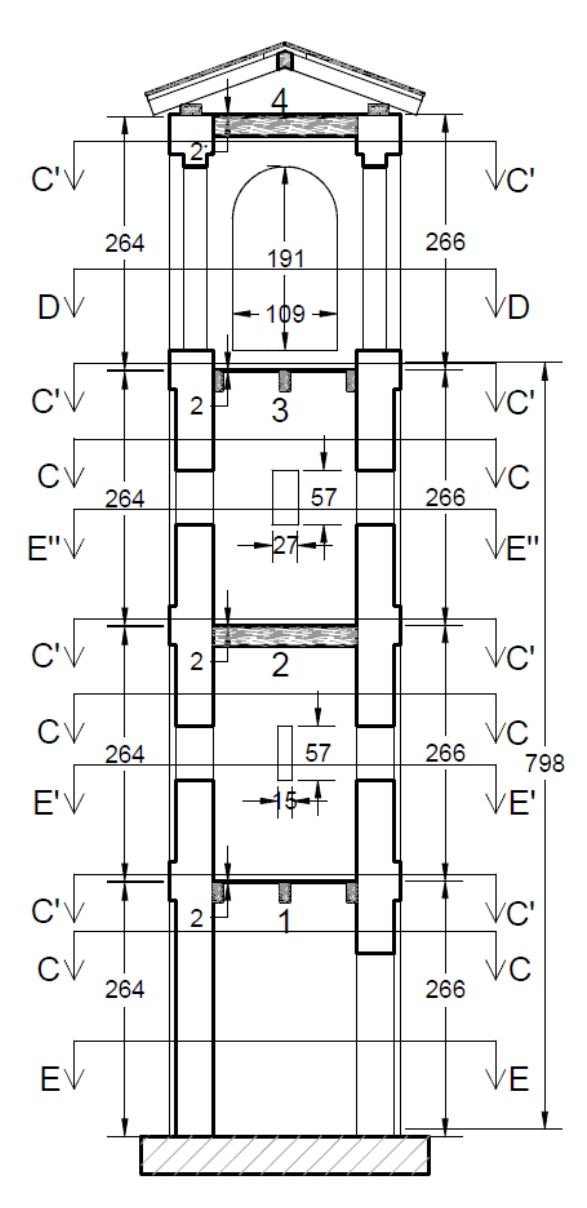
Test: installazione del nostro sistema su un campanile in muratura in scala reale costruito sulla tavola vibrante di Eucentre.

Questo progetto ha dimostrato come l'uso di sistemi antisismici innovativi può migliorare significativamente la risposta sismica di strutture storiche, senza doverne compromettere l'integrità architettonica.









Test sperimentali su campanile in muratura (2024)

Per verificare l'efficacia dei sistemi Active Mass Damper su strutture in muratura, ISAAC ha condotto test su un campanile ricostruito in scala reale di 12 metri di altezza, installato su una tavola vibrante presso i laboratori EUCENTRE. Il campanile è stato equipaggiato con un attuatore inerziale e sensori accelerometrici in sommità.

Dettagli del Test:

- Rinforzo Strutturale: L'ultimo solaio del campanile è stato rinforzato non invasivamente usando malta fibro-rinforzata:
- Simulazione Sismica: È stato utilizzato il sisma dell'Emilia del 2012. scalato a diverse intensità per testare la risposta della struttura sotto vari livelli di stress sismico.

Obiettivo dei Test:

• Dimostrazione di Retrofit: Ouesti test mirano a dimostrare come le strutture esistenti, come i campanili, possano essere efficacemente retrofittate combinando soluzioni tradizionali di consolidamento strutturale con le avanzate tecnologie di controllo della risposta sismica sviluppate da ISAAC.

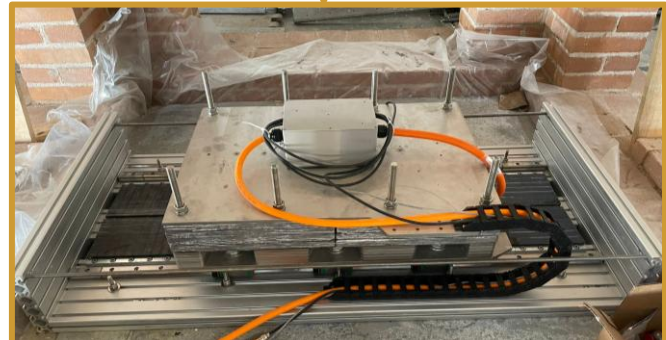


Test in collaborazione con:



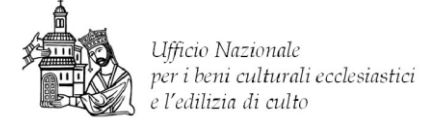






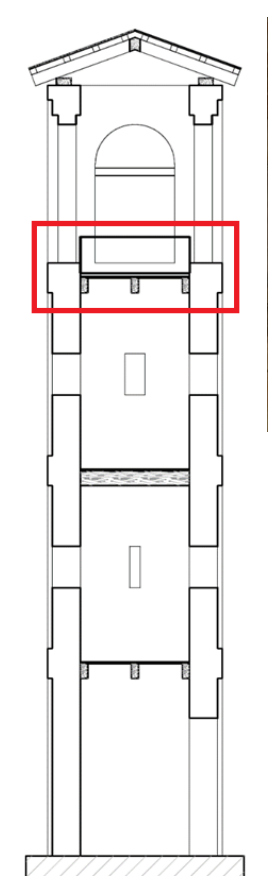
Test patrocinato da:





Test sperimentali su campanile in muratura (2024)

Getto di ancoraggio della macchina









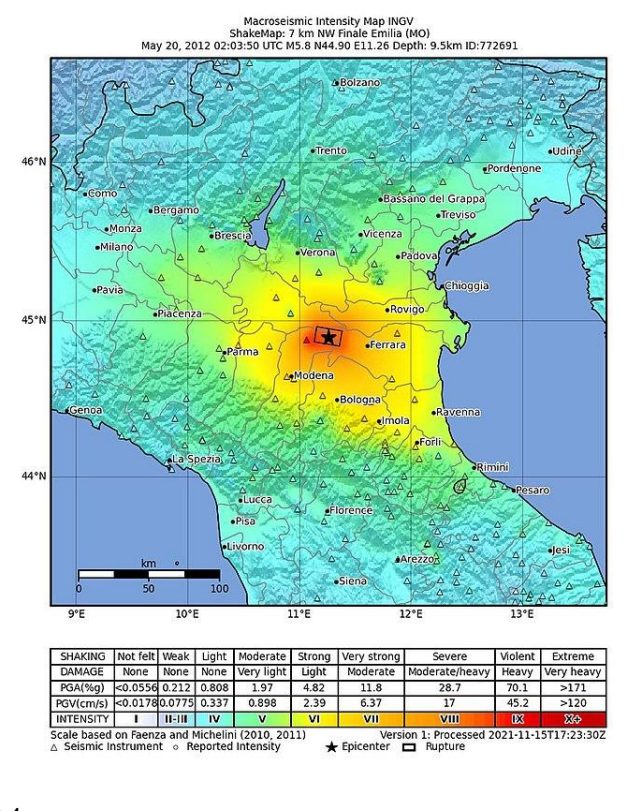


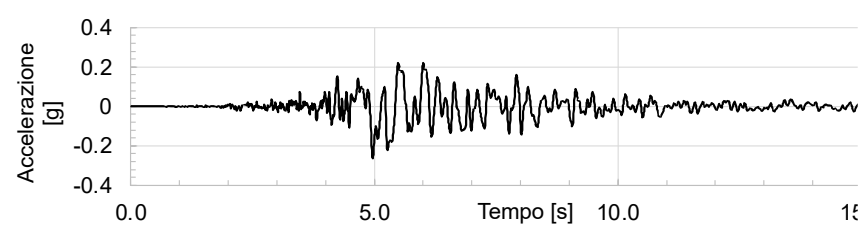


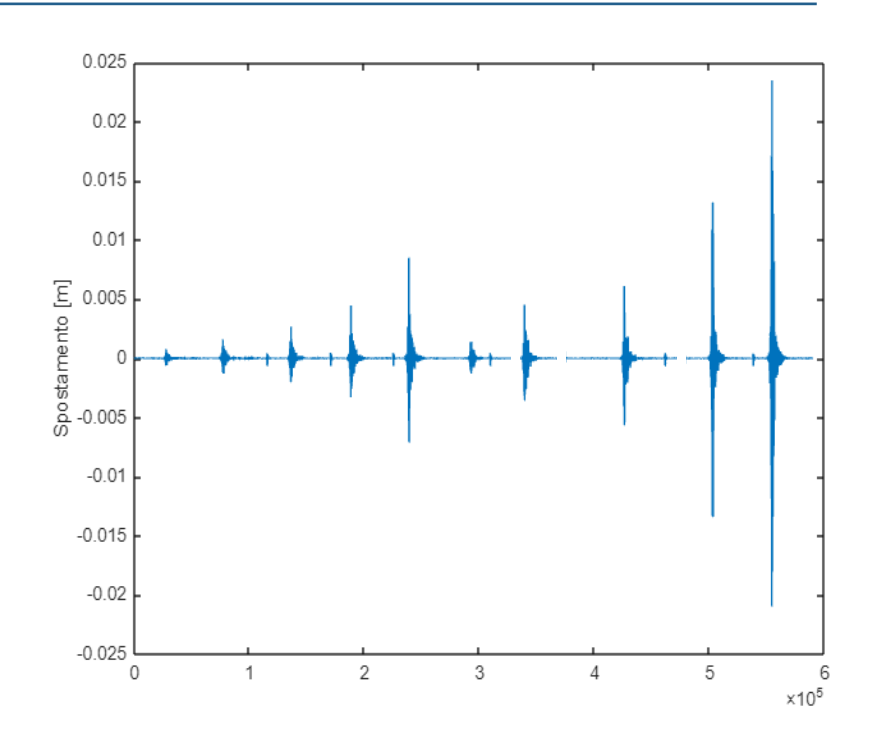
Test sperimentali su campanile in muratura (2024)

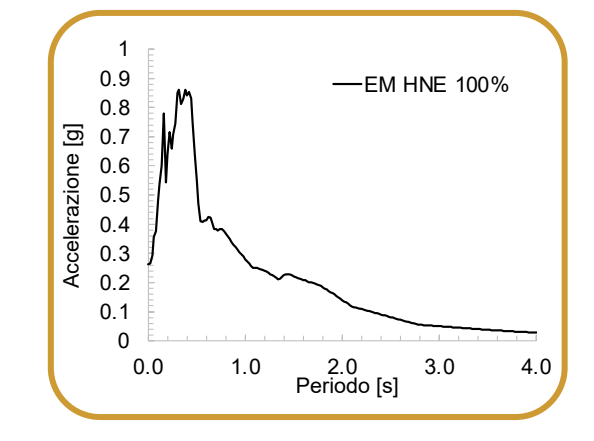
Accelerogramma di riferimento



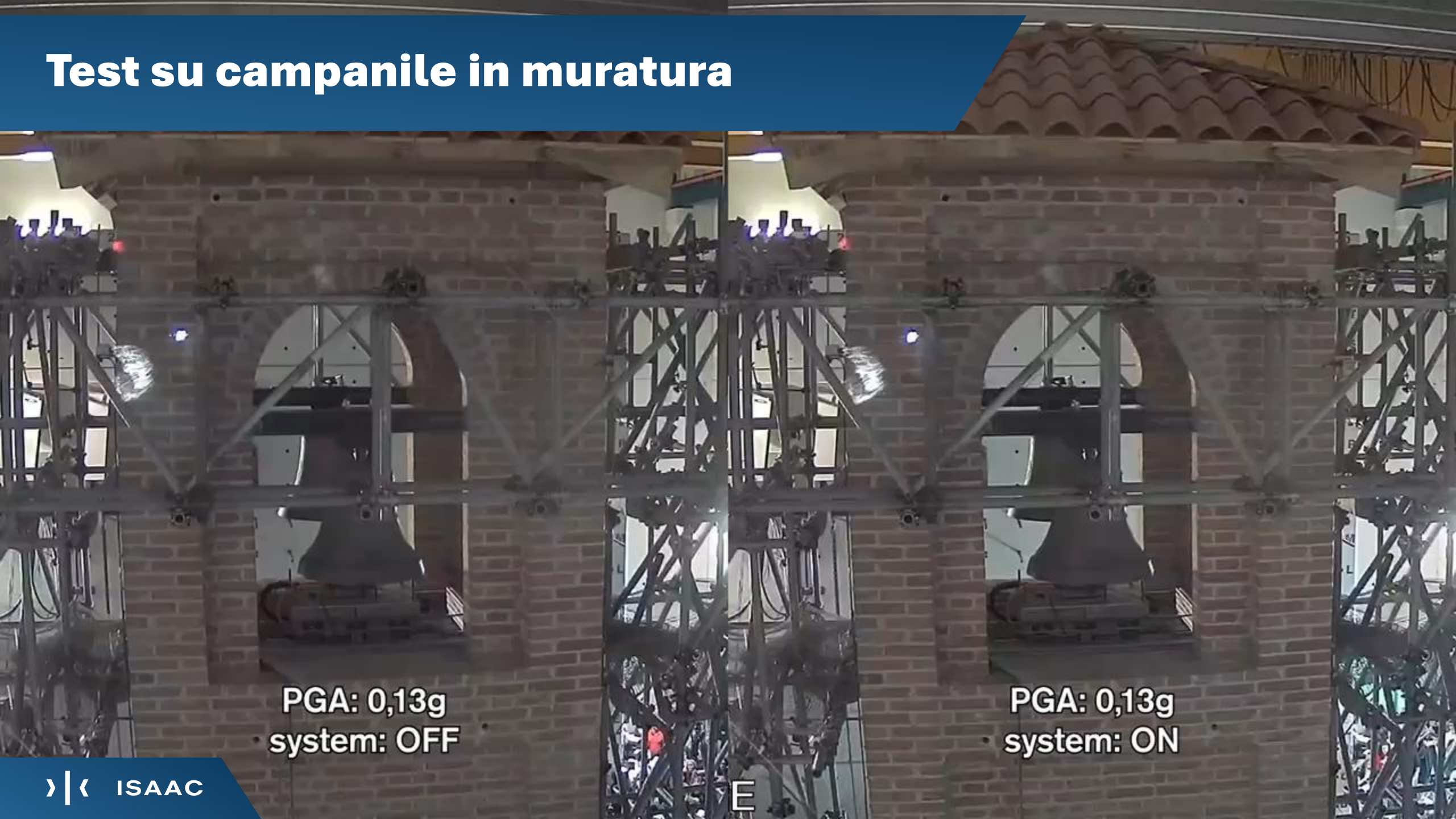






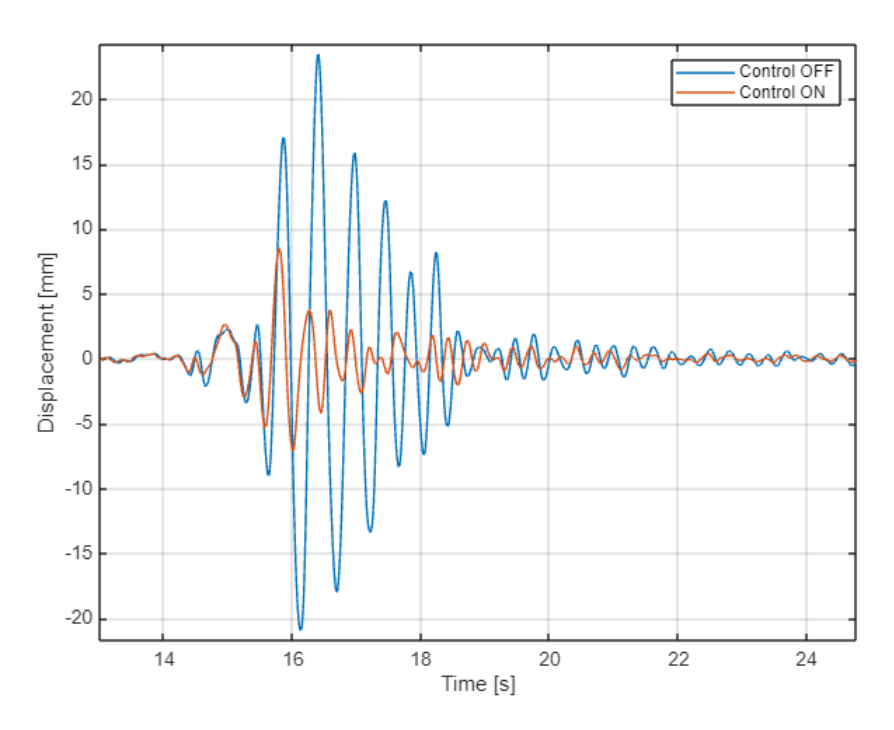


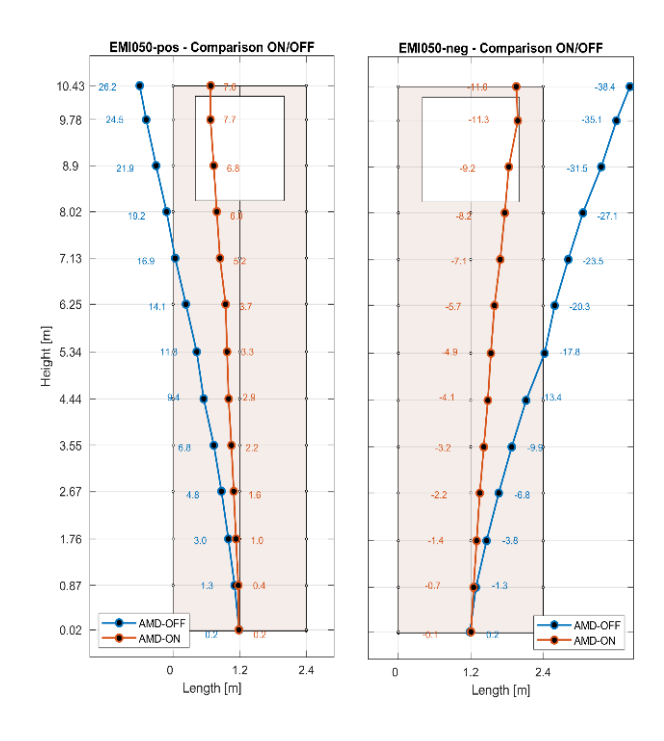




Test sperimentali su campanile in muratura (2024)

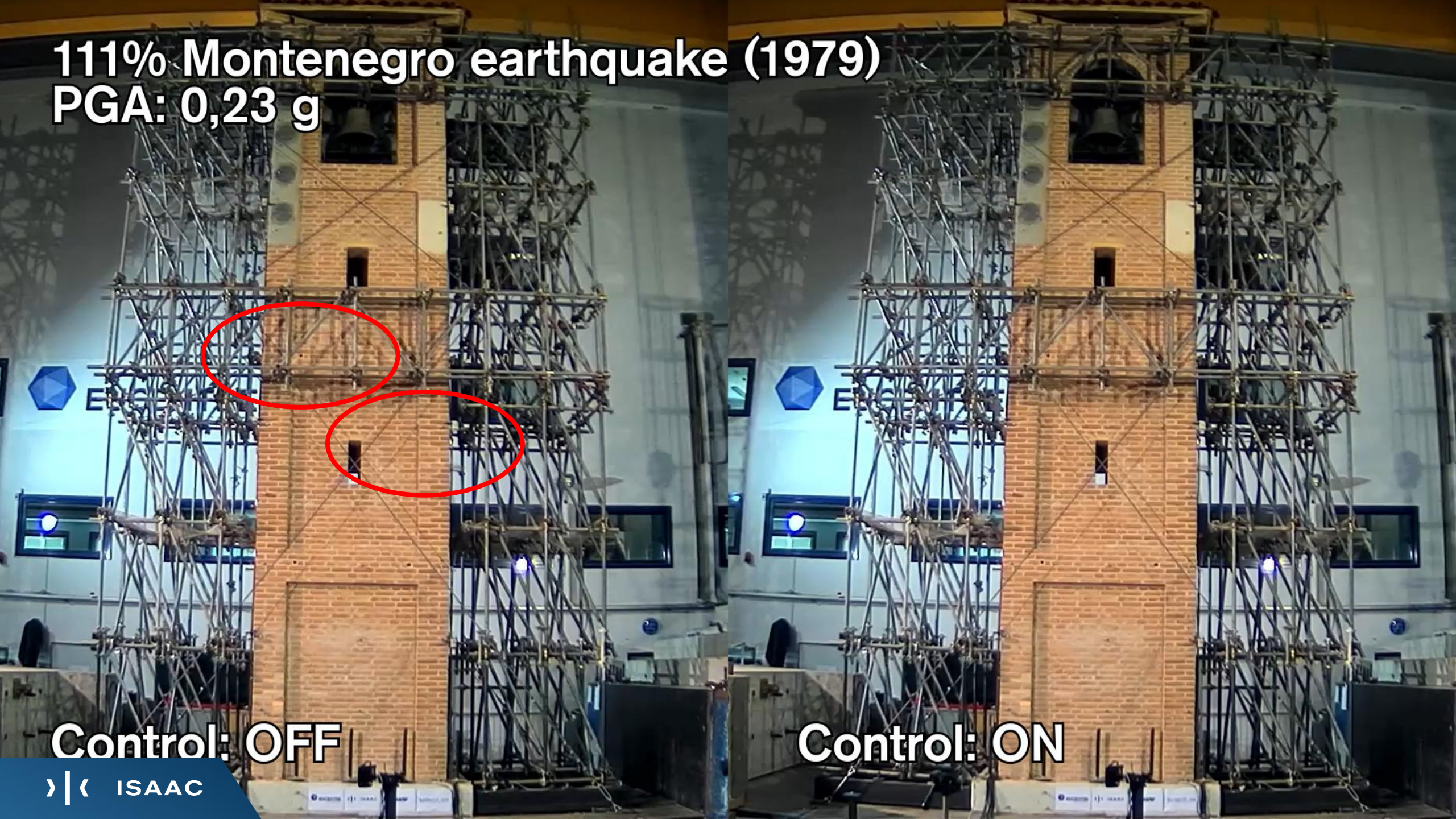
Riduzione degli spostamenti





PGA 0.13 g	Valori
Spostamento relativo struttura «Sistema OFF»	23.46 mm
Spostamento relativo struttura «Sistema ON»	8.40 mm
Riduzione degli spostamenti relativi raggiunta	-64%





Test sperimentali su campanile in muratura (2024)



Componenti e principio di funzionamento dei sistemi AMD di ISAAC

Lo smorzamento supplementare

Cinematica AMD



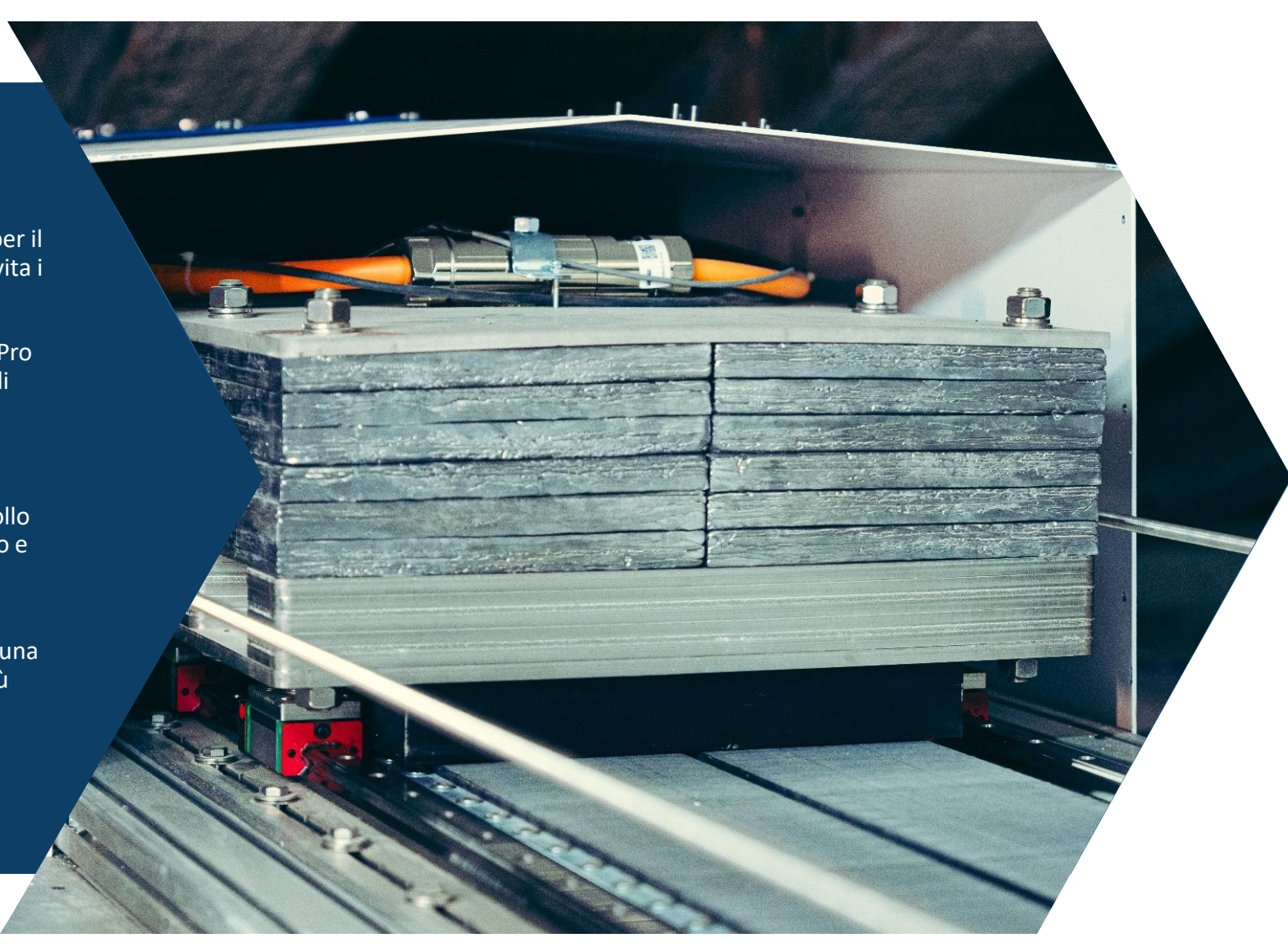
Protezione sismica

Electro-Pro

Electro-Pro è il sistema attivo elettrico di nuova generazione per il controllo della risposta sismica che protegge la struttura ed evita i danni generati dai terremoti di media intensità. Questi infatti rappresentano la principale causa di danni agli elementi non strutturali e delle inagibilità temporanee dell'edificio. Electro-Pro è costituito da macchine completamente elettriche e dotate di motori lineari a magneti permanenti.

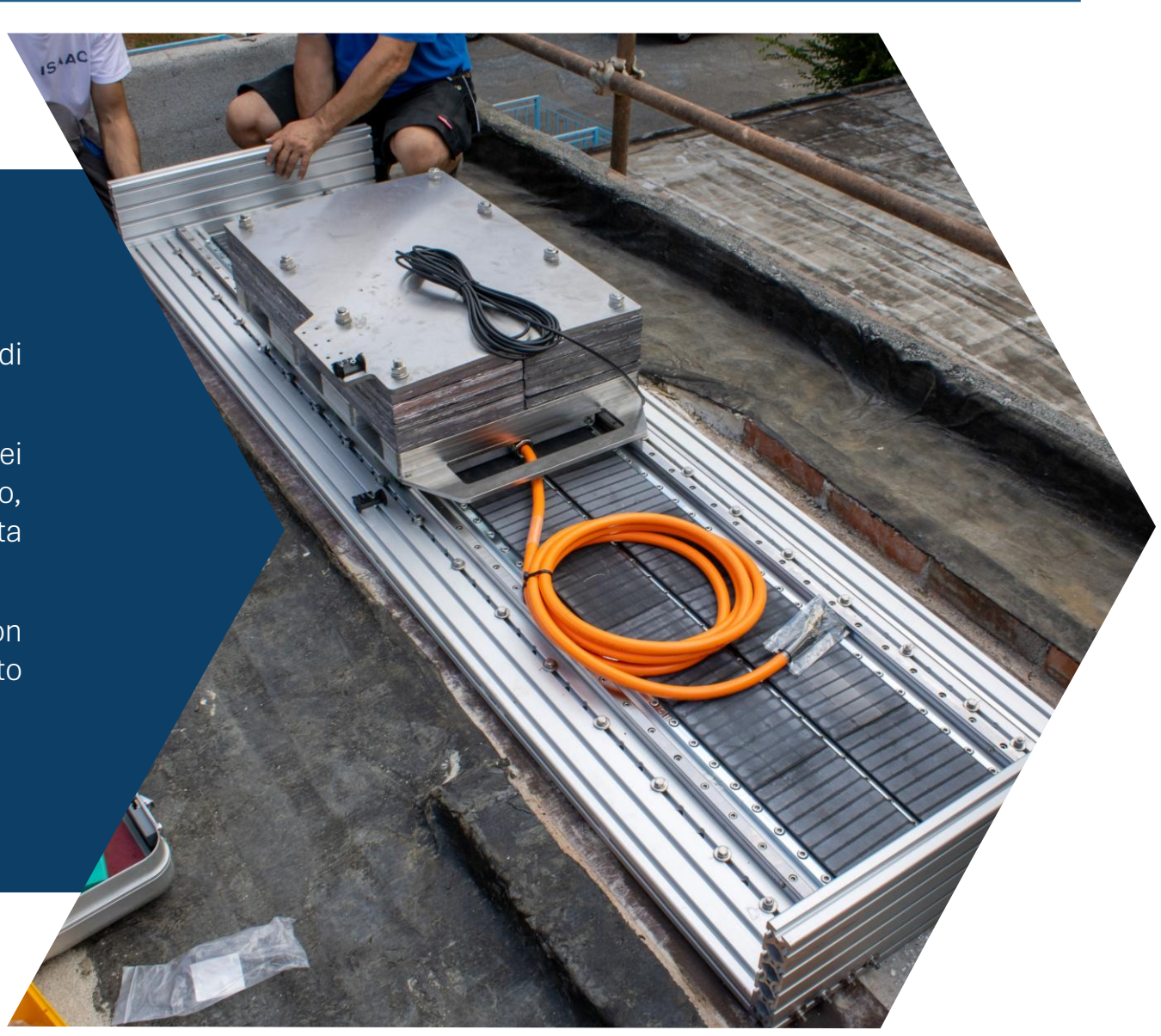
Il posizionamento dei singoli moduli può essere progettato in modo da applicare il sistema nella configurazione ideale per proteggere l'edificio dai sismi. È anche utilizzabile per il controllo di vibrazioni della struttura, per aumentare il comfort abitativo e alleviare la mental anxiety.

Electro-Pro è modulare in dimensioni e peso, in base alla struttura e alla sua dinamica. Qualora la struttura richiedesse una riduzione delle vibrazioni maggiore, è possibile assemblare più unità fino a raggiungere le performance desiderate.



L'asse inerziale

- L'asse inerziale comprende la massa mobile, la slitta di scorrimento, l'attuatore elettrico ed il controllo in posizione
- L'attuatore è il componente che genera la trazione nei confronti della massa mobile, la quale, accelerando, trasferisce la forza inerziale di controllo alla sottostante slitta di scorrimento vincolata alla struttura
- Il controllo in posizione consente di controllare con precisione il movimento della massa mobile determinato dall'algoritmo di controllo



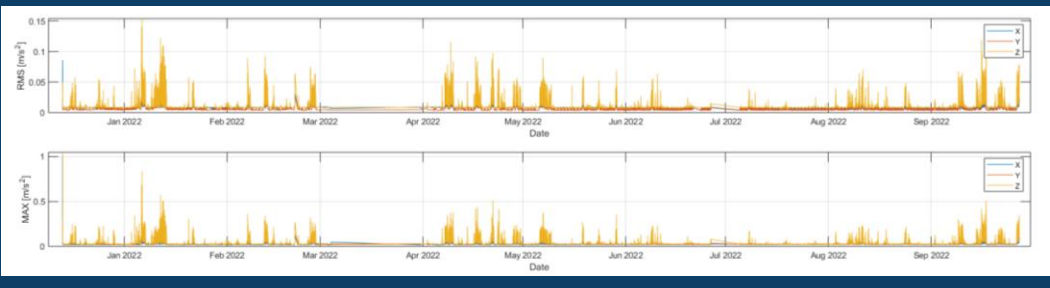
Il quadro elettrico remoto - QERMT

- E' costituito da batterie tampone LiPo indipendenti che garantiscono autonomia elettrica al sistema anche durante black-out
- E' dimensionato in modo da garantire funzionalità in assenza di rete elettrica così da mantenere il sistema attivo a protezione nei confronti degli sciami sismici successivi al main shock



I sensori

- Forniscono la misura cinematica di feedback necessaria al controllo
- Misurano ed acquisiscono dati in continuo, consentendo anche il servizio di monitoraggio dinamico registrando l'attività sismica
- Il posizionamento è in prossimità dei punti di installazione degli assi inerziali e dei punti omologhi in corrispondenza del suolo





Il quadro elettrico centrale - QECNT

- Unità industriale di controllo real-time (PLC) che elabora i dati provenienti dai sensori installati
- Attraverso l'algoritmo genera le istruzioni di comando per gli attuatori che afferiscono all'impianto

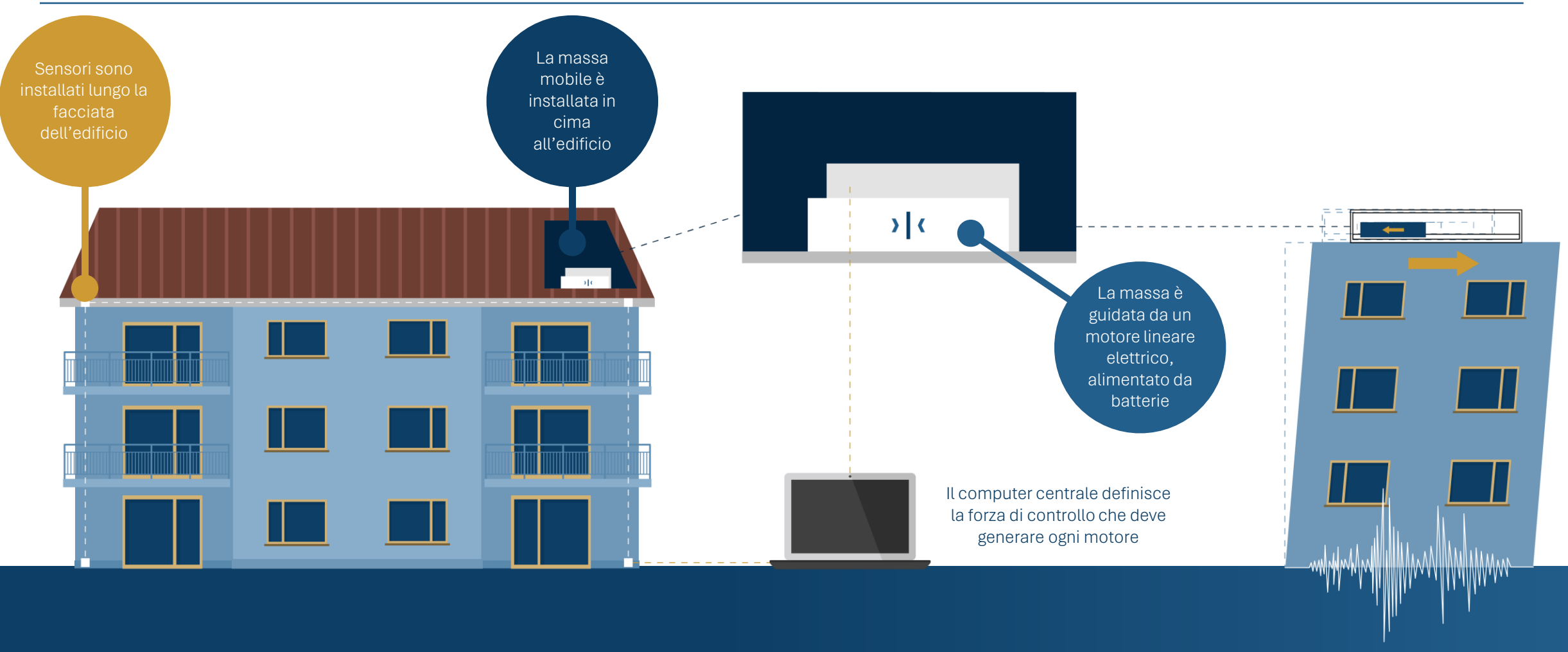


Tecnologia ISAAC: Electro-Pro 20x e Electro-Pro 45x

Asse inerziale			
Dimensioni	B = 0.80 m, H = 0.50 m, L da definire		
Peso (massa mobile)	da definire		
QERTM	- Quadro elettrico remoto		
Dimensioni	B = 0.50 m, L = 1.10 m, H = 0.80 m		
Peso	150 kg		
QECNT – Quadro elettrico centrale			
Dimensioni	B = 0.60 m, L = 0.80 m, H = 1.60 m		
Peso	350 kg		
BATT – Quadro batterie			
Dimensioni	B = 0.40 m, L = 0.60 m, H = 0.90 m		
Peso	100 kg		
SISTEMA			
Forza massima di picco	20.8 kN o 45 kN		
Accelerazione max	8 g		
Velocità max	4.9 m/s		
Autonomia batterie	24h (in assenza di rete elettrica)		



Come funziona



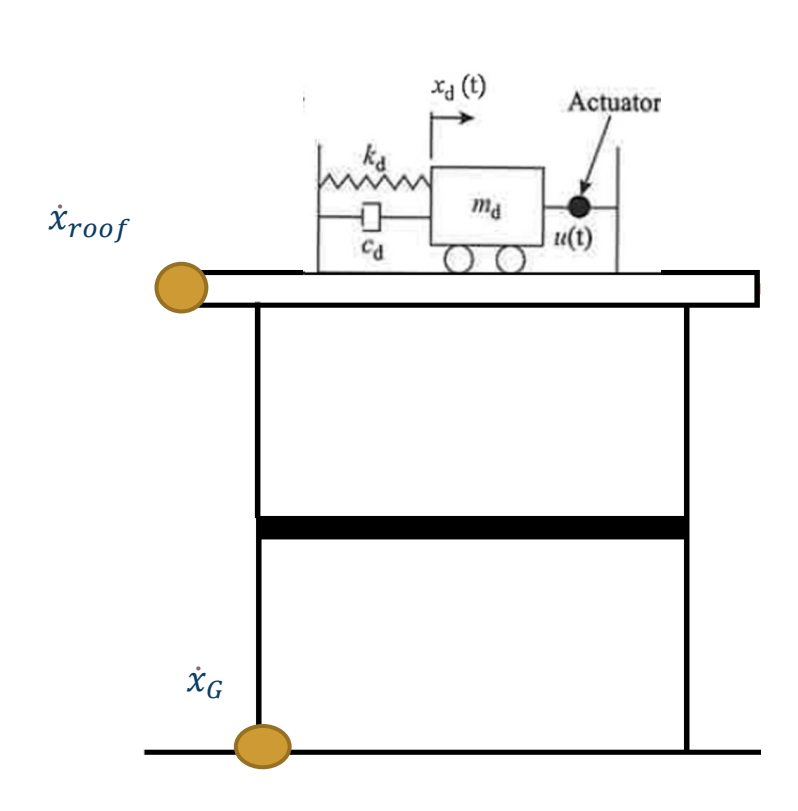
I motori elettrici vengono installati in cima alla struttura, mentre i sensori vengono posizionati in diversi punti della struttura. I sensori registrano le oscillazioni causate da eventi naturali, consentendo un monitoraggio continuo. Il segnale viene poi letto e processato dal computer centrale che, grazie ad appositi algoritmi, comunica ai motori elettrici quanto muovere le masse, generando così forze stabilizzanti.

L'algoritmo di controllo

Il sistema di controllo è del tipo *Sky-Hook*: la massa mobile dell'asse inerziale viene movimentata dall'attuatore in modo tale da erogare una forza inerziale di controllo proporzionale alla differenza di velocità registrata dal sistema di monitoraggio alla quota di installazione del dispositivo ed alla base dell'edificio, ed una costante di *Gain*.

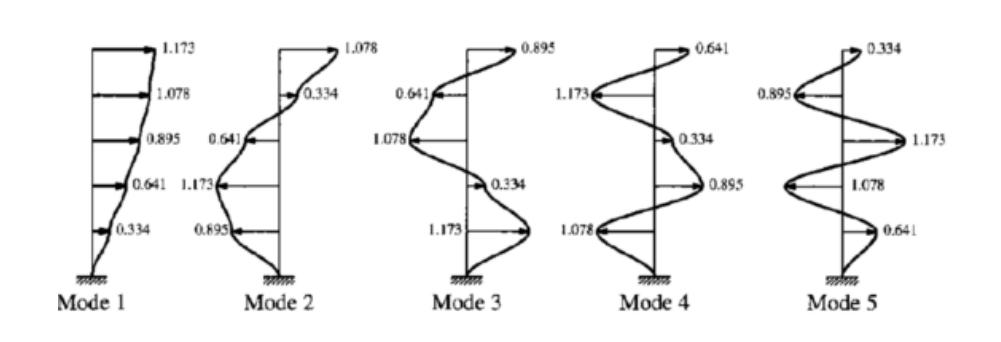
- Non dipende dalle caratteristiche della struttura
- Risponde solamente in ragione della velocità che la struttura sperimenta
- Algoritmo di controllo semplice robusto
- Richiede il tuning del Gain

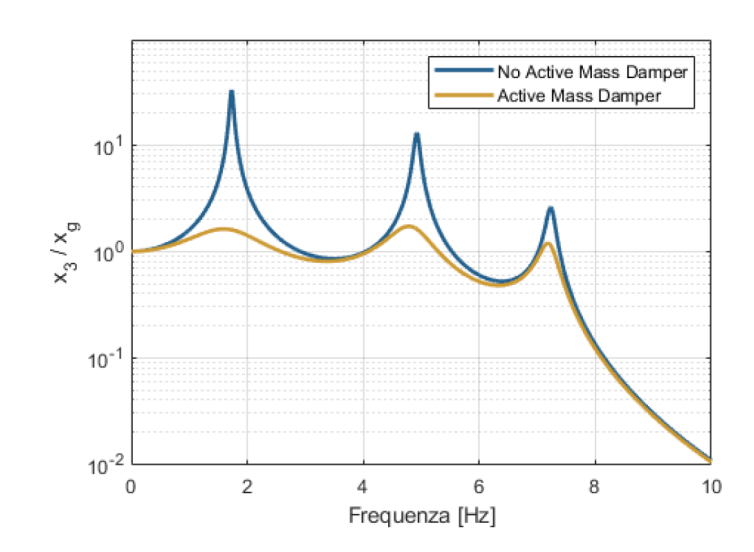
$$F_{control} = -G \cdot (\dot{x}_{roof} - \dot{x}_G)$$

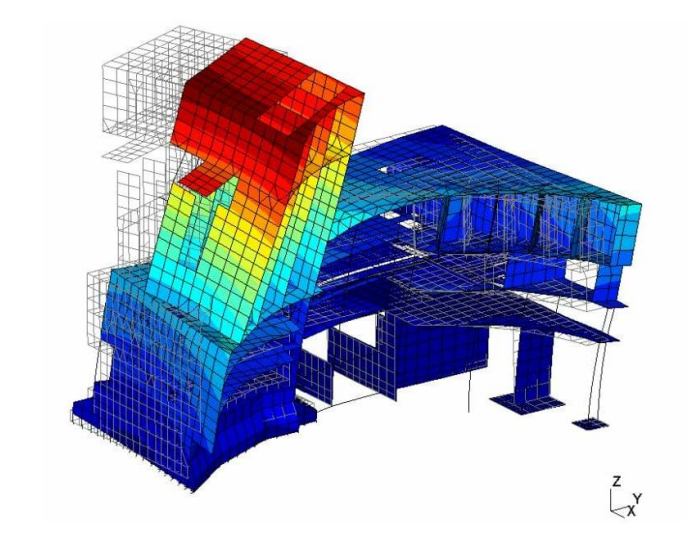


Sistemi AMD – Lo smorzamento supplementare

I sistemi AMD producono un effetto di smorzamento aggiunto alla struttura, non solo sulla prima frequenza propria come i sistemi TMD, ma su un range di frequenze più ampio, rendendoli così più efficienti. Inoltre, grazie al contributo degli attuatori che accelerano le masse mobili fino a 9g, l'entità di queste risulta molto più contenuta permettendone un'elevata integrabilità anche sul costruito.



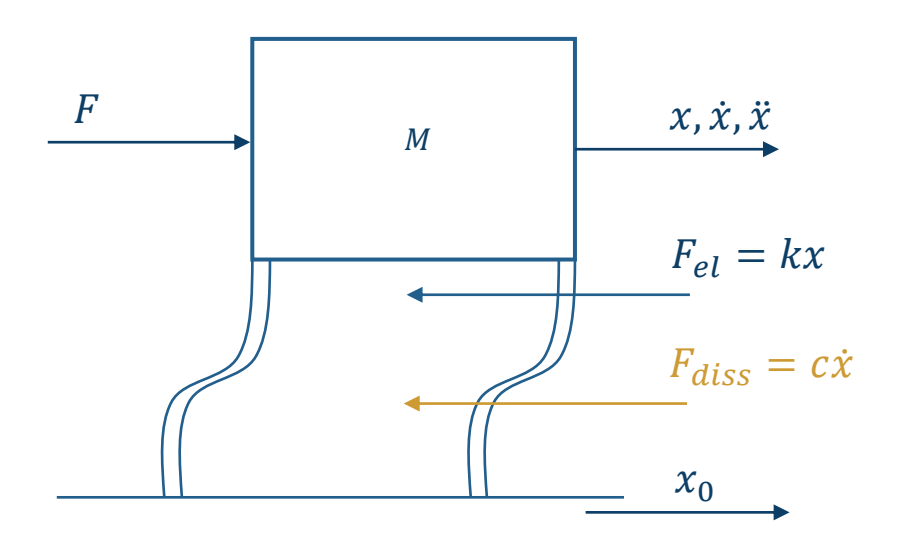




Sistemi AMD – Lo smorzamento supplementare

Il principio di funzionamento del sistema si basa sulla logica di controllo implementata all'interno del computer centrale. La scelta di una legge *Sky-Hook velocity feedback* permette di ottenere forze di controllo in grado di incrementare lo smorzamento strutturale.

Struttura smorzata con AMD che eroga la forza F



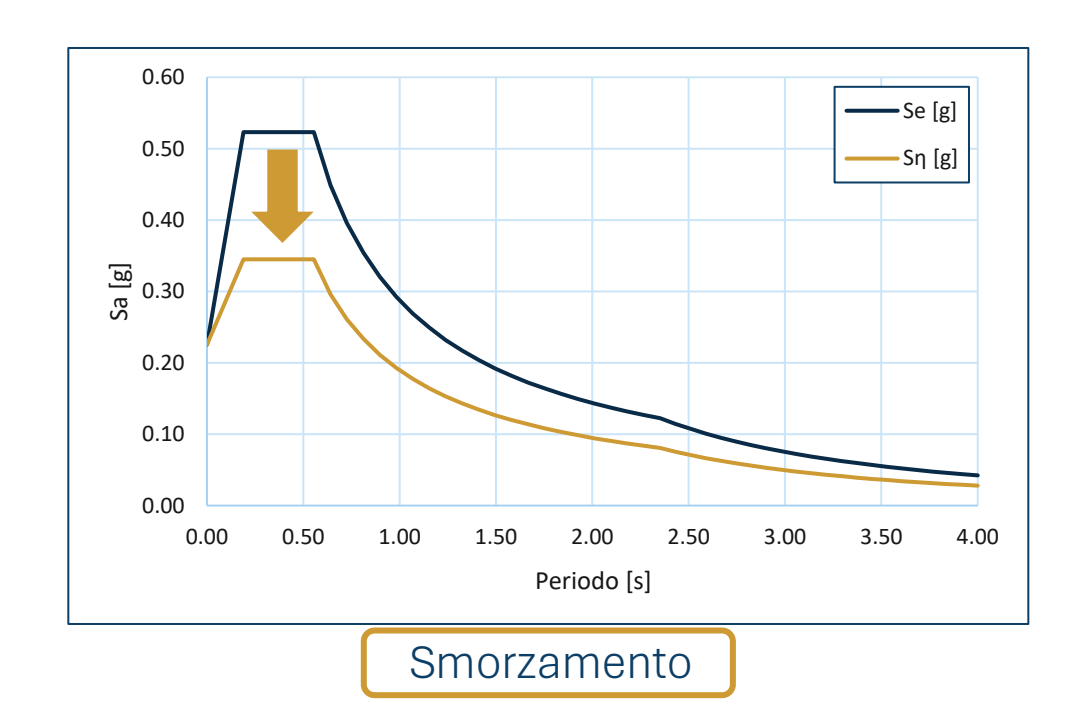
$$F_{AMD} = -G\dot{x}$$
 Legge di controllo di tipo Sky-Hook

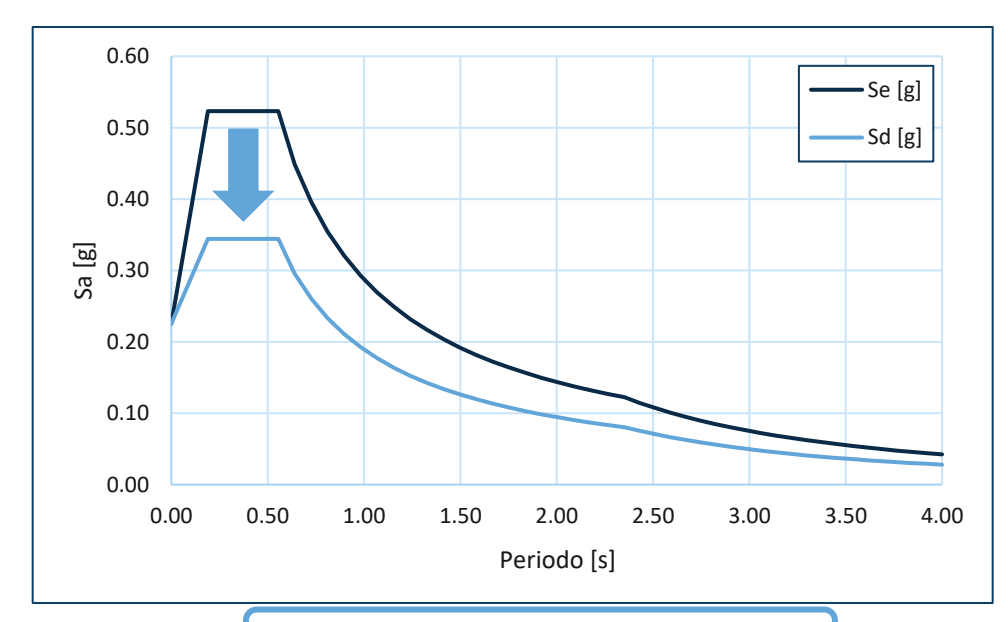
$$c\dot{x} + kx - F = -m(\ddot{x} + \ddot{x}_0)$$
 Equilibrio dinamico

$$m\ddot{x} + c\dot{x} + kx = -m\ddot{x}_0 - G\dot{x}$$
 Equazione di moto

$$m\ddot{x} + (c + G)\dot{x} + kx = -m\ddot{x}$$

Riduzione dello spettro elastico





Fattore di comportamento

$$\eta = \sqrt{\frac{10}{5 + 100\xi}} \rightarrow q = 1/\eta$$

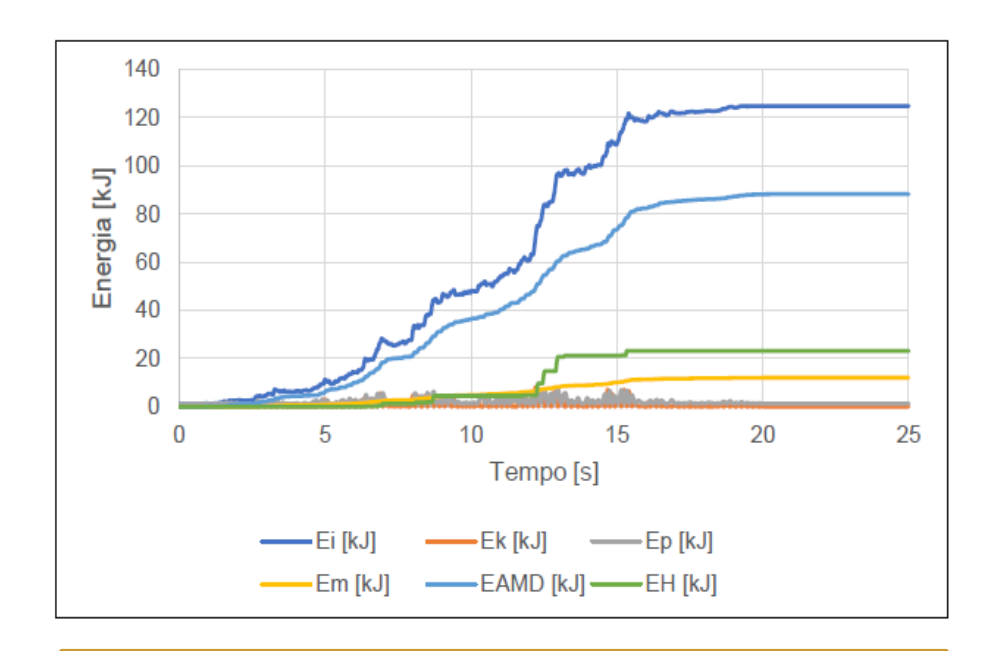
Sistemi AMD – Lo smorzamento supplementare

Bilancio energetico

$$E_I(t) = \left(E_K(t) + E_S(t)\right) + E_{\xi,m}(t) + E_{\xi,v}(t) + E_H(t)$$

Energia dissipata dagli AMD

- $E_I(t)$: energia di input
- $E_K(t)$: energia cinetica
- $E_{\mathcal{S}}(t)$: energia potenziale elastica
- $E_{\xi,m}(t)$: energia di smorzamento globale
- $E_{\xi,v}(t)$: energia di smorzamento viscoso
- $E_H(t)$: energia di isteresi meccanica



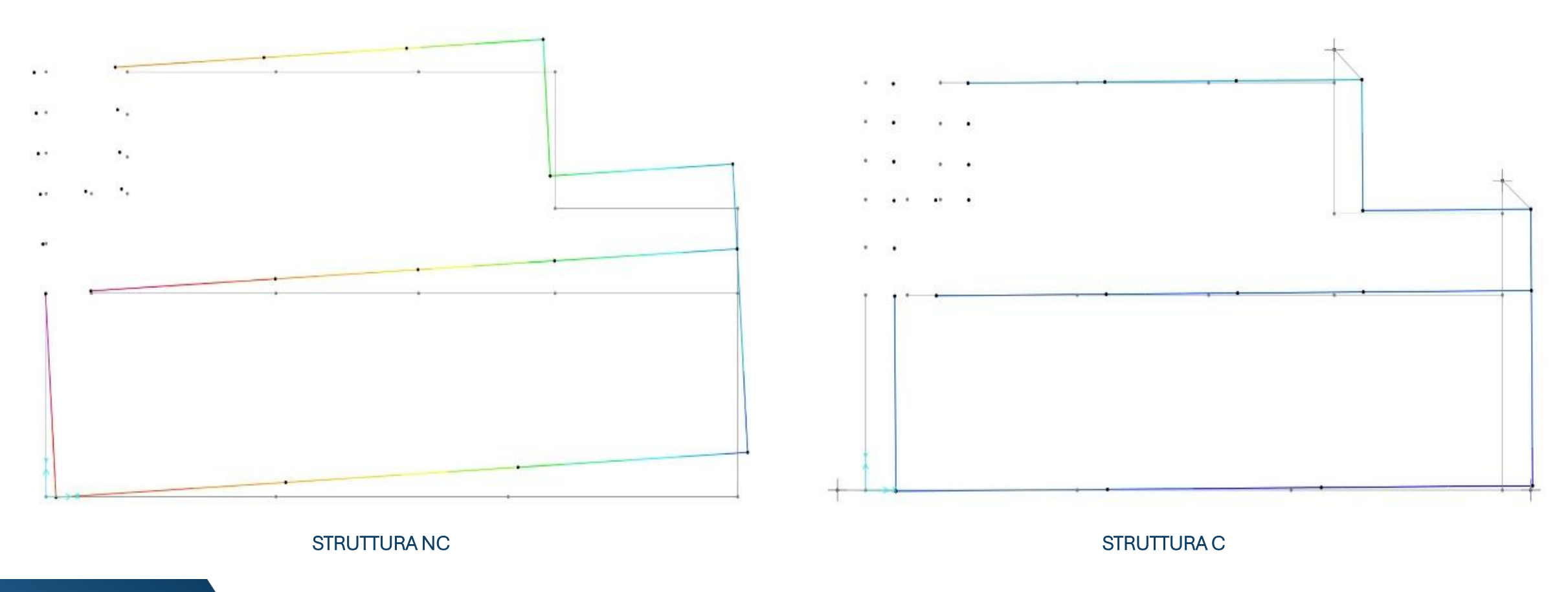
Potenza dissipata: $W_{diss} = F\dot{x}$

Energia dissipata: $E_{diss} = \int_0^T F \dot{x} dt$

Posizione degli assi inerziali

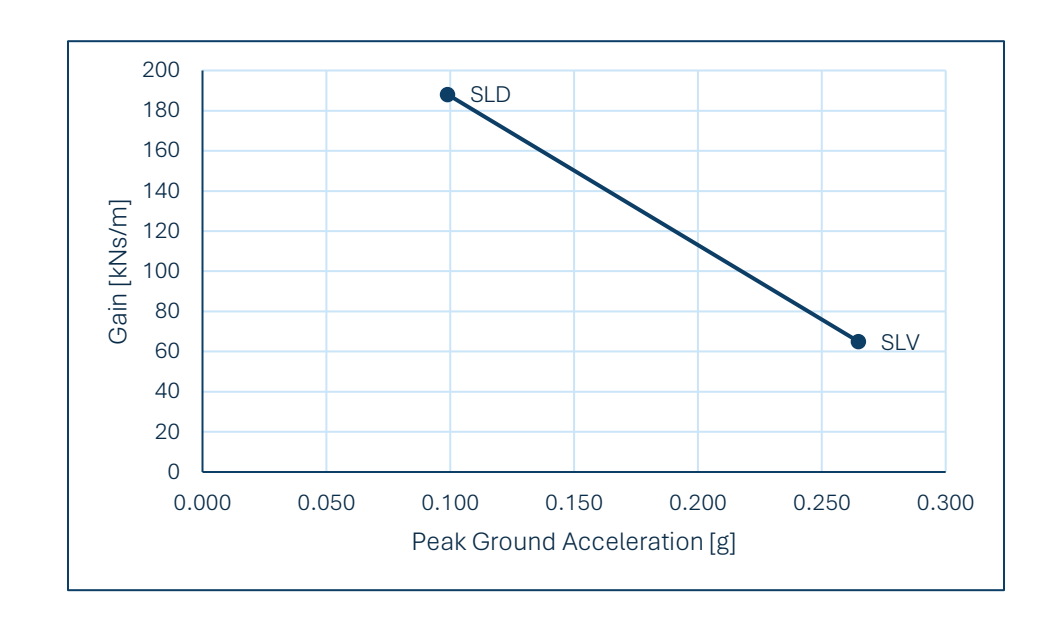


Posizione degli assi inerziali



Calibrazione del Gain

$$\begin{cases} F_c = -G\dot{x} \\ F_c < m_{AMD}v_{AMD,max}2\pi f_0 \end{cases} \longrightarrow G = \frac{m_{AMD}v_{AMD,max}2\pi f_0}{\dot{x}}$$



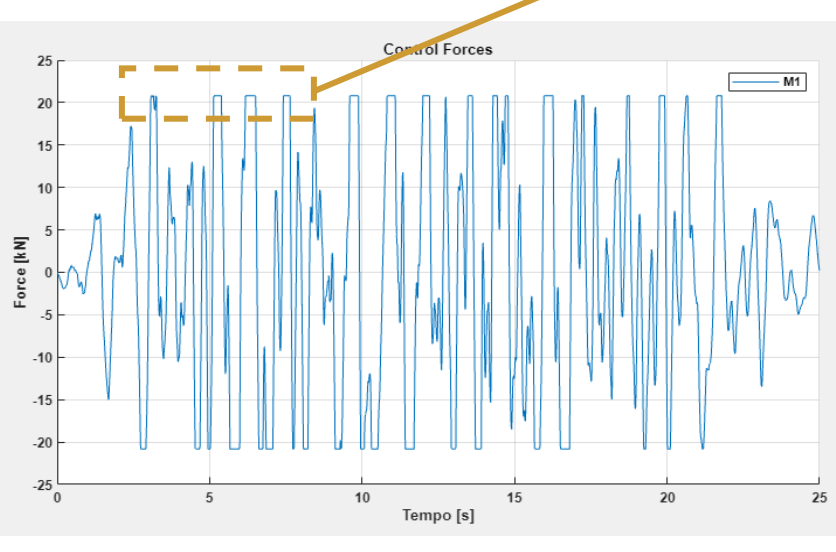
Ottimizzazione del valore di Gain

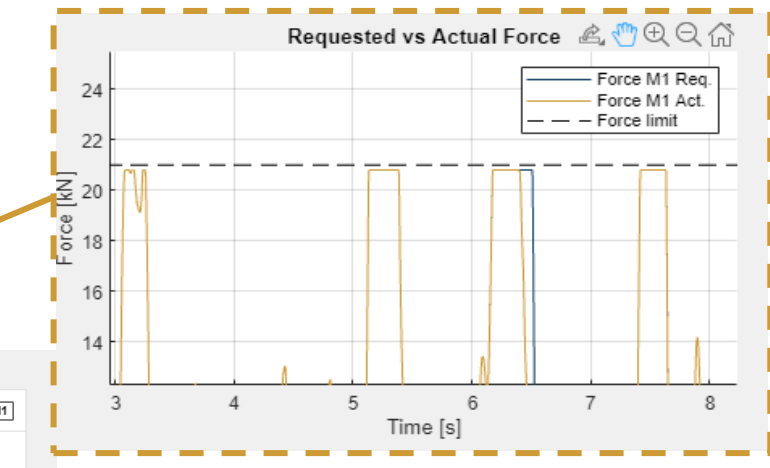
$$\begin{cases} F_c = -G\dot{x} \\ F_c < m_{AMD}v_{AMD,max}2\pi f_0 \end{cases}$$

Control Forces









Massa mobile e corsa

Si ipotizza tale scenario semplificato:

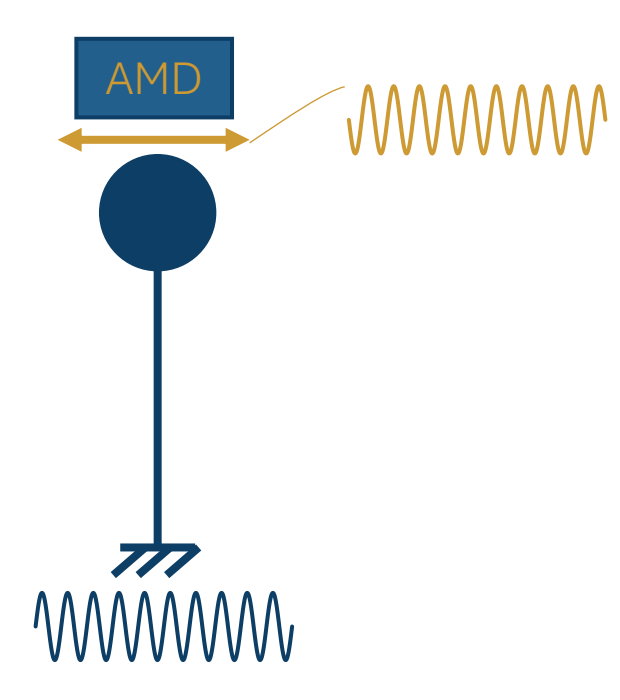
- Struttura modellata come SDOF
- Azione armonica alla base dello SDOF
- L'AMD risponde con una forza di controllo armonica

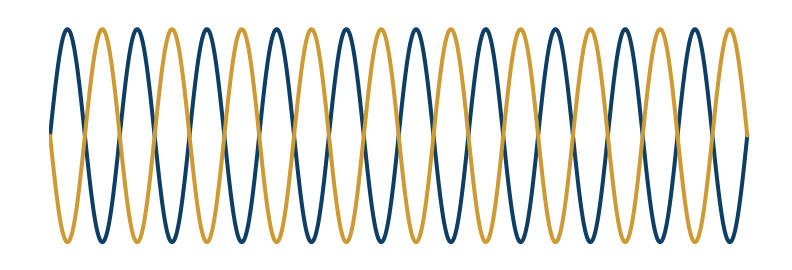
$$\begin{cases} |s_{AMD}| = Asin(\omega t) \\ |v_{AMD}| = A\omega cos(\omega t) \\ |a_{AMD}| = A\omega^2 sin(\omega t) \end{cases}$$

$$a_{AMD}(t) = \frac{F_C(t)}{m_{AMD}}$$

$$v_{AMD}(t) = \frac{F_C(t)}{m_{AMD}\omega}$$

$$s_{AMD}(t) = \frac{F_C(t)}{m_{AMD}\omega^2}$$



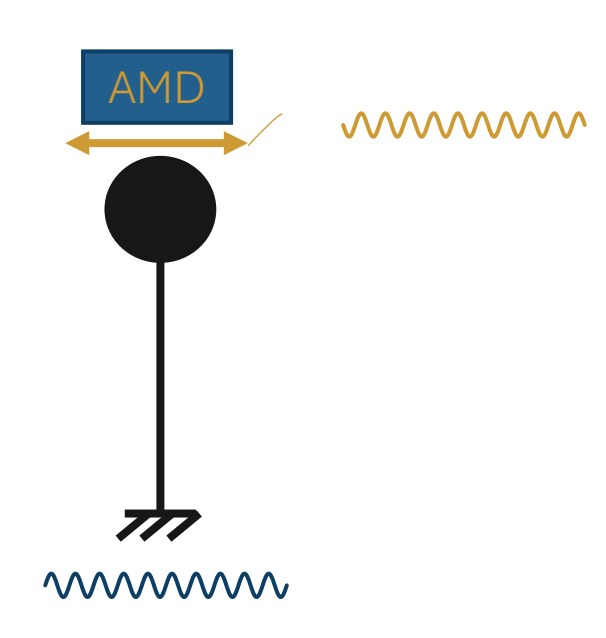


$$\begin{cases} |s_{AMD}(t)| = \frac{F_C(t)}{m_{AMD}} \\ |v_{AMD}| = Asin(\omega t) \\ |a_{AMD}| = A\omega cos(\omega t) \\ |a_{AMD}| = A\omega^2 sin(\omega t) \end{cases} v_{AMD}(t) = \frac{F_C(t)}{m_{AMD}\omega}$$
$$s_{AMD}(t) = \frac{F_C(t)}{m_{AMD}\omega^2}$$

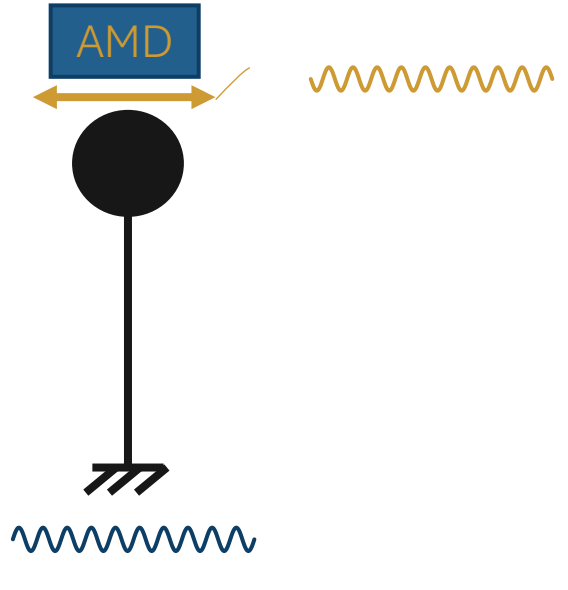
$$a_{AMD}(t) = \frac{F_C(t)}{m_{AMD}}$$

$$v_{AMD}(t) = \frac{F_C(t)}{m_{AMD}\omega}$$

$$S_{AMD}(t) = \frac{F_C(t)}{m_{AMD}\omega^2}$$



T = 0.5 s - f = 2.0 Hz

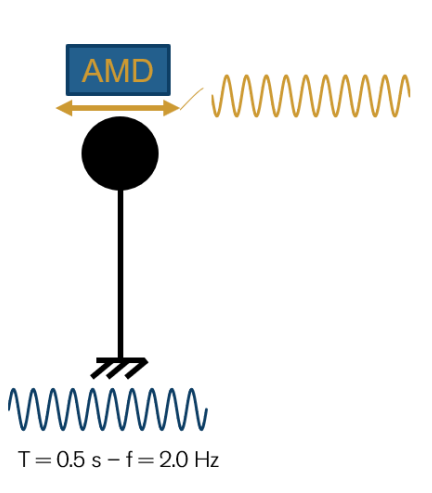


$$\begin{cases} |s_{AMD}| = Asin(\omega t) \\ |v_{AMD}| = A\omega cos(\omega t) \\ |a_{AMD}| = A\omega^2 sin(\omega t) \end{cases}$$

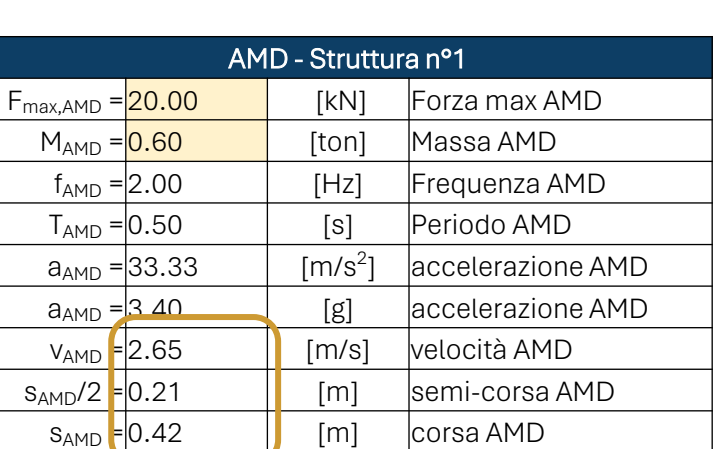
$$a_{AMD}(t) = \frac{F_C(t)}{m_{AMD}}$$

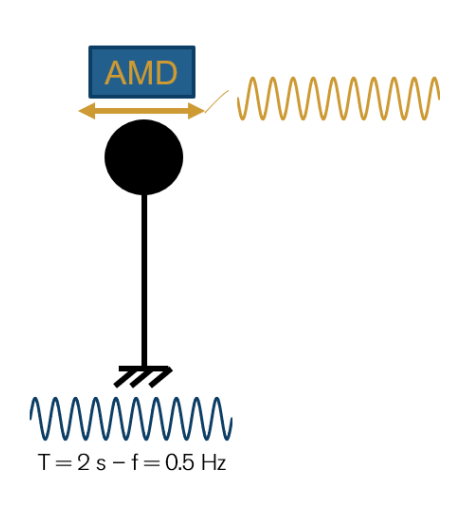
$$v_{AMD}(t) = \frac{F_C(t)}{m_{AMD}\omega}$$

$$s_{AMD}(t) = \frac{F_C(t)}{m_{AMD}\omega^2}$$



Limitazione in forza
$F_c < F_{max}$





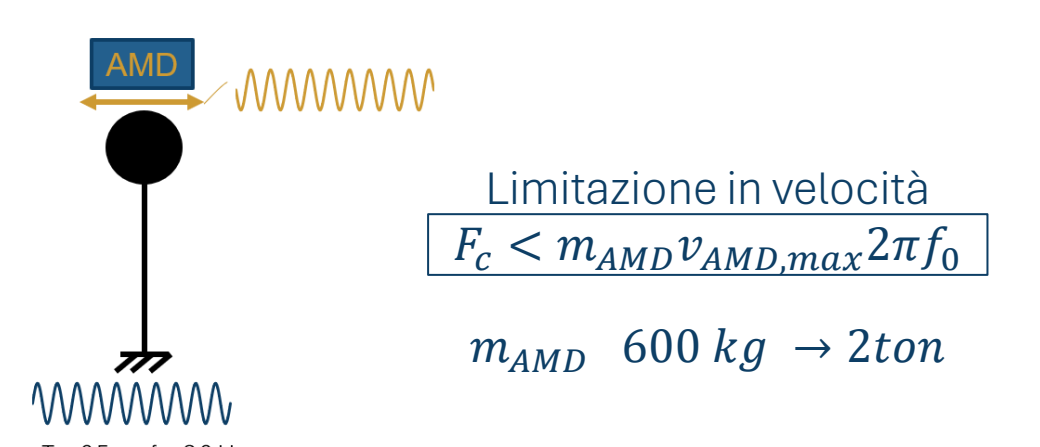
AMD - Struttura n°2			
F _{max,AMD} =	20.00	[kN]	Forza max AMD
M _{AMD} =	0.60	[ton]	Massa AMD
f _{AMD} =	0.50	[Hz]	Frequenza AMD
T _{AMD} =	2.00	[s]	Periodo AMD
a _{AMD} =	33.33	[m/s ²]	accelerazione AMD
a _{AMD} =	3 40	[g]	accelerazione AMD
V _{AMD} =	10.61	[m/s]	velocità AMD
S _{AMD} /2 =	3.38	[m]	semi-corsa AMD
S _{AMD} =	6.75	[m]	corsa AMD

$$\begin{cases} |s_{AMD}| = Asin(\omega t) \\ |v_{AMD}| = A\omega cos(\omega t) \\ |a_{AMD}| = A\omega^2 sin(\omega t) \end{cases}$$

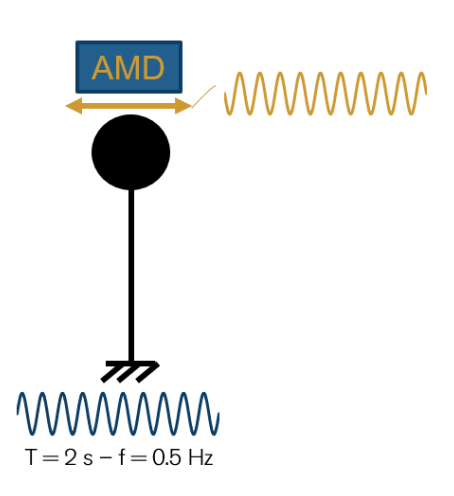
$$a_{AMD}(t) = \frac{F_C(t)}{m_{AMD}}$$

$$v_{AMD}(t) = \frac{F_C(t)}{m_{AMD}\omega}$$

$$s_{AMD}(t) = \frac{F_C(t)}{m_{AMD}\omega^2}$$



AMD - Struttura n°1			
v _{max,AMD} =	3.00	[m/s]	velocità AMD
M _{AMD} =	0.60	[ton]	Massa AMD
f _{AMD} =	2.00	[Hz]	Frequenza AMD
T _{AMD}	0.50	[8]	Periodo AMD
F _{max,AMD} =	22.62	[kN]	Forza max AMD
a _{AMD}	37.70	[m/s ²]	accelerazione AMD
a _{AMD} =	3.84	[g]	accelerazione AMD
s _{AMD} /2 =	0.24	[m]	semi-corsa AMD
S _{AMD} =	0.48	[m]	corsa AMD



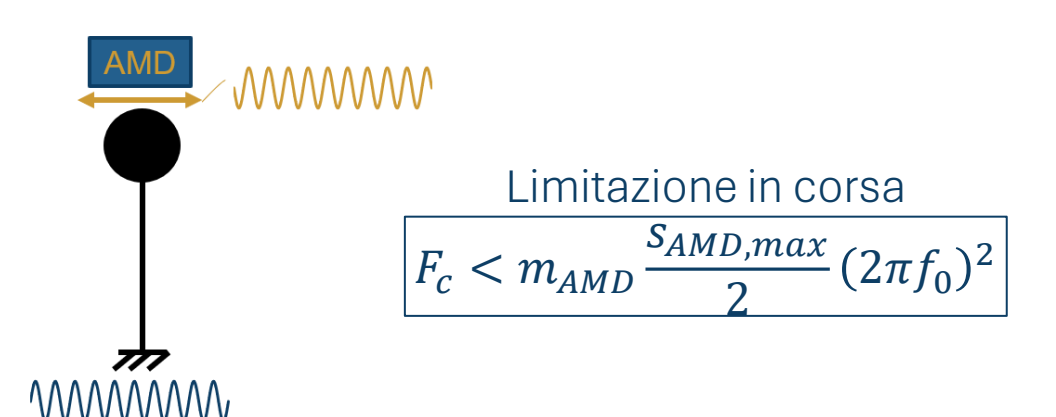
AMD - Struttura n°2			
$V_{\text{max,AMD}} = 3.00$	[m/s]	velocità AMD	
$M_{AMD} = 0.60$	[ton]	Massa AMD	
$f_{AMD} = 0.50$	[Hz]	Frequenza AMD	
T _{AMD} = 2.00	[s]	Periodo AMD	
F _{max,AMD} = 5.65 ~	20 [kN]	Forza max AMD	
a _{AMD} = 9.42	[m/s ²]	accelerazione AMD	
$a_{AMD} = 0.96$	[g]	accelerazione AMD	
$s_{AMD}/2 = 0.95$	[m]	semi-corsa AMD	
S _{AMD} = 1.91	[m]	corsa AMD	

$$\begin{cases} |s_{AMD}| = Asin(\omega t) \\ |v_{AMD}| = A\omega cos(\omega t) \\ |a_{AMD}| = A\omega^2 sin(\omega t) \end{cases}$$

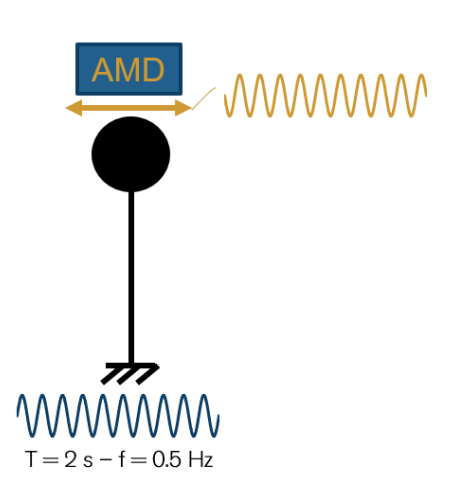
$$a_{AMD}(t) = \frac{F_C(t)}{m_{AMD}}$$

$$v_{AMD}(t) = \frac{F_C(t)}{m_{AMD}\omega}$$

$$s_{AMD}(t) = \frac{F_C(t)}{m_{AMD}\omega^2}$$



AMD - Struttura n°1			
s _{max,AMD} /2 =	0.25	[m]	semi-corsa AMD
M _{AMD} =	0.60	[ton]	Massa AMD
f _{AMD} =	2.00	[Hz]	Frequenza AMD
T _{AMD} =	0.50	[s]	Periodo AMD
F _{max,AMD} =	23.69	[kN]	Forza max AMD
a _{AMD} =	39.48	[m/s ²]	accelerazione AMD
a _{AMD} =	4.02	[g]	accelerazione AMD
V _{AMD} =	3.14	[m/s]	velocità AMD
S _{AMD.max} =	0.50	[m]	corsa AMD



AMD - Struttura n°2			
s _{max,AMD} /2 =	0.25	[m]	semi-corsa AMD
M _{AMD} =	0.60	[ton]	Massa AMD
f _{AMD} =	0.50	[Hz]	Frequenza AMD
T _{AMD} =	2.00	[s]	Periodo AMD
F _{max,AMD} :=	1.48	[kN]	Forza max AMD
a _{AMD}	2.47	[m/s ²]	accelerazione AMD
a _{AMD} =	0.25	[g]	accelerazione AMD
V _{AMD} =	0.79	[m/s]	velocità AMD
S _{AMD.max} =	0.50	[m]	corsa AMD

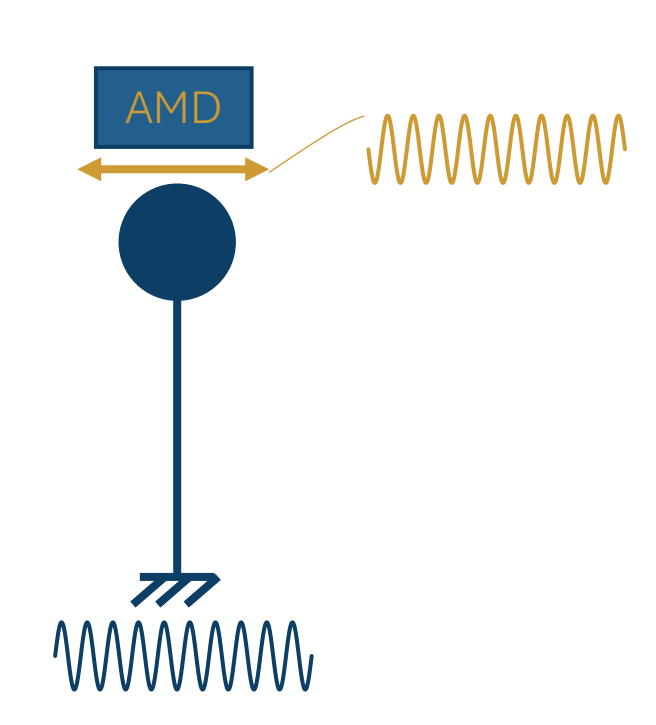
Massa mobile e corsa

Nell'ipotesi di risposta monoarmonica è possibile scrivere le seguenti equazioni dimensionanti per l'AMD:

$$F_c < F_{max}$$

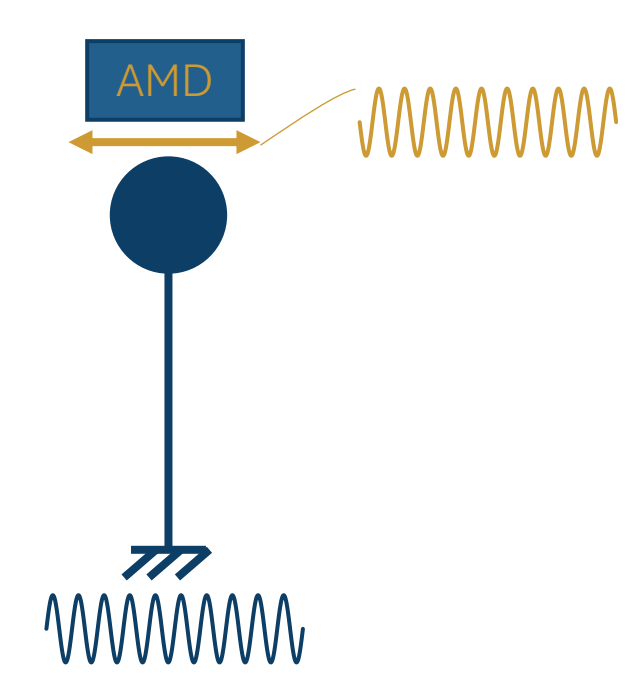
$$F_c < m_{AMD} v_{AMD,max} 2\pi f_0$$

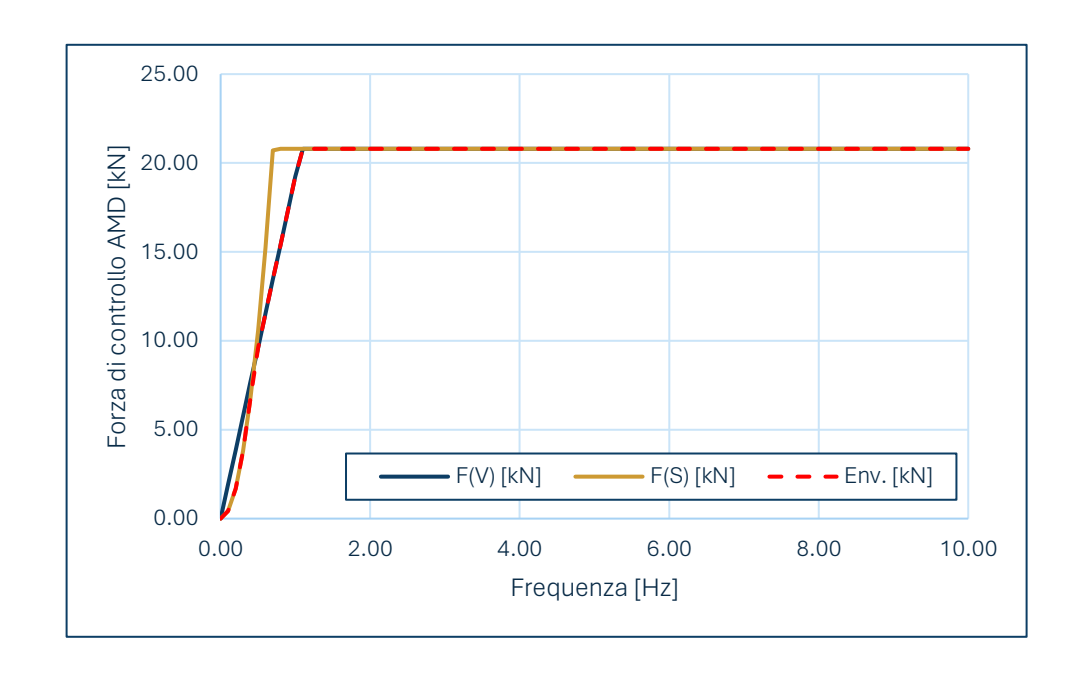
$$F_c < m_{AMD} \frac{S_{AMD,max}}{2} (2\pi f_0)^2$$



Massa mobile e corsa

Limite in forza, velocità e spostamento





Sistemi AMD – Lo smorzamento supplementare

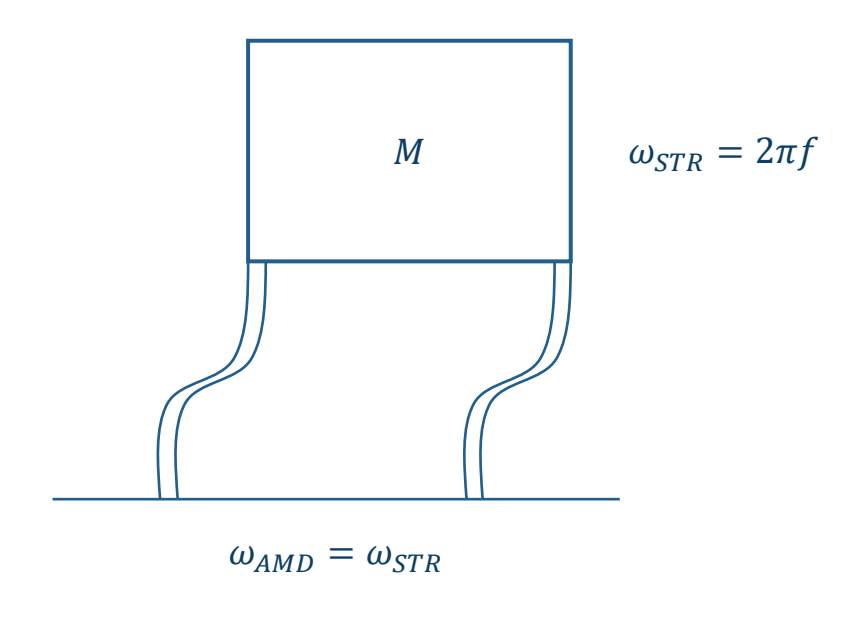
Cinematica AMD

$$\begin{cases} |s_{AMD}| = Asin(\omega t) \\ |v_{AMD}| = A\omega cos(\omega t) \\ |a_{AMD}| = A\omega^2 sin(\omega t) \end{cases}$$

$$a_{AMD}(t) = \frac{F_C(t)}{m_{AMD}}$$

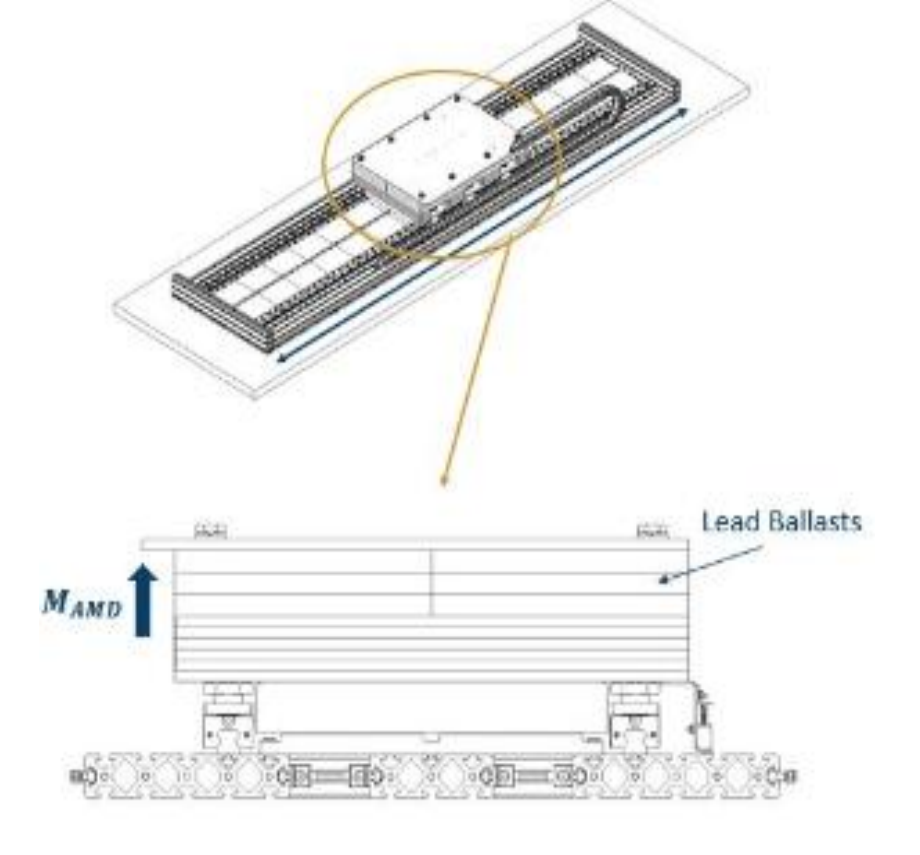
$$v_{AMD}(t) = \frac{F_C(t)}{m_{AMD}\omega}$$

$$s_{AMD}(t) = \frac{F_C(t)}{m_{AMD}\omega^2}$$



STRUTTURA RIGIDA: $\omega \uparrow \Rightarrow v_{AMD} \downarrow s_{AMD} \downarrow$

STRUTTURA FLESSIBILE: $\omega \downarrow \Rightarrow v_{AMD} \uparrow s_{AMD} \uparrow$

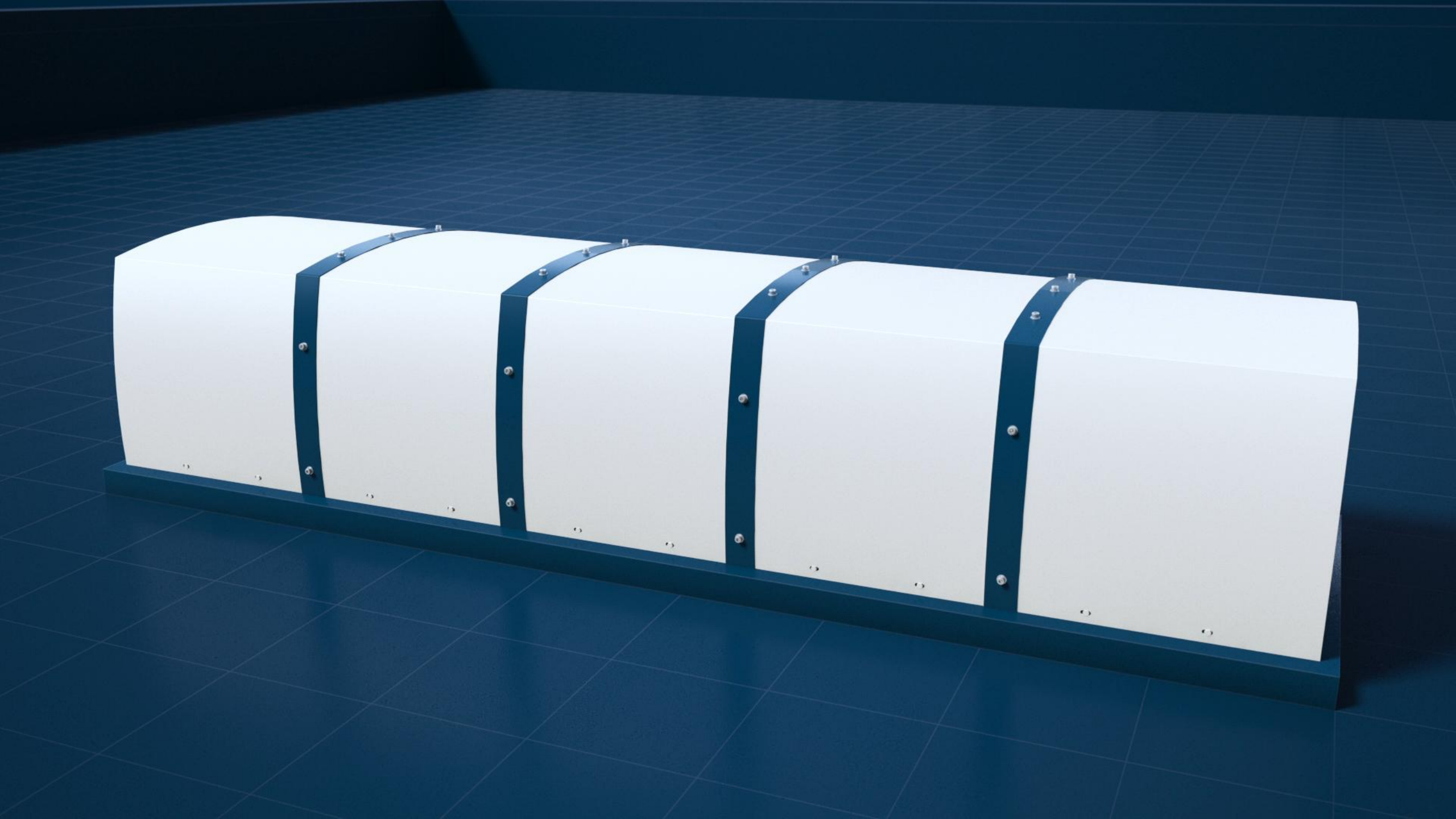


Progettazione sistema e modellazione FEM

Sistemi AMD – Parametri progettuali

Parametri progettuali del sistema AMD

- n_{AMD} numero di macchine: maggiore è il numero di macchine installate e maggiori saranno i livelli di performance ottenuti per la struttura sulla quale le macchine sono installate.
- Posizione delle macchine: anche la disposizione delle macchine è importante. Infatti, questa può variare a seconda del comportamento dinamico della struttura (per esempio possono aiutare a controllare modi torsionali).
- G Gain: maggiore è G e maggiore è la richiesta di forza e quindi l'accelerazione. Questo parametro è legato alle performance della macchina.
- m_{AMD} massa mobile: maggiore è la massa della «zavorra» che costituisce la massa mobile e minore sarà la corsa necessaria per generare l'accelerazione (forza) richiesta dall'algoritmo di controllo.
- Corsa: maggiore è il periodo fondamentale della struttura e maggiore sarà l'ampiezza del moto della massa mobile.



5.

Progettazione e modellazione FEM

Parametri progettuali – Dimensionamento Modellazione FEM – Taratura parametri Check attuatori



Sistemi AMD – Dimensionamento

Numero di AMD necessari

$$n_{AMD} = \frac{F_{AMD,req}}{F_{AMD,target}}$$

$$n_{AMD} = \frac{F_{AMD,req}}{F_{AMD,target}}$$
 $F_{AMD,target} = \frac{F_{AMD,req}}{F_{AMD,target}} = \frac{n_{AMD}G\dot{x}}{1000}$

$$m\ddot{x} + (c + G)\dot{x} + kx = -m\ddot{x}_0$$

$$m\ddot{x} + (c + G)\dot{x} + kx = -m\ddot{x}_0$$
 $F_{AMD} = -G\dot{x}$ per il singolo AMD

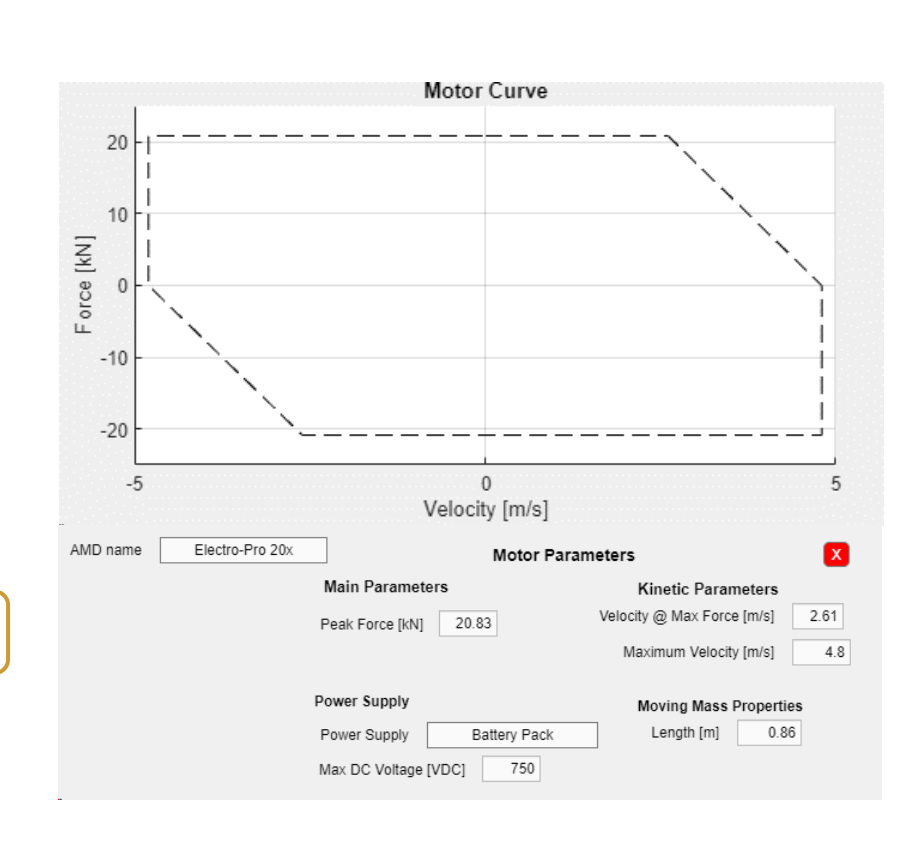
$$\ddot{x} + \left(\frac{c + n_{AMD}G}{m}\right)\dot{x} + \omega^2 x = -\ddot{x}_0$$

$$\xi_{TOT} = \frac{c + n_{AMD}G}{c_{crit}} = \frac{c + n_{AMD}G}{2m\omega}$$

$$\xi_{TOT} = \xi_{STR} + \xi_{AMD} \rightarrow$$

$$\xi_{AMD} = \frac{n_{AMD}G}{2m\omega} -$$

$$n_{AMD} = \frac{F_{AMD,req}}{F_{AMD,target}}$$

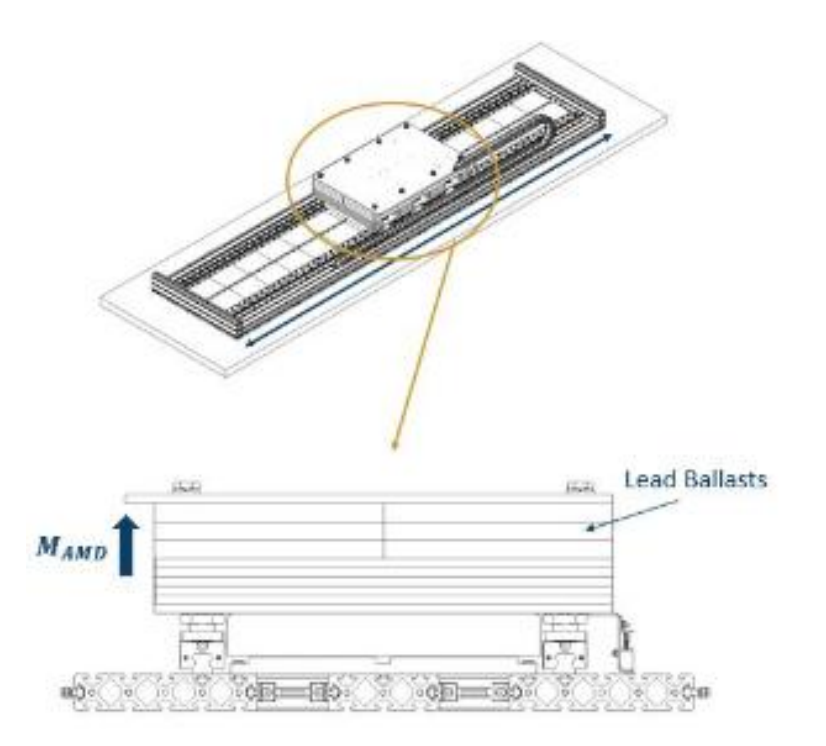


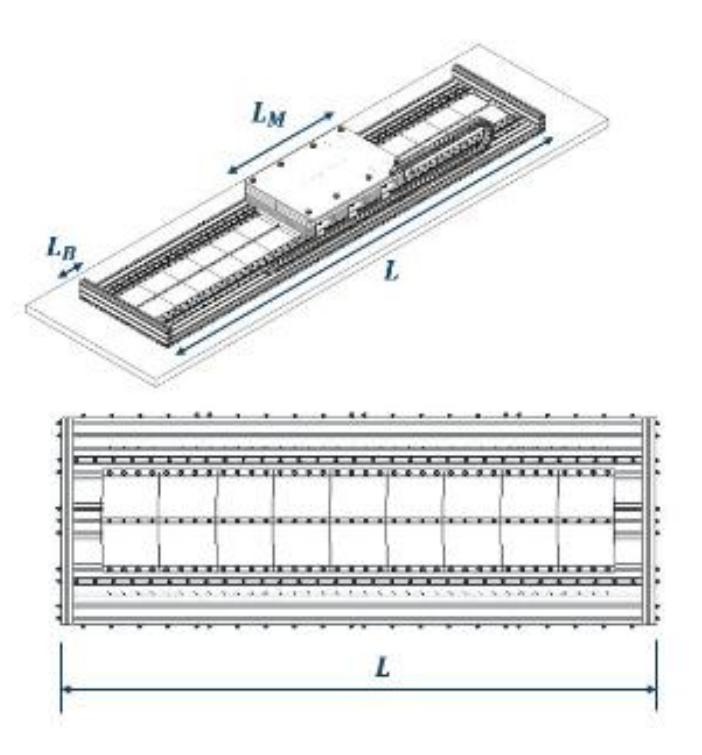
Sistemi AMD – Dimensionamento

Massa mobile e corsa AMD

$$m_{AMD} = \frac{F_{AMD,max}}{\omega_{STR} \cdot v_{AMD,max}}$$

$$s_{AMD} = \frac{2 \cdot v_{AMD,max}}{\omega_{STR}}$$

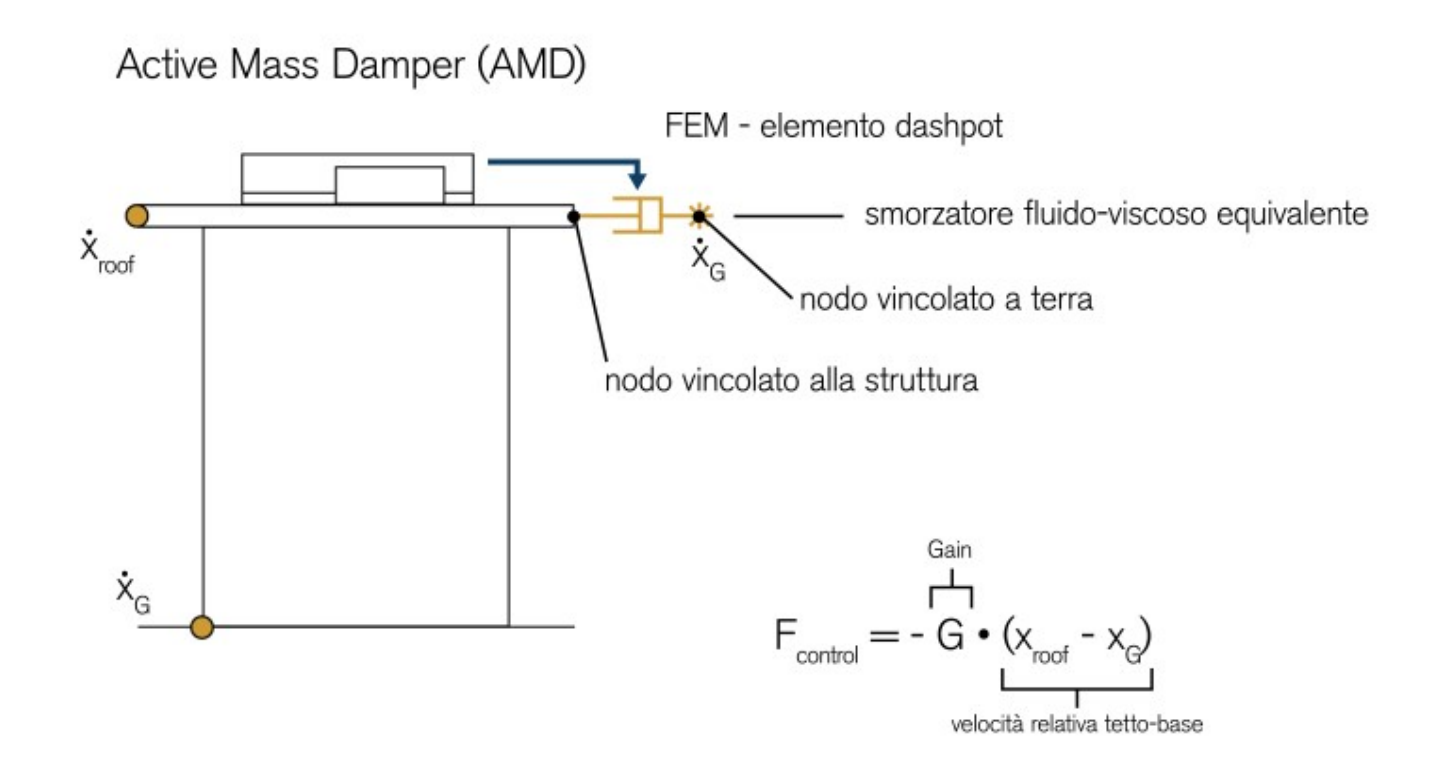




Sistemi AMD – Modellazione FEM

Le caratteristiche principali per tenere in conto, all'interno della modellazione numerica, di un sistema di tipo AMD sono:

- Analisi di tipo Time-History
- Analogia con un dissipatore viscoso passivo*
- Controllo delle performance dell'attuatore
- Taratura del parametro Gain



^{*} All'interno del modello vado a simulare l'effetto della forza di controllo espressa dall'AMD e non il comportamento intrinseco dell'AMD stesso.

Sistemi AMD – Modellazione FFM

Software commerciali che consentono di sviluppare le analisi necessarie alla progettazione di sistemi AMD attraverso l'analogia con il dissipatore viscoso equivalente.











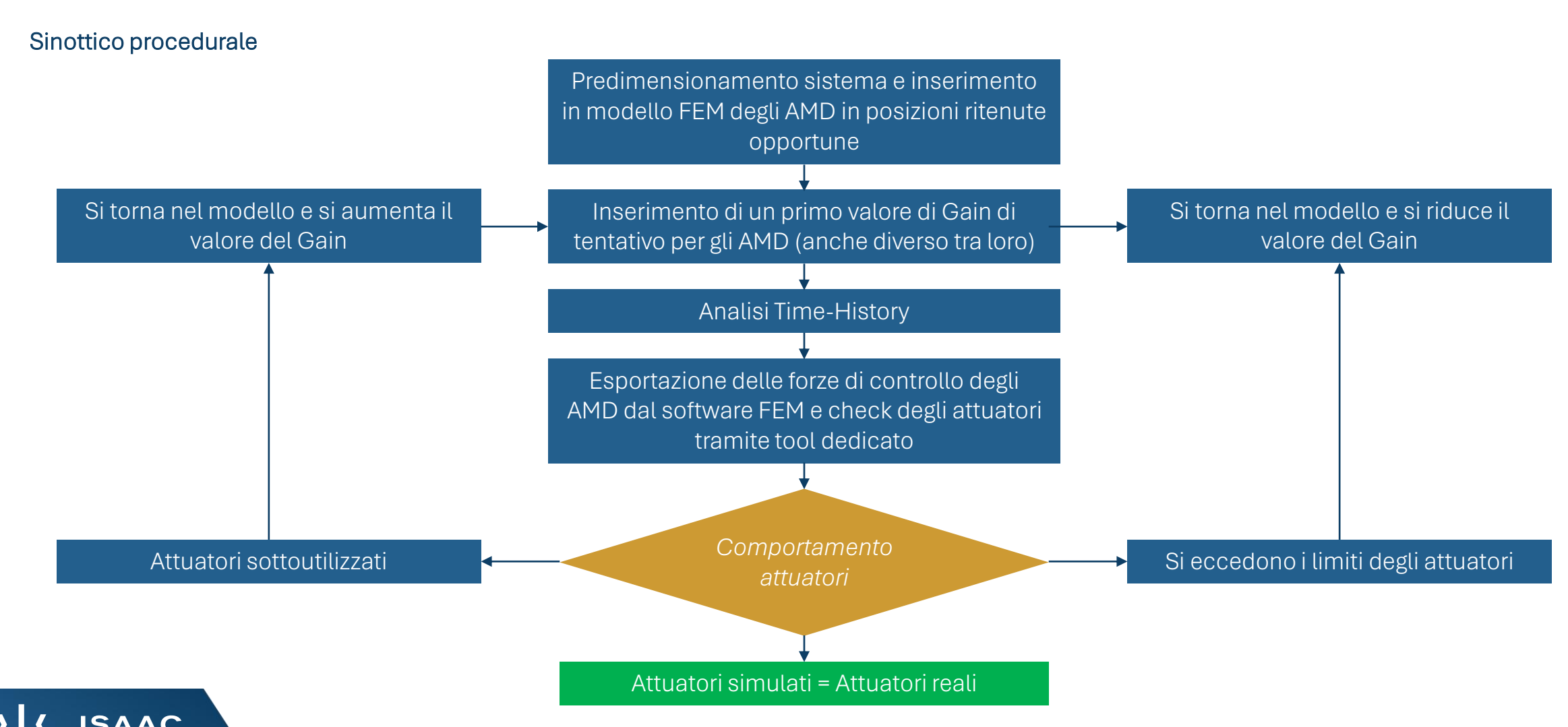






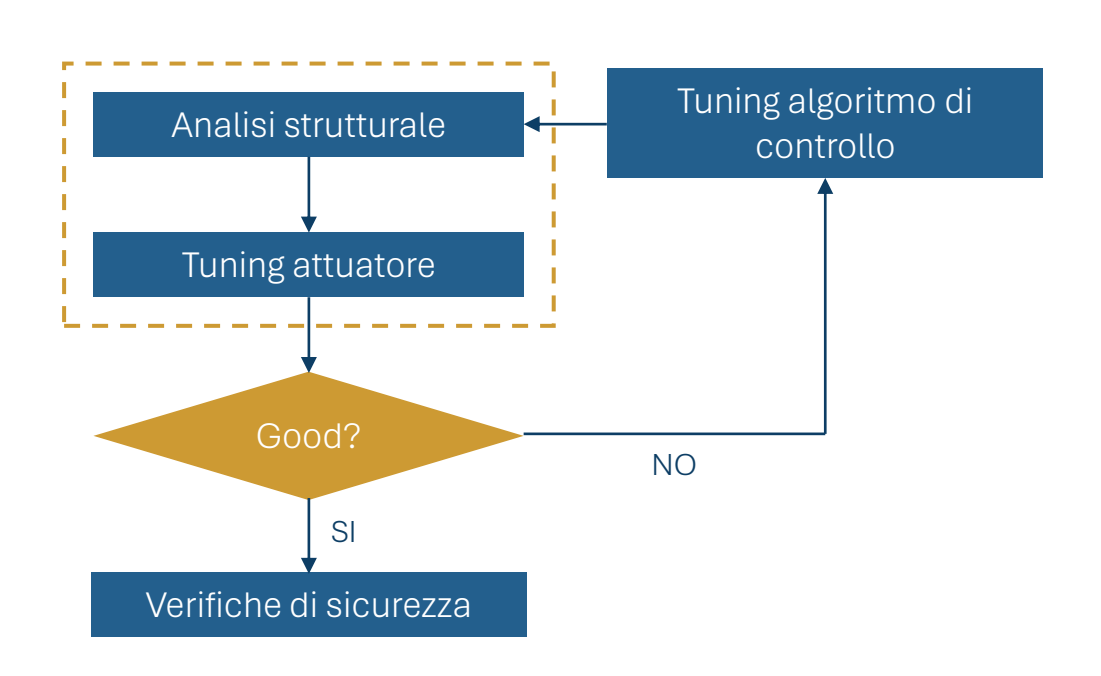


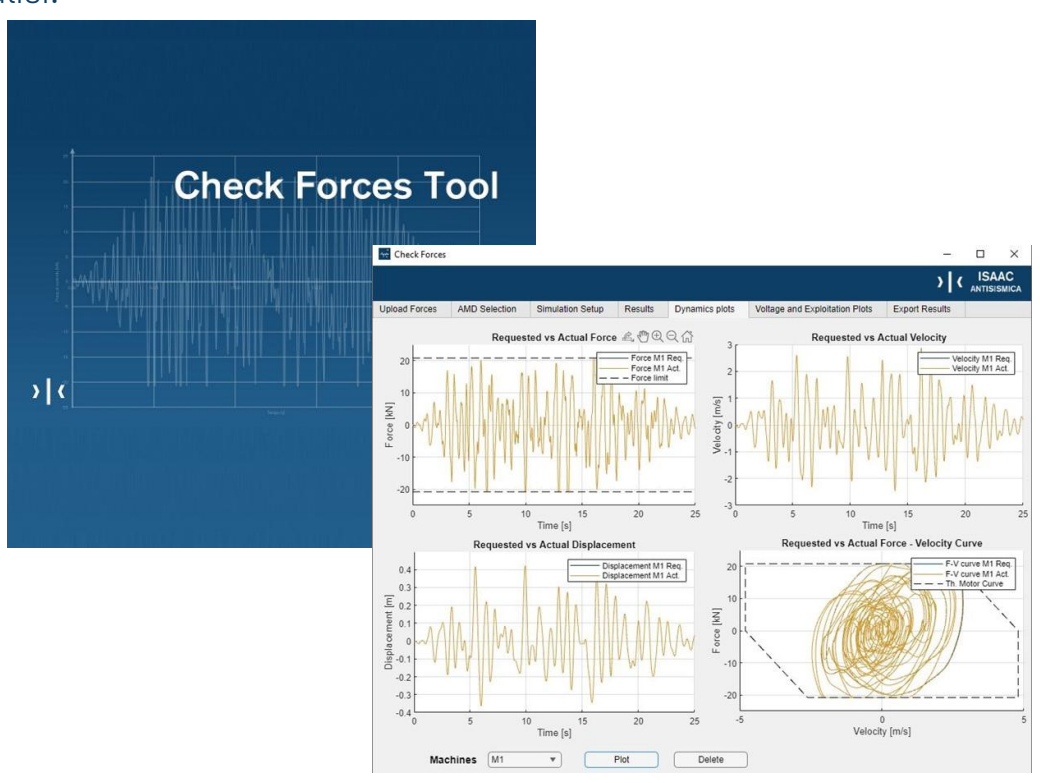
Sistemi AMD – Taratura del parametro Gain



Sistemi AMD – Check Forces Tool

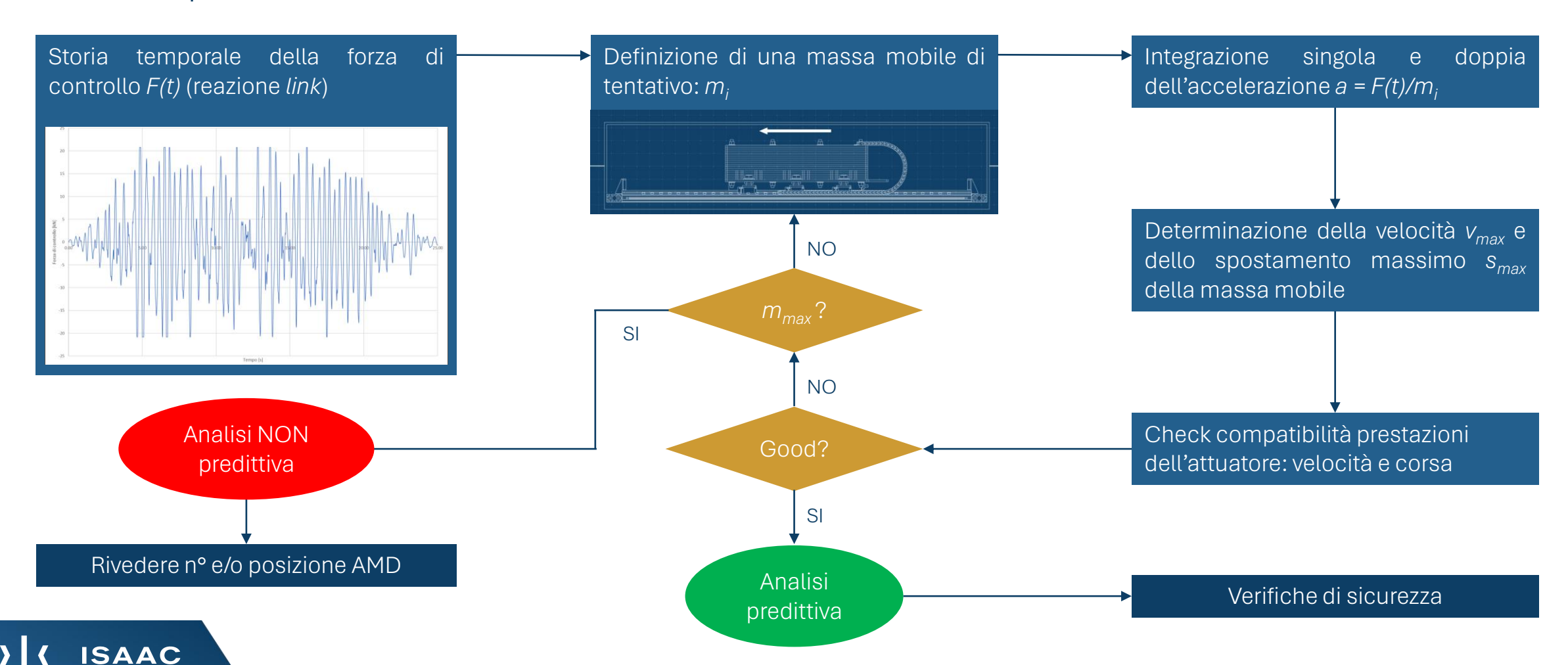
A valle dell'analisi strutturale, occorre dimensionare e verificare le prestazioni degli AMD, ed, eventualmente, ricalibrare il *Gain* o il numero di AMD previsti. Il controllo è eseguito attraverso il software gratuito **Check Forces Tool** sviluppato da **ISAAC**, a partire dalle storie temporali delle forze di controllo dei link modellati. Attraverso la loro integrazione, si determina l'entità delle masse mobili e le richieste di spostamento massimo e di velocità massima che le stesse devono poter sperimentare. Il confronto di tali grandezze con le capacità dell'attuatore e delle lunghezze disponibili consente di dimensionare il sistema progettato e di convalidare l'analisi.





Sistemi AMD – Check Forces Tool

Controllo delle performance dell'attuatore a valle dell'analisi numerica



5.1

Esempio di calcolo

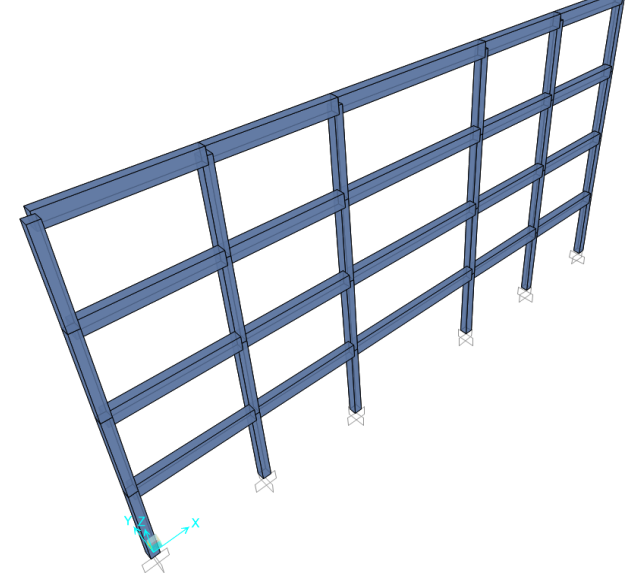
Caso studio – Dimensionamento e modellazione sistema AMD – Analisi THNL Check attuatori – Confronti NC vs C

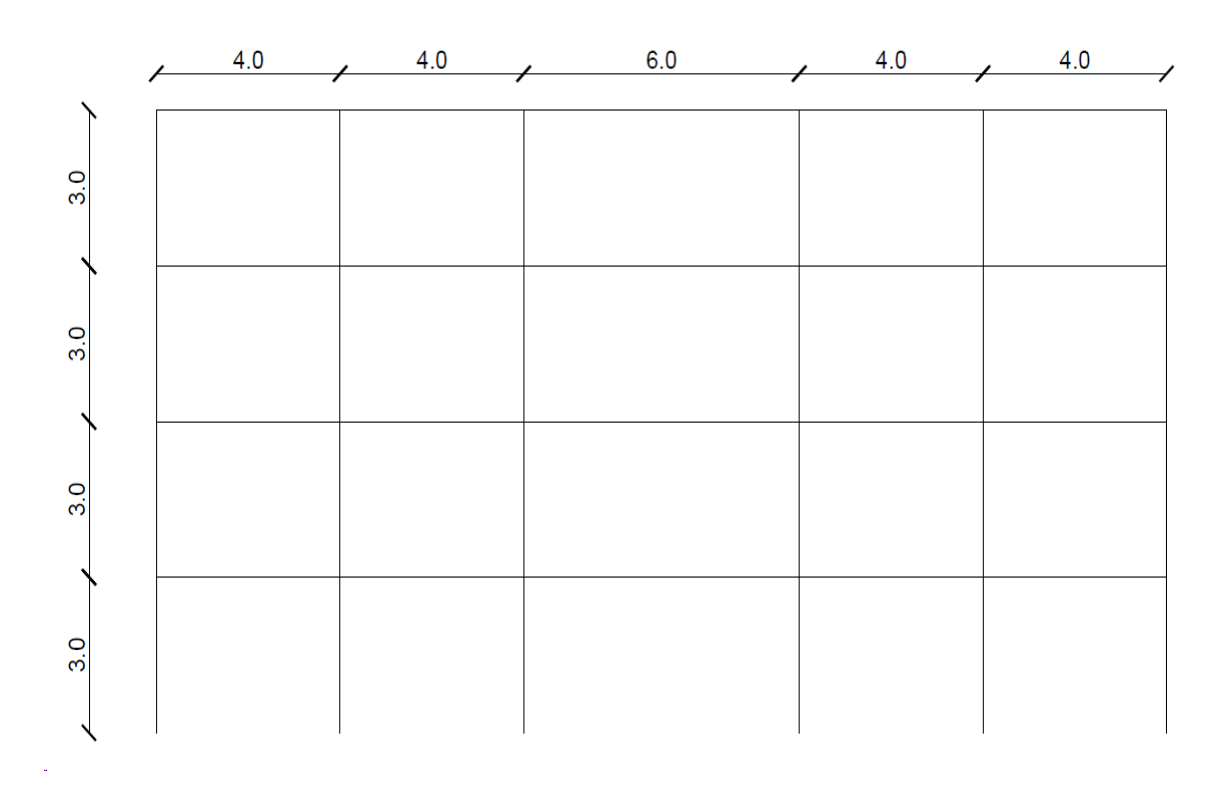


Caso studio

Caratteristiche telaio

- Travi a coltello di sezione 300 x 500 mm
- Pilastri quadrati di sezione 300 x 300 mm
- Armatura longitudinale colonne: 4Ф18
- Armatura trasversale colonne: staffe Φ 6/150 mm
- Calcestruzzo classe C20/25
- Acciaio classe B450C



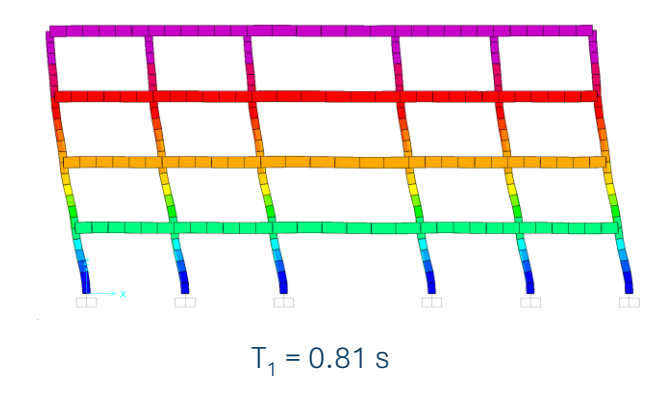


CARICHI APPLICATI			
G ₁ =	10.0	[kN/m]	
G ₂ =	17.5	[kN/m]	
Q _A =	10.0	[kN/m]	
COMB	INAZIONE S	ISMICA	
$G_1 + G_2 + \psi_{21} \cdot Q_{k1} + \psi_{22} \cdot Q_{k2} + \cdots$			
Ψ ₂₁ =	0.3	[-]	

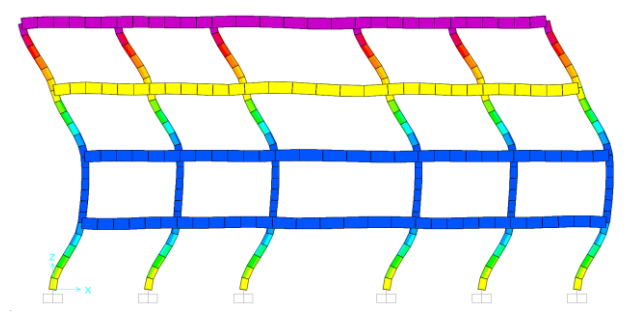
SMORZAMENTO		
ξ =	5% (modale, uguale per tutti i modi)	
COMPORTAMENTO MEMBRATURE		
Travi:	elastico lineare	
Pilastri:	elastico lineare	

Analisi modale

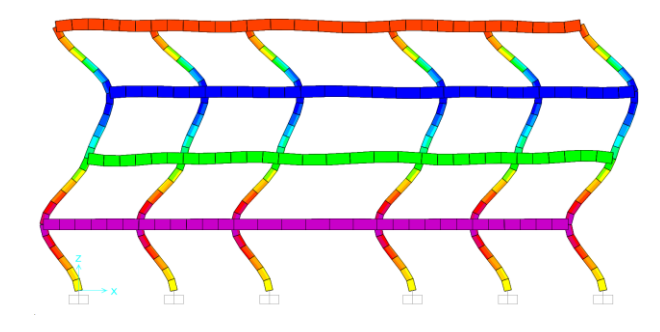
Periodi propri di vibrare e masse partecipanti



Si osserva che la quantità di massa attivata dal primo modo di vibrare è significativa.



 $T_2 = 0.27 s$

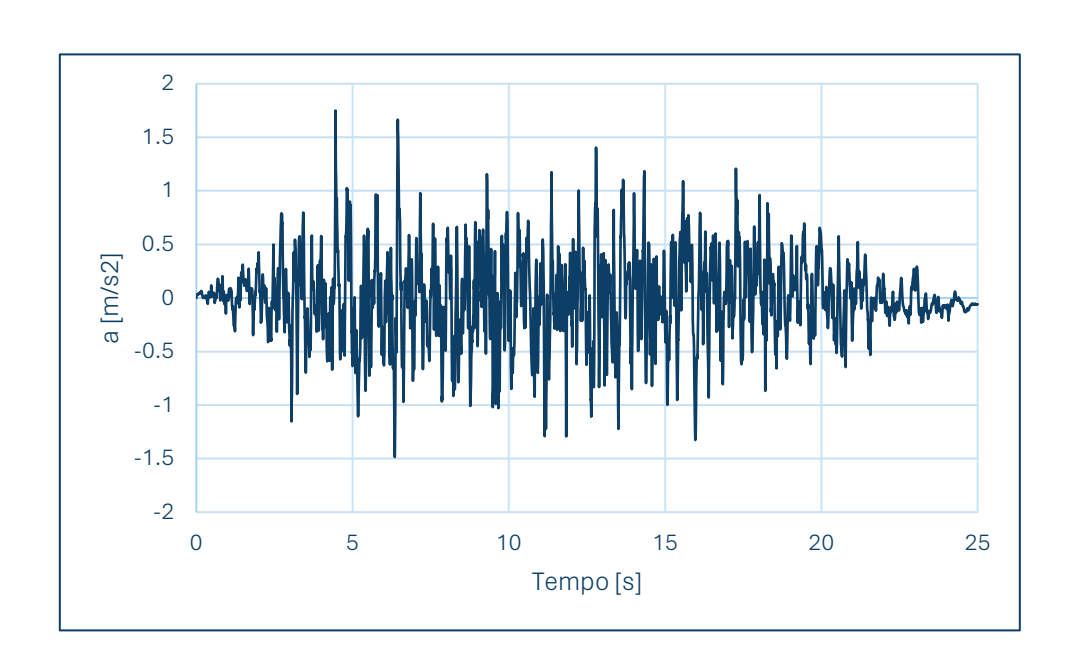


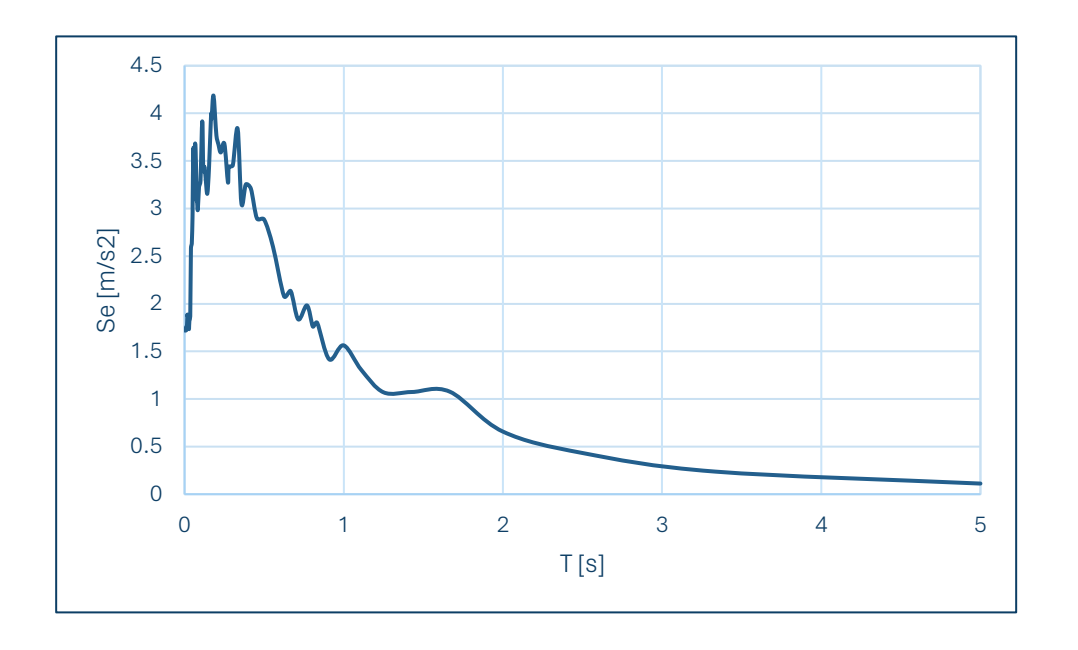
 $T_3 = 0.17 s$

Nº modo	Periodo	Frequenza	UX	SumUX
[-]	[s]	[Hz]	[%]	[%]
1	0.81	1.24	87.58%	87.58%
2	0.27	3.67	9.30%	96.88%
3	0.17	5.89	2.56%	99.43%
m _{STR} = 323.85 ton				

Input sismico

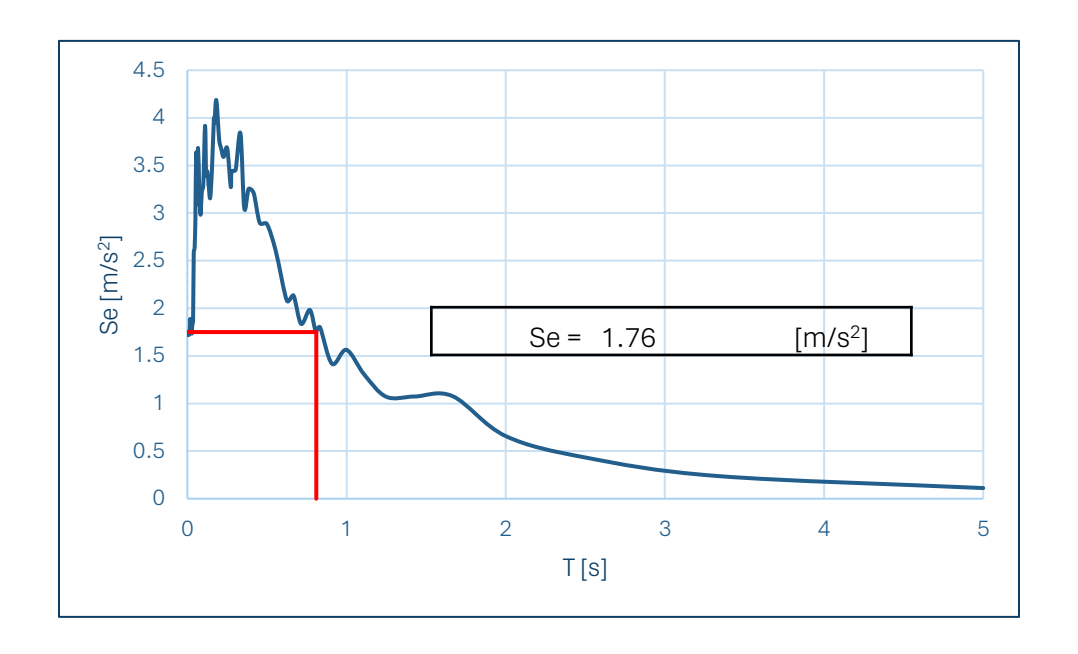
Accelerogramma e relativo spettro di risposta





Analisi dinamica spettrale – Struttura NC

Stima del taglio alla base di domanda



$$V_b = \gamma \cdot m_{STR} \cdot S_e = 0.876 \cdot 323.85 \cdot 1.76 \cong 500 \, kN$$

Calcolo della resistenza dei pilastri alla base – Struttura NC

Stima del taglio alla base di capacità

- resistenza flessionale espressa in termini taglianti $V_{u,flex}$
- resistenza a taglio V_{u.shear}

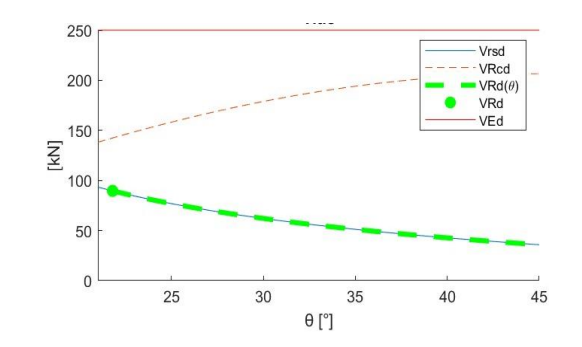
Resistenza a taglio
$$V_{u,shear}$$
 $V_{u,shear} = max \left(V_{Rd_{no-staffe}}; min(V_{Rsd}, V_{Rcd}) \right)$

$$V_{Rd_{no-staffe}} = max \left\{ \left[\frac{0.18 \cdot k(100 \cdot \rho_l \cdot f_{ck})^{1/3}}{\gamma_c} + 0.15 \cdot \sigma_{cp} \right] b_w d; (v_{min} + 0.15 \cdot \sigma_{cp}) b_w d \right\} \quad [4.1.23]$$

$$V_{Rsd} = 0.9 \cdot d \cdot \frac{A_{sw}}{s} \cdot f_{yd} \cdot (ctg\alpha + ctg\theta) \cdot sin\alpha$$
 [4.1.27]

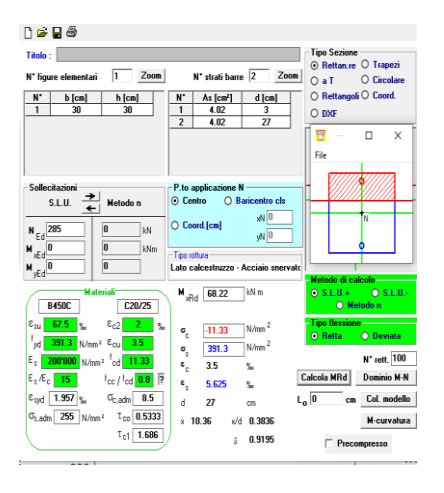
$$V_{Rcd} = 0.9 \cdot d \cdot b_w \cdot \alpha_c \cdot \nu \cdot f_{cd} \cdot (ctg\alpha + ctg\theta) / (1 + ctg^2\theta)$$
[4.1.28]





Resistenza flessionale V_{u.flex}

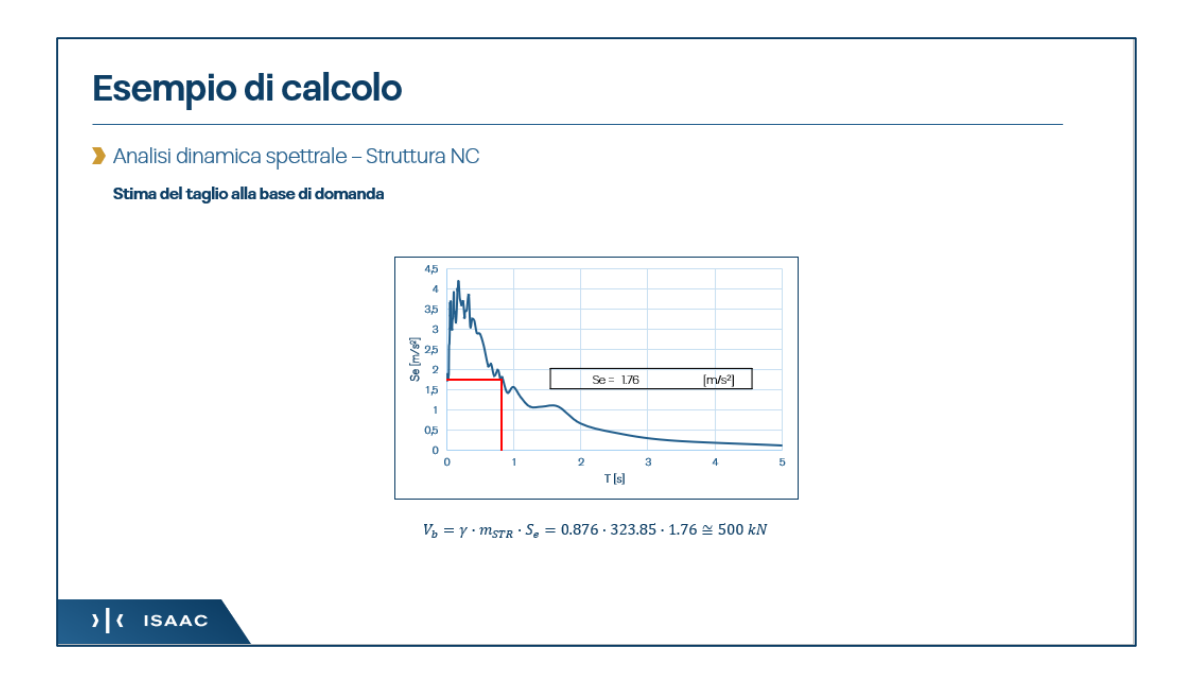
$$V_{u,flex} = \frac{M_{Rd}}{\frac{H}{2}} = \frac{2M_{Rd}}{H}$$

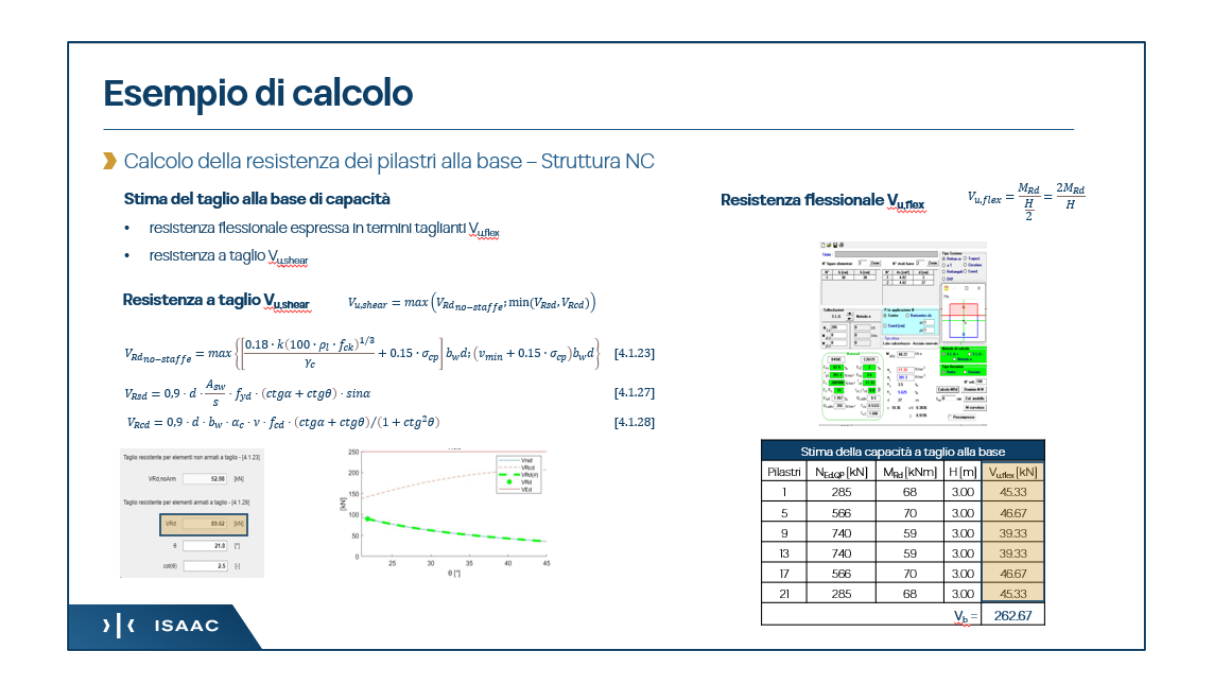


Stima della capacità a taglio alla base				
Pilastri	N _{Ed.OP} [kN]	M _{Rd} [kNm]	H [m]	V _{u.flex} [kN]
1	285	68	3.00	45.33
5	566	70	3.00	46.67
9	740	59	3.00	39.33
13	740	59	3.00	39.33
17	566	70	3.00	46.67
21	285	68	3.00	45.33
			V _b =	262.67

 \triangleright Stima del parametro ζ_F e definizione obiettivo – Struttura NC

Dai calcoli precedenti:



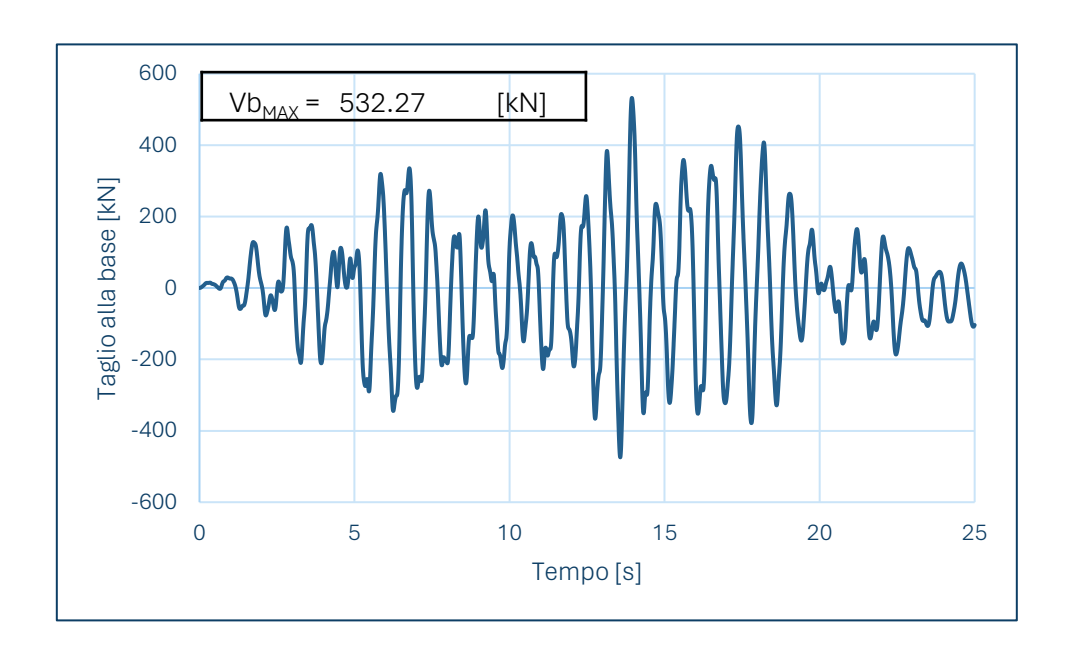


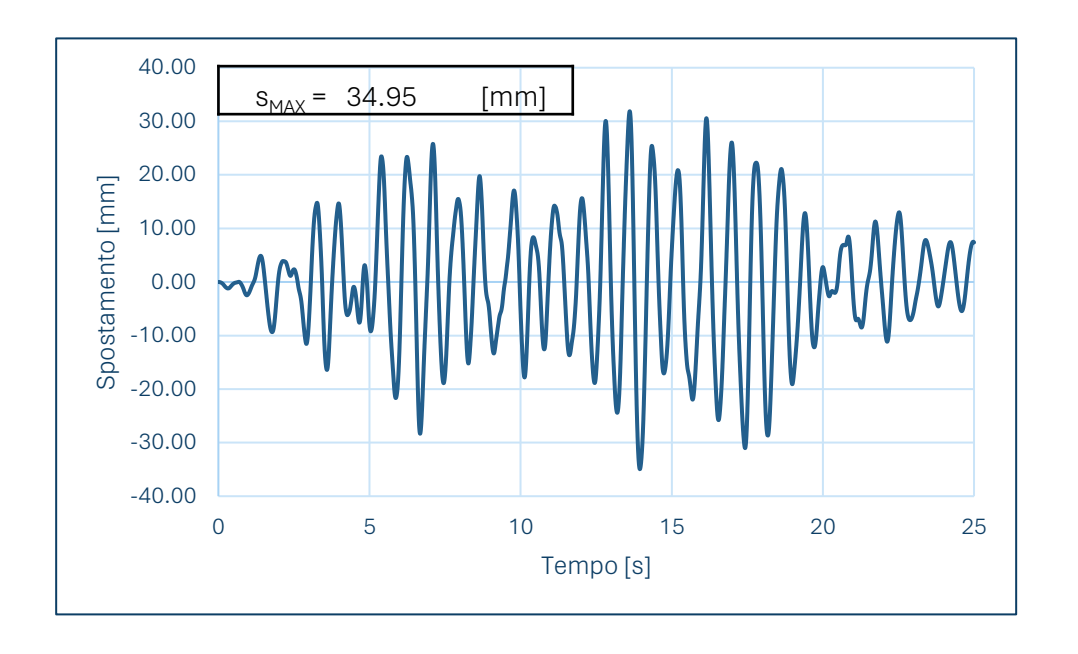
$$\zeta_E = \frac{V_{Rd,BASE}}{V_{Ed,BASE}} = \frac{262.67}{500.00} = 0.52 \rightarrow 52\%$$

$$\zeta_{E,OBIETTIVO} = 0.80$$

Analisi Time-History – Struttura NC

Taglio alla base di domanda e spostamento in copertura





Analisi Time-History – Struttura NC

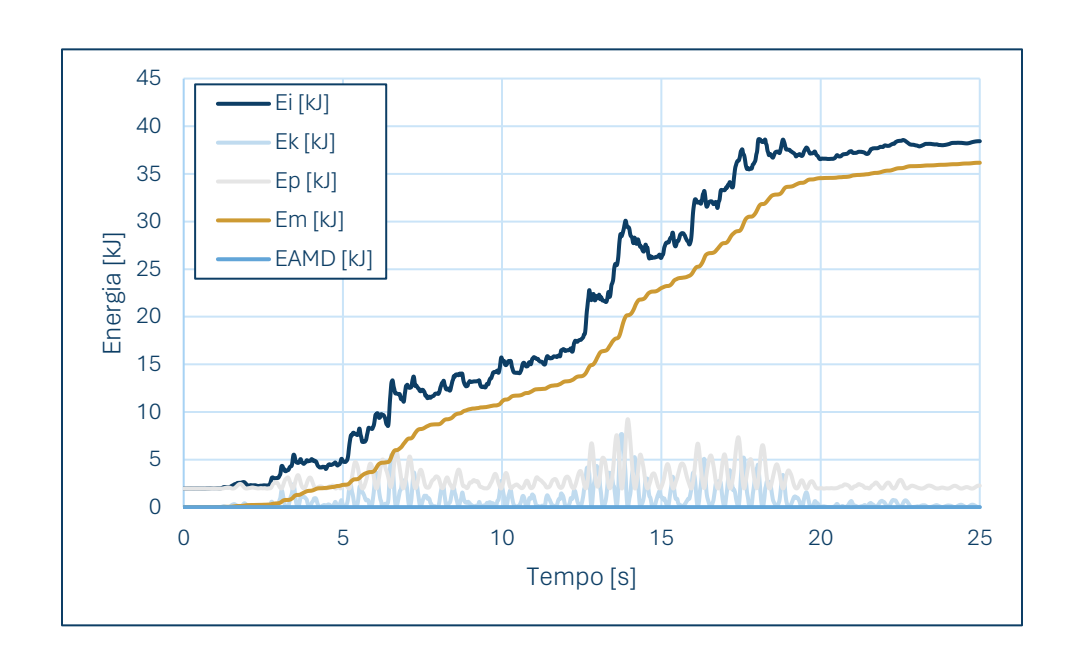
Bilancio energetico

- E_I: energia di input
- E_k: energia cinetica
- E_p: energia potenziale elastica
- E_m: energia di smorzamento modale
- E_{AMD}: energia dissipata dal sistema AMD
- E_H: energia dissipata per isteresi

Si osserva che:

- per la struttura non controllata, il contributo dissipativo offerto dal sistema AMD è nullo;
- il contributo energetico relativo alla dissipazione isteretica è pari a zero, in quanto gli elementi strutturali sono interamente modellati con comportamento elastico lineare.

$$E_I(t) = (E_k(t) + E_p(t)) + E_m(t) + E_{AMD}(t) + E_H(t)$$



Dimensionamento del sistema AMD

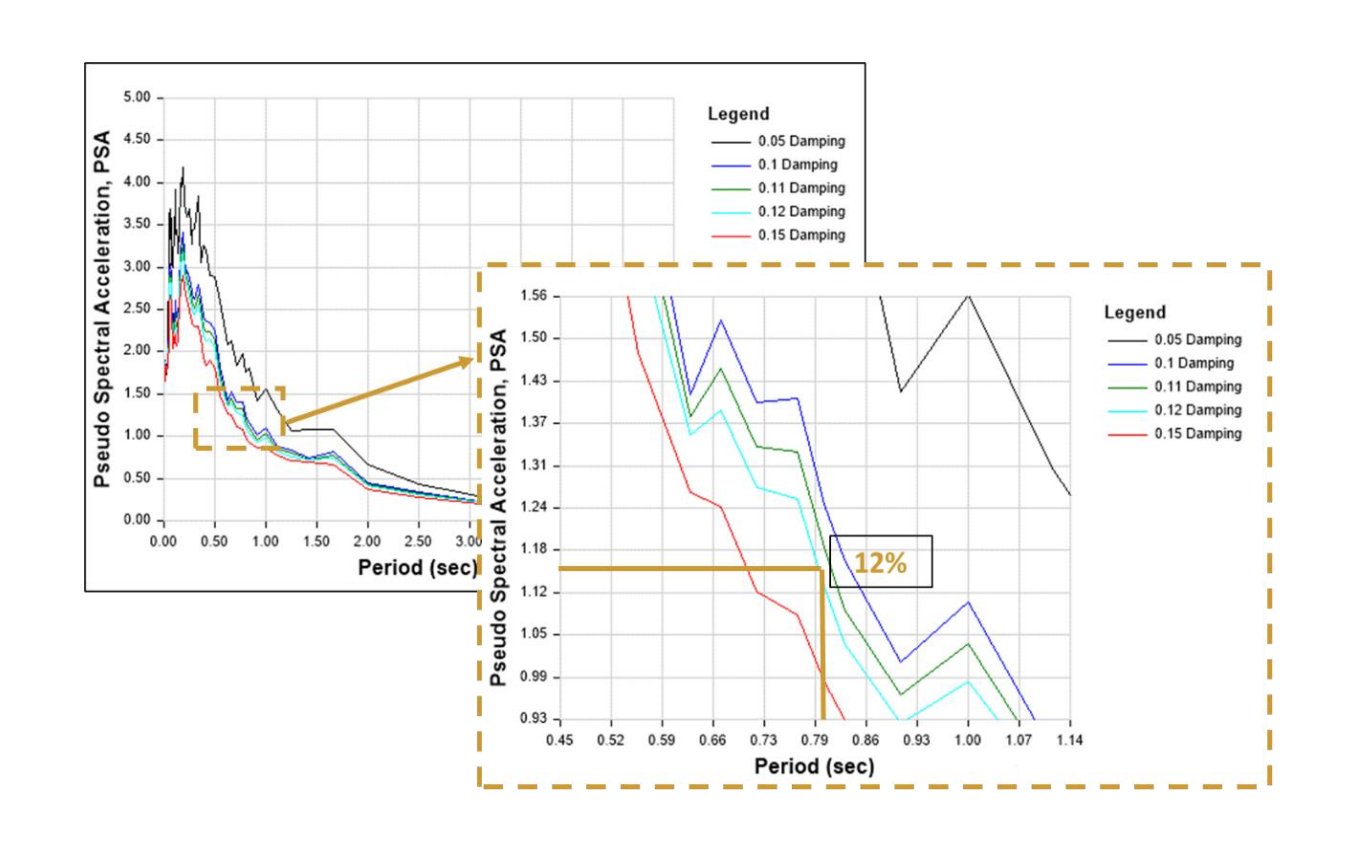
Calcolo dello smorzamento supplementare necessario

$$\zeta_E = \frac{V_{Rd,BASE}}{V_{Ed,BASE}} \ge 0.80 \to V_{Ed,BASE} \le \frac{V_{Rd,BASE}}{0.80} = \frac{262.67}{0.80} \cong 330 \text{ kN}$$

$$S_e = \frac{V_b}{\gamma \cdot m_{STR}} \rightarrow S_e \le \frac{330}{0.876 \cdot 323.85} = 1.16 \ m/s^2$$

$$\xi_{TOTALE} = ? \rightarrow S_e \le 1.16 \ m/s^2$$

$$\xi_{\text{TOTALE}} = 12\%$$
 $\xi_{\text{STRUTTURA}} = 5\%$
 $\xi_{\text{SUPPL}} = 7\%$



Dimensionamento del sistema AMD

Calcolo della forza totale richiesta agli AMD

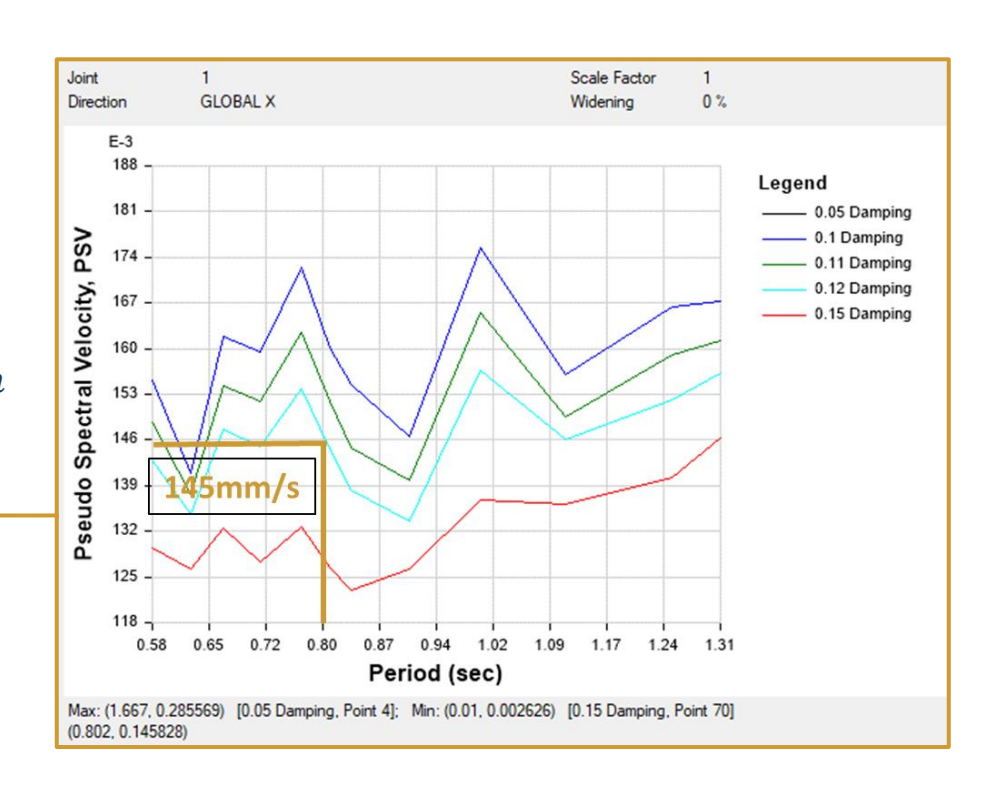
$$\xi_{SUPPL} = \frac{n_{AMD} \cdot G}{2 \cdot m_{STR} \cdot \omega_{STR}}$$

$$n_{AMD} \cdot G = \xi_{SUPPL} \cdot 2 \cdot m_{STR} \cdot \omega_{STR} = 0.07 \cdot 2 \cdot 0.88 \cdot 323.85 \cdot 7.85 = 313.3 \, kN \, s/m$$

$$F_{req} = -n_{AMD} \cdot G \cdot \dot{x}_{STR}$$

$$|F_{req}| = n_{AMD} \cdot G \cdot \dot{x}_{STR} = 313.2 \cdot 0.145 \cong 45 \ kN$$

Forza richiesta dal sistema AMD			
ξ _{SUPPL} =	7%		
V _{TETTO-BASE} =	145.00	mm/s	
n _{AMD} G=		kNs/m	
F _{AMD,REQ} =	45.44	kN	



 $V_{TETTO-BASE} = 145.00 \text{ mm/s}$

Dimensionamento del sistema AMD: Electro-Pro

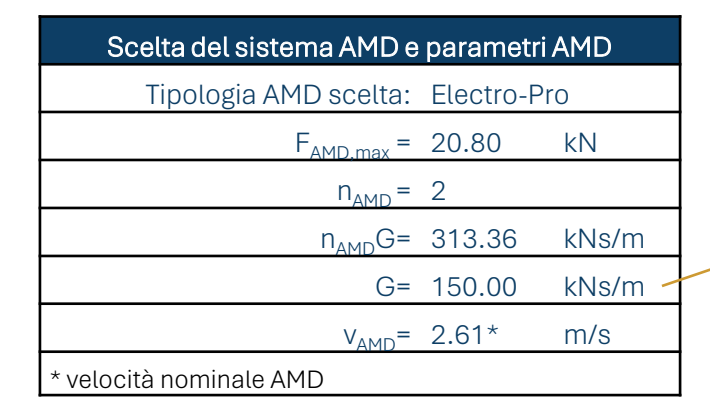
Asse inerziale		
Dimensioni	B = 0.80 m, H = 0.50 m, L da definire	
Peso (massa mobile)	da definire	
QERTM	- Quadro elettrico remoto	
Dimensioni	B = 0.50 m, L = 1.10 m, H = 0.80 m	
Peso	150 kg	
QECNT – Quadro elettrico centrale		
Dimensioni	B = 0.60 m, L = 0.80 m, H = 1.60 m	
Peso	350 kg	
BATT – Quadro batterie		
Dimensioni	B = 0.40 m, L = 0.60 m, H = 0.90 m	
Peso	100 kg	
	SISTEMA	
Forza massima di picco	20.8 kN	
Accelerazione max	8 g	
Velocità max	4.9 m/s	
Autonomia batterie	24h (in assenza di rete elettrica)	

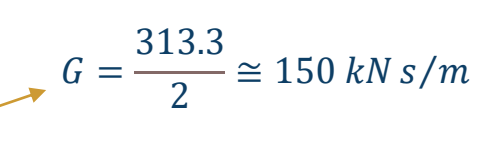


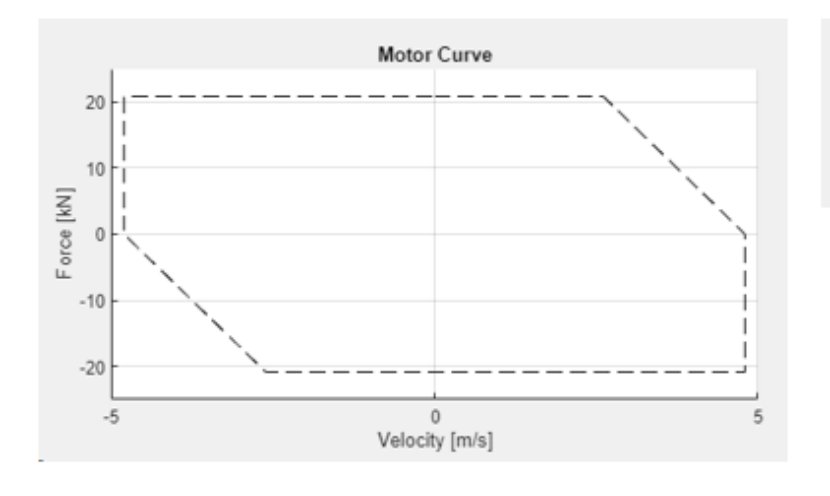
F _{AMD.REO} =	45.44	kN
n _{AMD} =	2	[-]

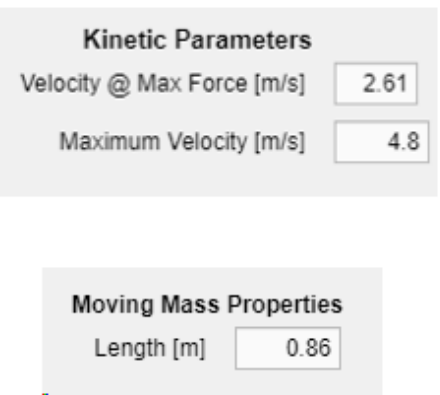
Dimensionamento del sistema AMD

Curva attuatore Electro-Pro





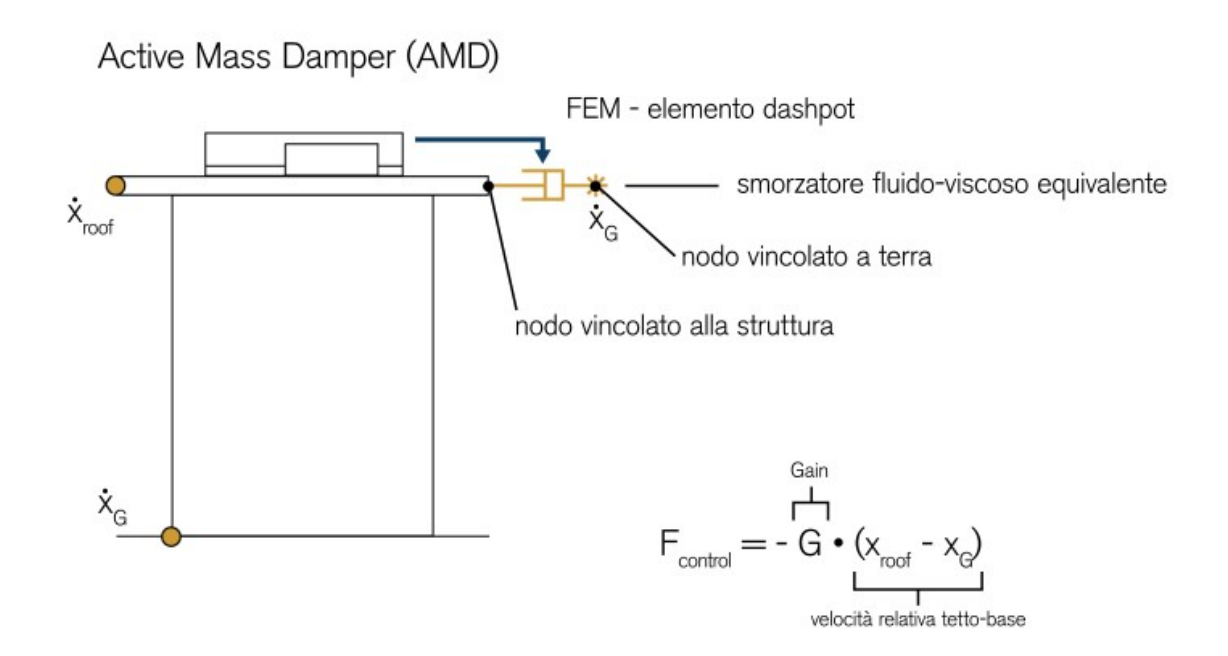




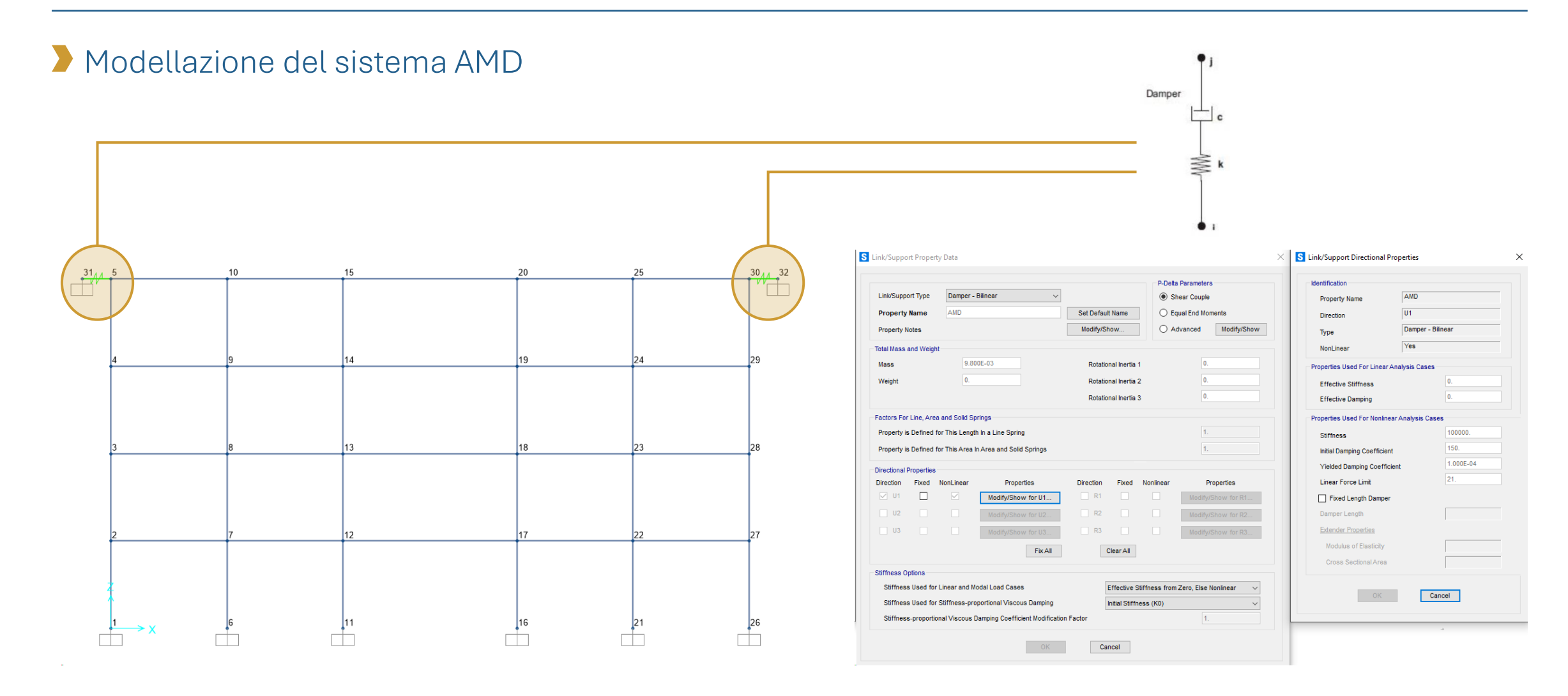
Modellazione del sistema AMD

Caratteristiche principali necessarie per una corretta modellazione del sistema AMD Electro-Pro:

- Analisi di tipo Time-History
- Analogia con un dissipatore viscoso passivo*
- Controllo delle performance dell'attuatore
- Taratura del parametro Gain

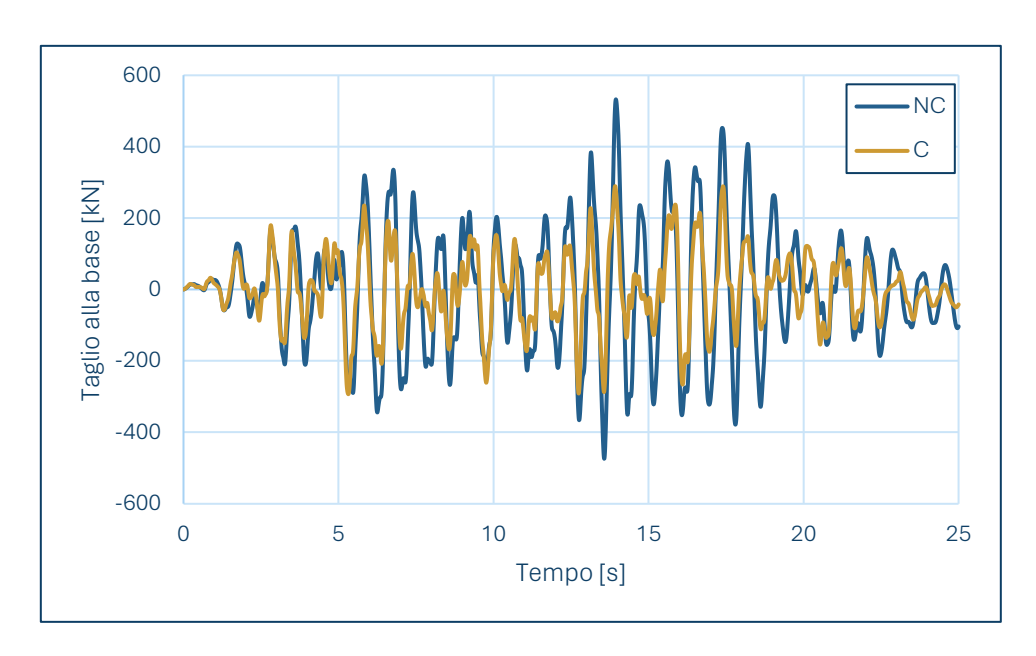


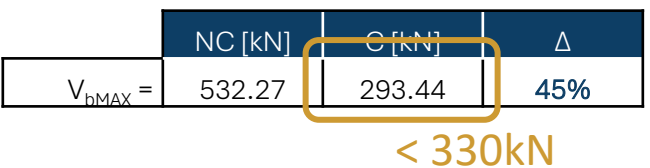
^{*} all'interno del modello vado a simulare l'effetto della forza di controllo espressa dall'AMD e non il comportamento intrinseco dell'AMD stesso

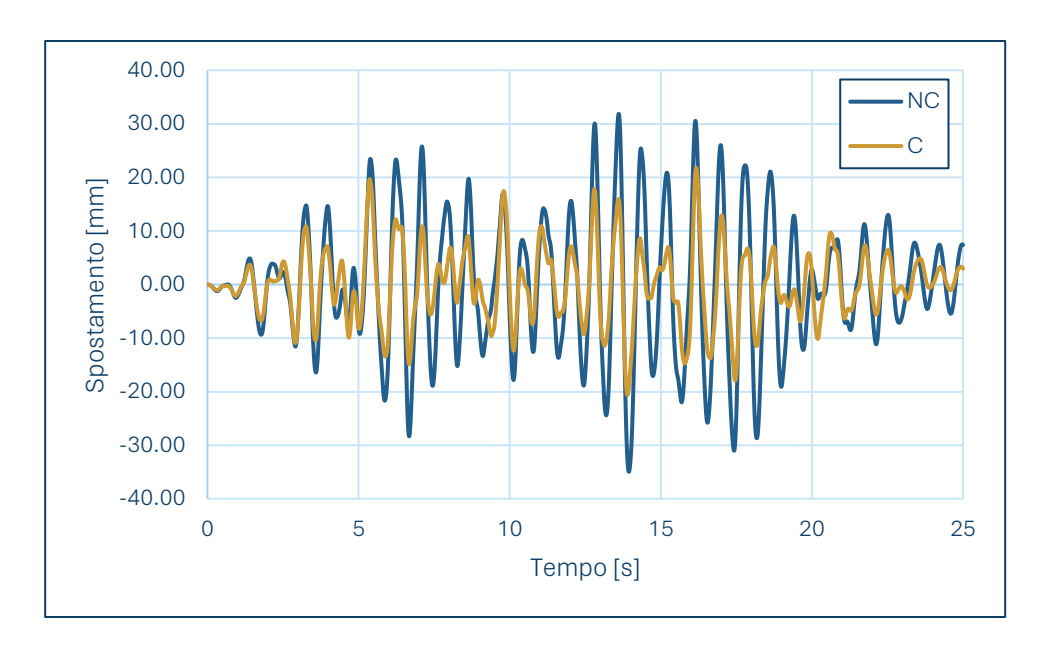


Analisi Time-History – Confronto tra struttura NC e struttura C

Taglio alla base di domanda e spostamento in copertura



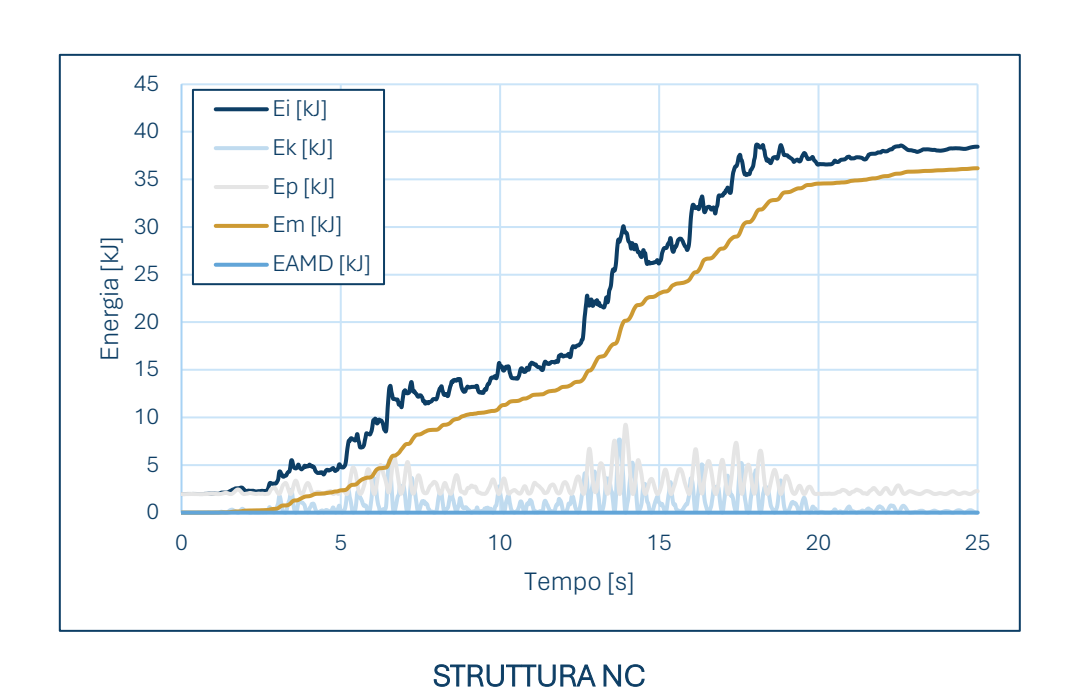


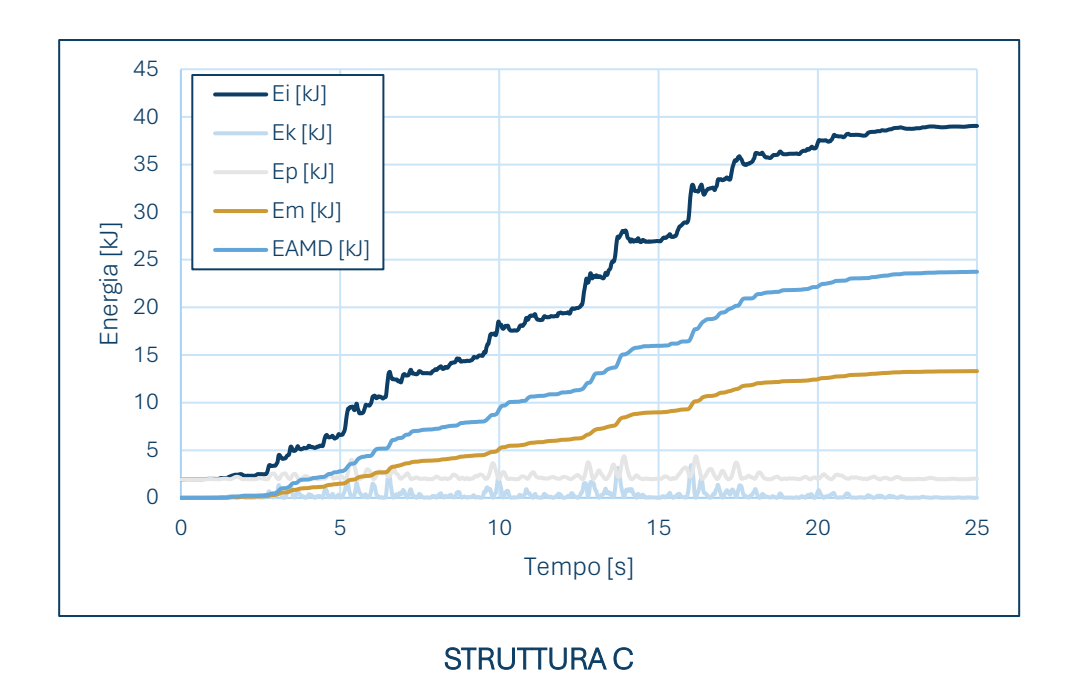


	NC [mm]	C [mm]	Δ
S _{MAX} =	34.95	21.81	38%

Analisi Time-History – Confronto tra struttura NC e struttura C

Bilancio energetico





NC		С			
E _i [kJ]	E _m [kJ]	E _{AMD} [kJ]	E _i [kJ]	E _m [kJ]	E _{AMD} [kJ]
38.66	36.17	0.00	39.06	13.31	23.74

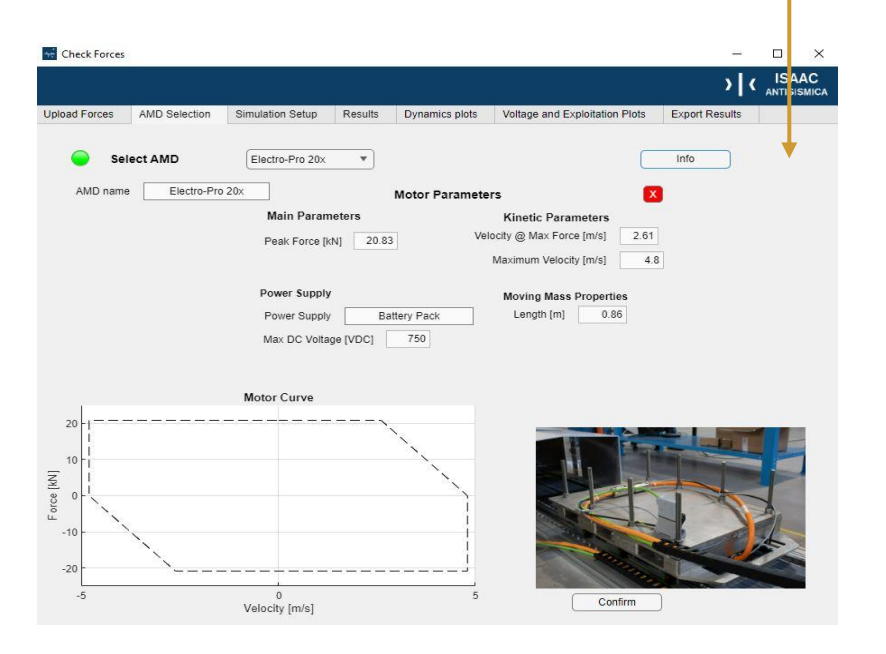
Controllo performance attuatori

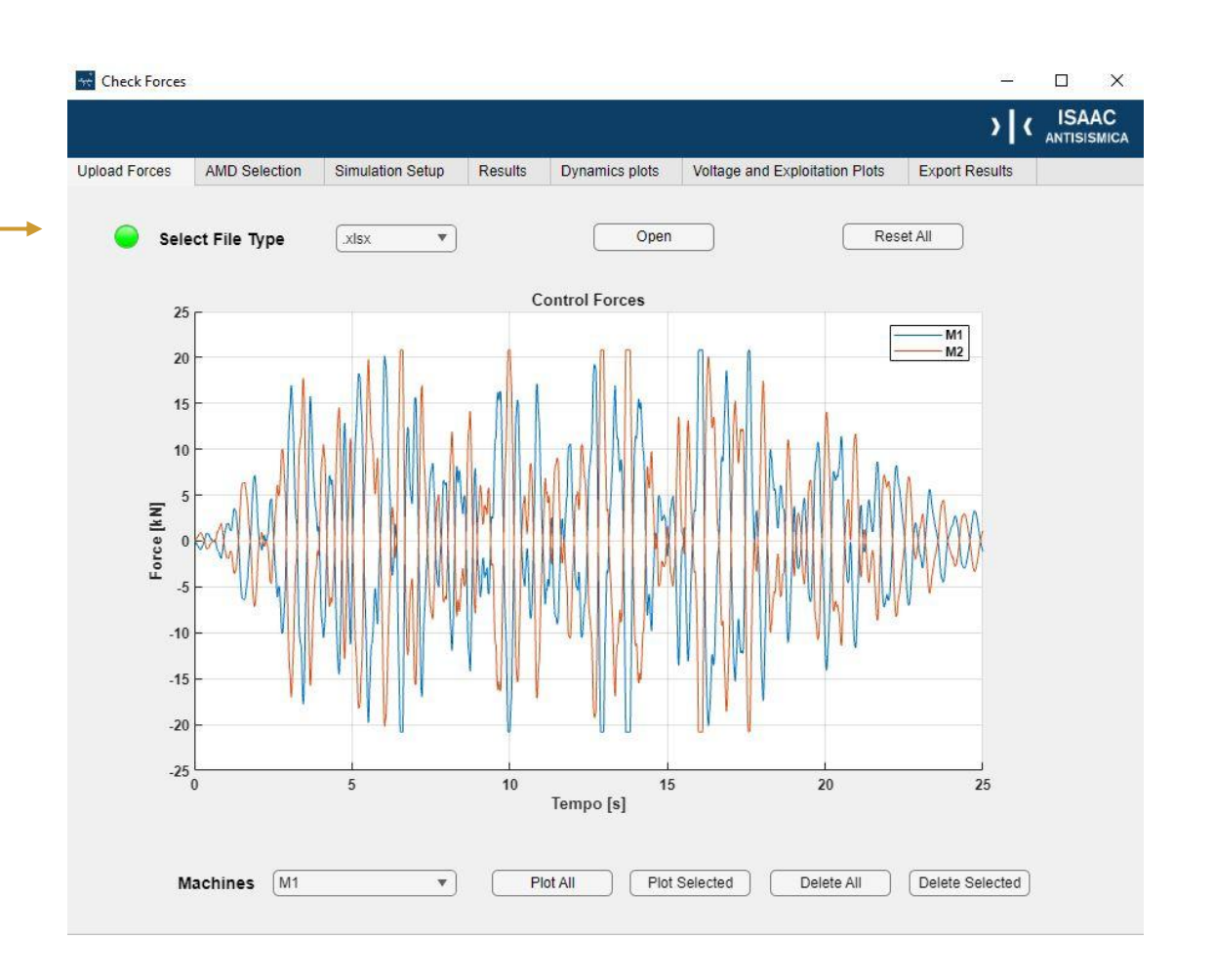
Verifica forze di controllo AMD



Importazione in Check Forces Tool

Scelta del tipo di AMD utilizzato



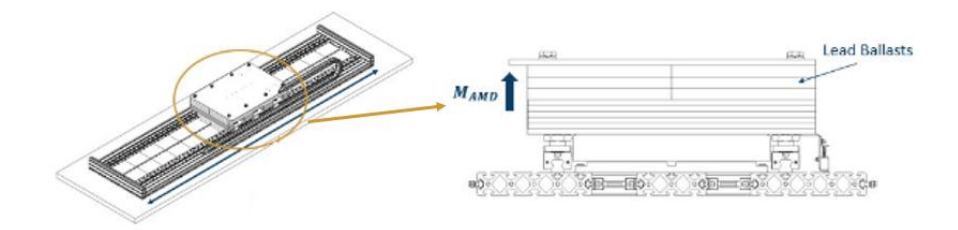


Controllo performance attuatori

Verifica forze di controllo AMD

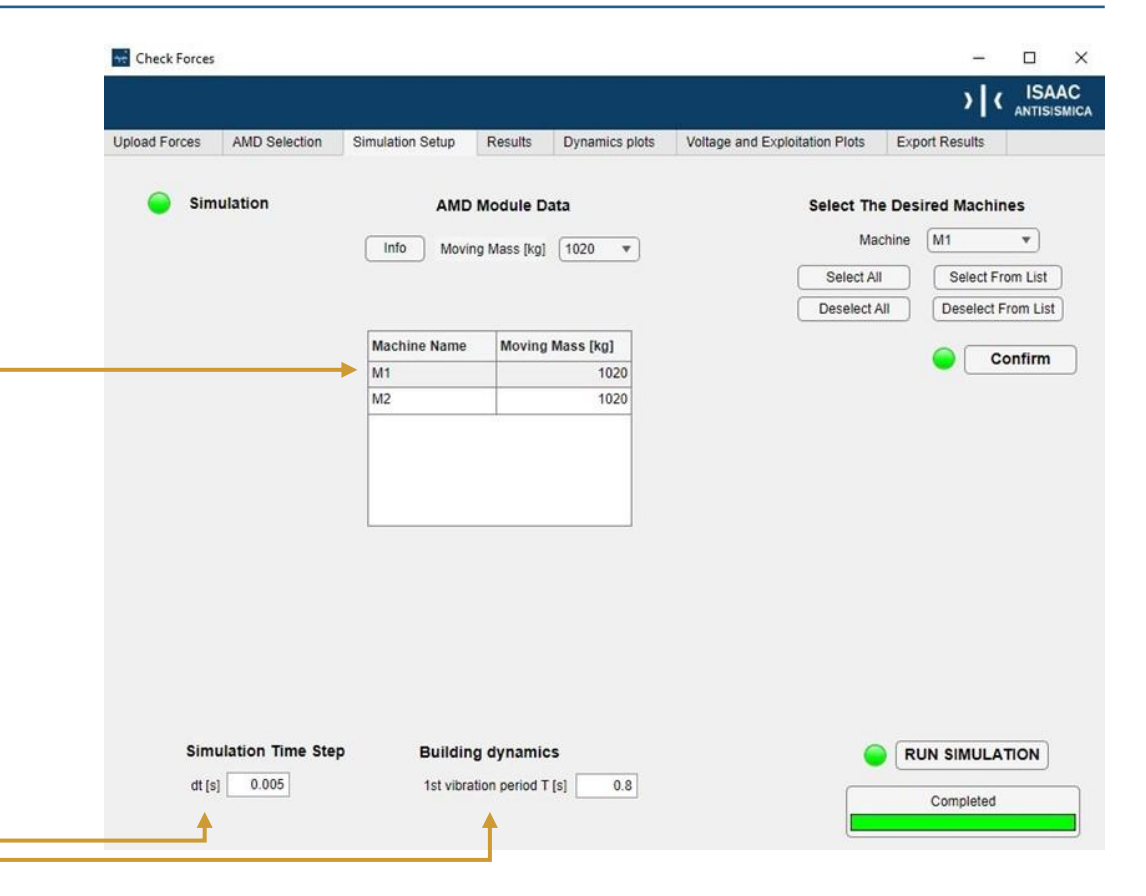
Scelta massa mobile

$$m_{AMD} = \frac{F_{AMD,max}}{\omega_{STR} \cdot v_{AMD,max}} = \frac{20.8}{7.79 \cdot 2.61} = 1.02 \text{ ton} \rightarrow 1020 \text{ kg}$$



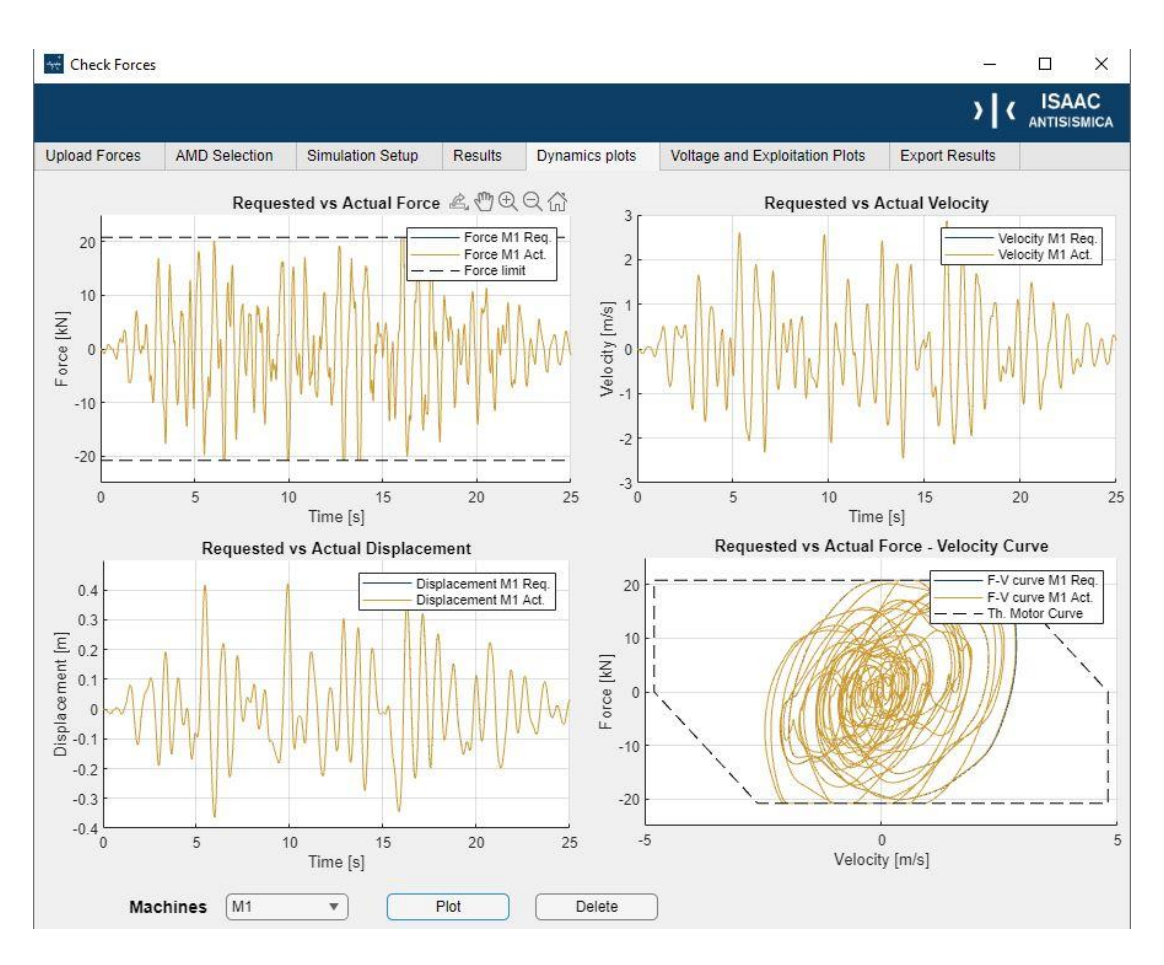
- Introduzione periodo fondamentale struttura*
- Scelta del time step
- * Necessaria in quanto il tool applicherà un filtro passa-alto ai segnali di velocità e spostamento della massa mobile per evitare problemi numerici di deriva durante i processi di integrazione numerica. Il tool applica un filtro alla frequenza di taglio pari a:

$$f_{CUT} = 0.25 \cdot f_1 \rightarrow 0.25 \cdot \frac{1}{T_1} = \frac{0.25}{0.8} = 0.31 \, Hz$$



Controllo performance attuatori

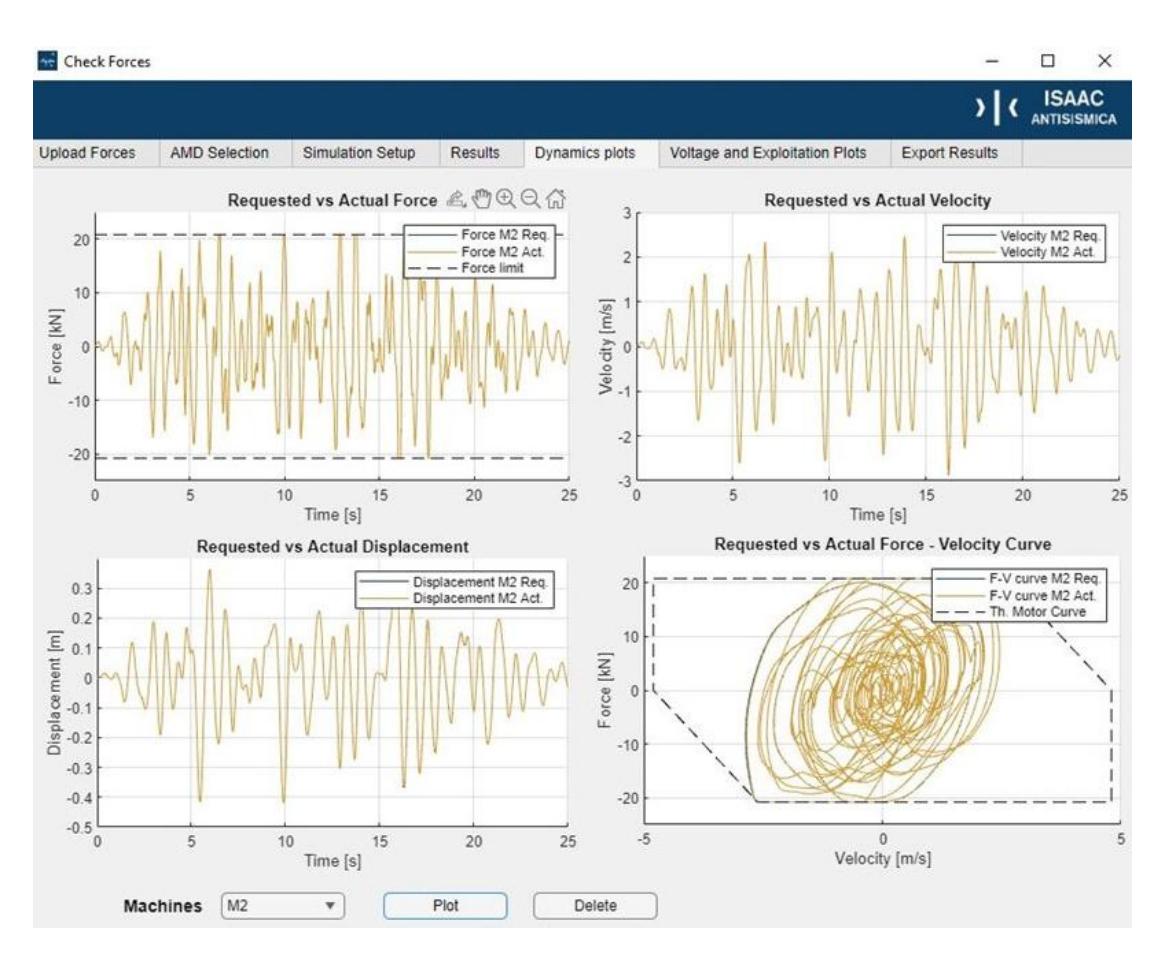
Verifica forze di controllo AMD – M1





Controllo performance attuatori

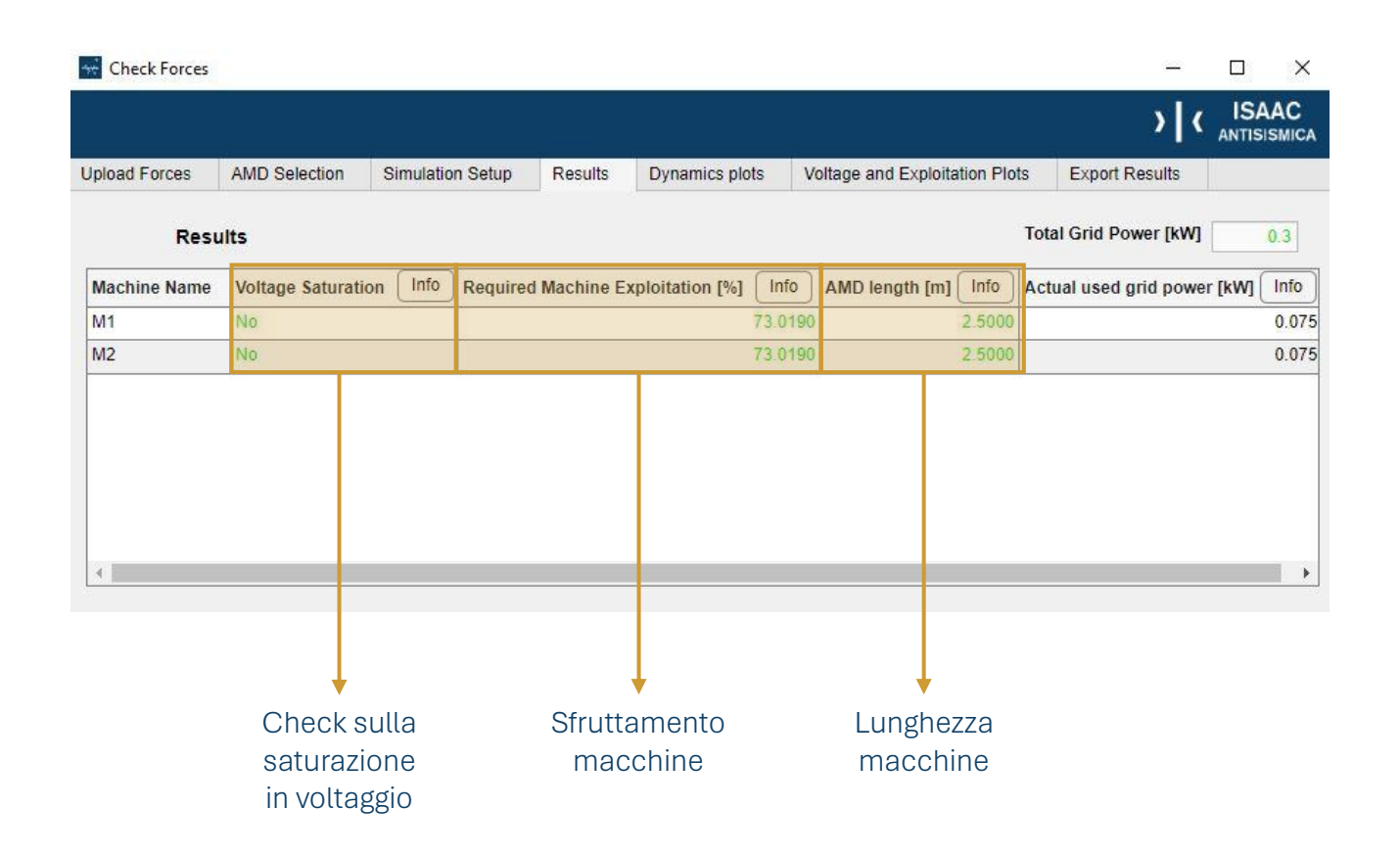
Verifica forze di controllo AMD – M2





Controllo performance attuatori

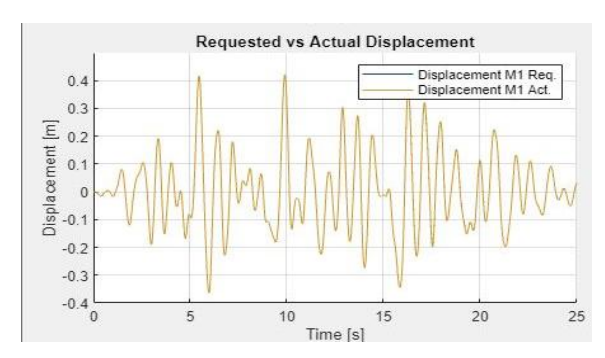
Verifica forze di controllo AMD – Scheda di sintesi



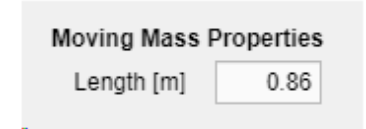
Controllo performance attuatori

La lunghezza degli AMD è la somma di 3 contributi:

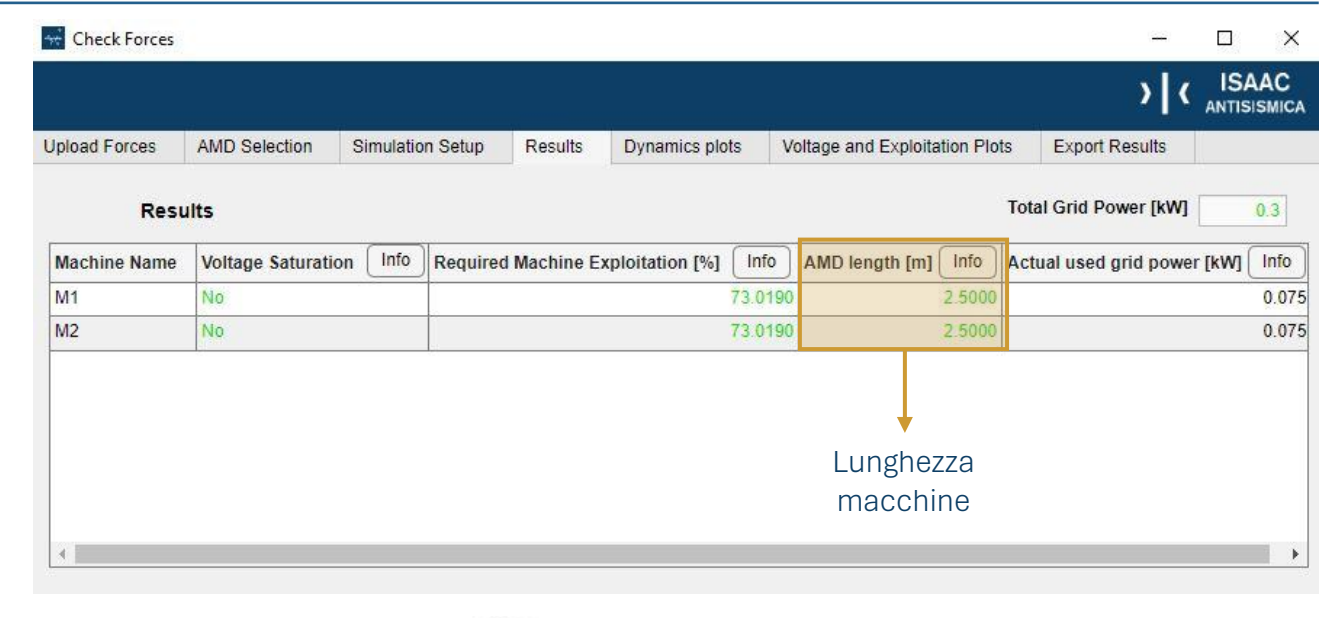
corsa s_{AMD}

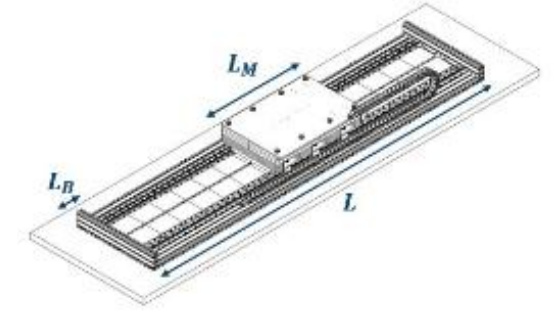


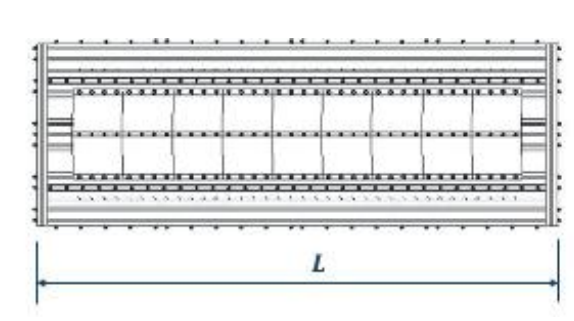
• lunghezza attuatore L_M



fine corsa di sicurezza L_B







$$L_{AMD} = s_{AMD} + L_M + 2L_R = 0.80 + 0.86 + 0.60 = 2.26 \, m \rightarrow 2.50 \, m$$

Si osserva che s_{AMD} può essere validata con la relazione semplificata che segue: $s_{AMD} = \frac{2 \cdot v_{AMD,max}}{\omega_{STR}} = \frac{2 \cdot 2.61}{7.79} = 0.67 \ m \sim 0.80 \ m$



6.

Applicazioni reali



Track record

Edifici residenziali Salerno

Installazione di 6 macchine



2023





Hilton Hotel Modica (RG)

Installazione di 3 macchine





Nuova Torre Piloti di Genova

Installazione di 4 macchine*



Ospedale Grottaglie

2025

Installazione di 40 macchine**



2024



Ospedale di Genova

Installazione di 74 macchine**





Uffici Investire SGR Milano

Installazione di 4 macchine**



Scuola F. Di

Bartolo Buti (PI)

Installazione di 8

macchine

^{*} per garantire il comfort per vibrazioni da vento

^{**} in corso d'opera

Miglioramento sismico edificio scolastico, scuola media, Buti (PI)



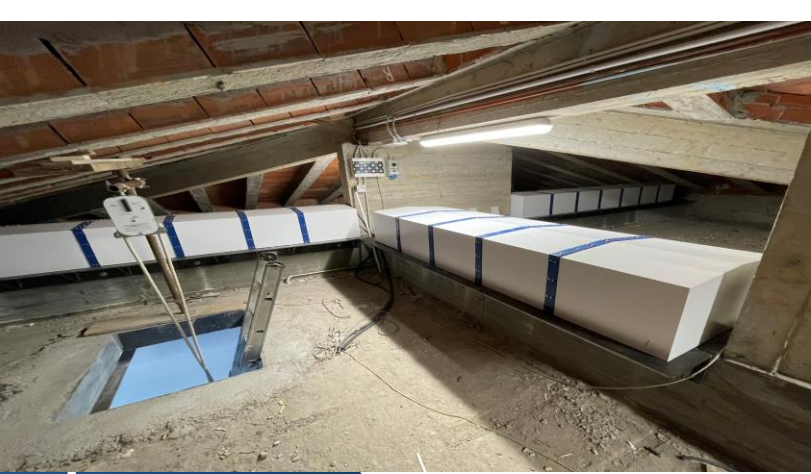
Immobile	Scuola secondaria F. Di Bartolo, Buti (PI)
Posizione	43.728272 N; 10.591506 E
Destinazione d'uso	Edificio scolastico
PGA SLD [g]	0.06
PGA SLV [g]	0.14
Tipologia dell'edificio	Struttura a telaio in c.a. – 2 corpi di fabbrica separati ma supposti uniti ai fini del progetto
Anno di costruzione	Corpo principale 1965, ampliamento 1979
Numero dei piani	3
Area mq / piano	Corpo principale e ampliamento 560 m ²
Altezza dell'edificio	11.00 m all'ultimo solaio
Tipo di copertura	Falde





Miglioramento sismico edificio scolastico, scuola media, Buti (PI)

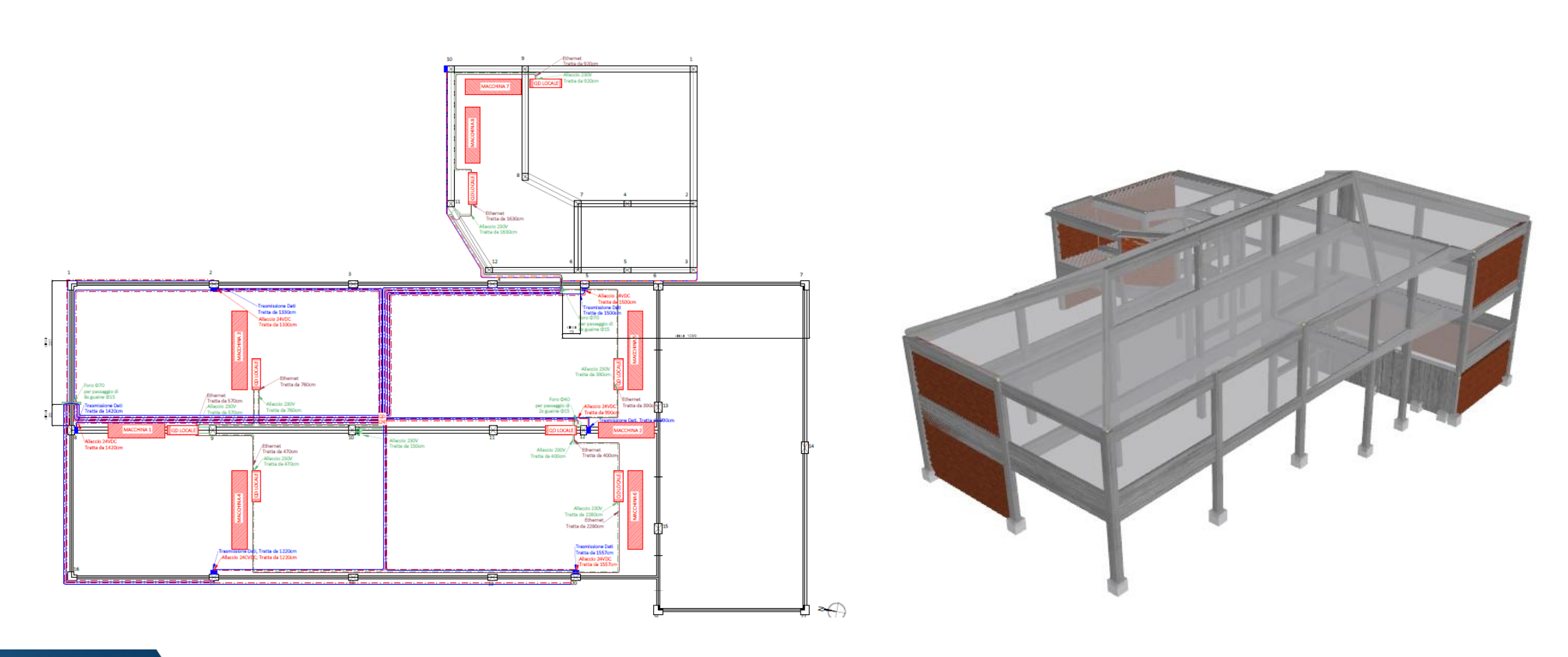








Miglioramento sismico edificio scolastico, scuola media, Buti (PI)

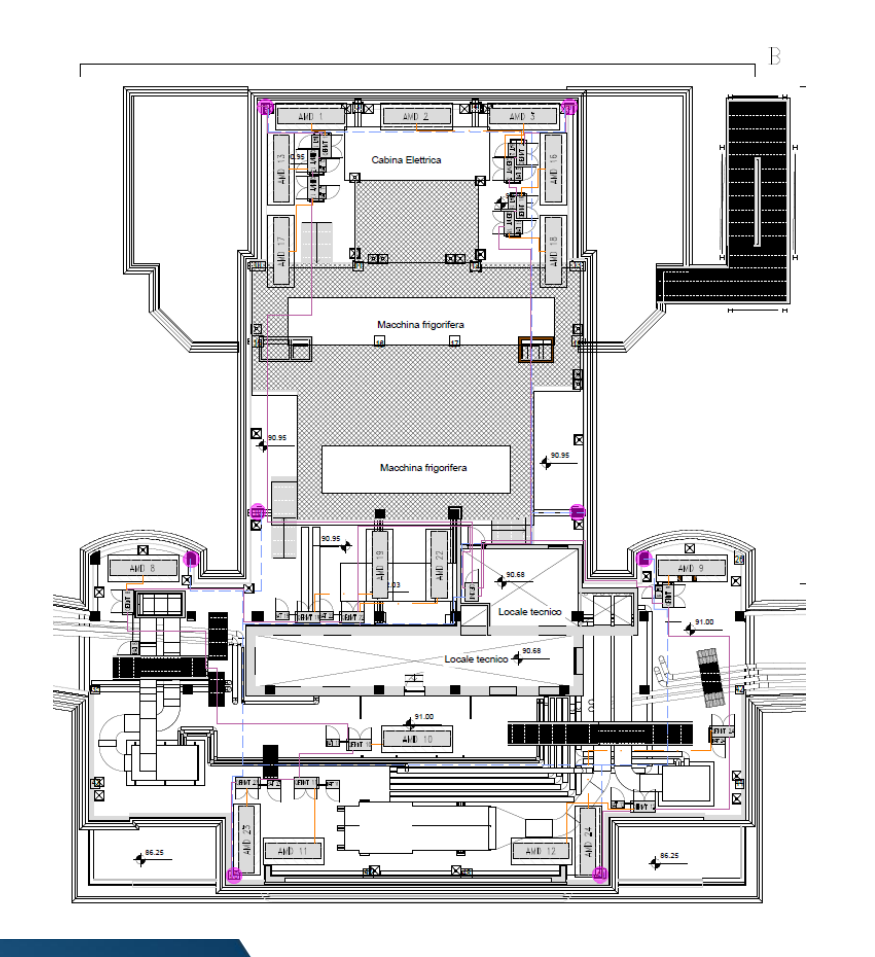


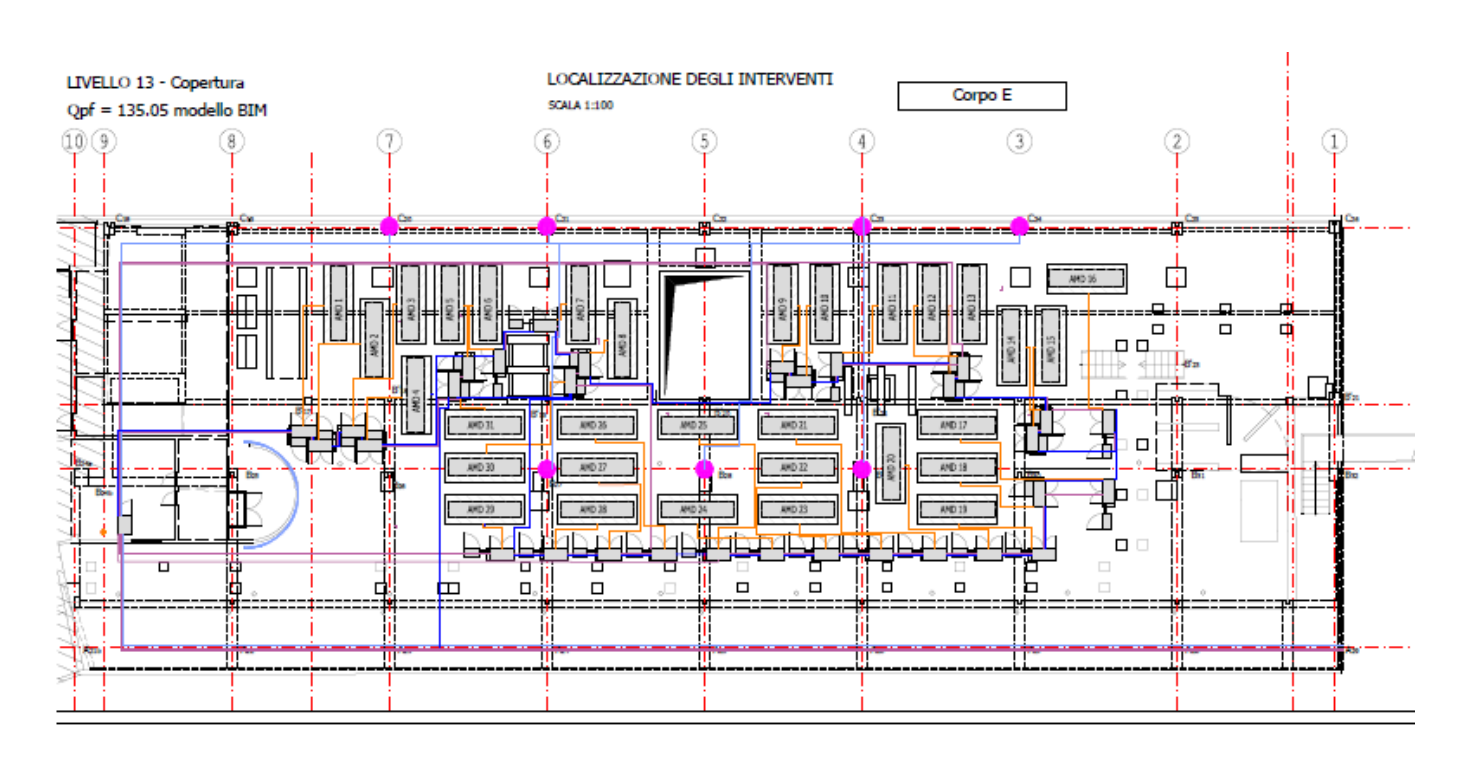
Miglioramento sismico padiglioni ospedalieri, San Martino, Genova (GE)



Padiglione specialità

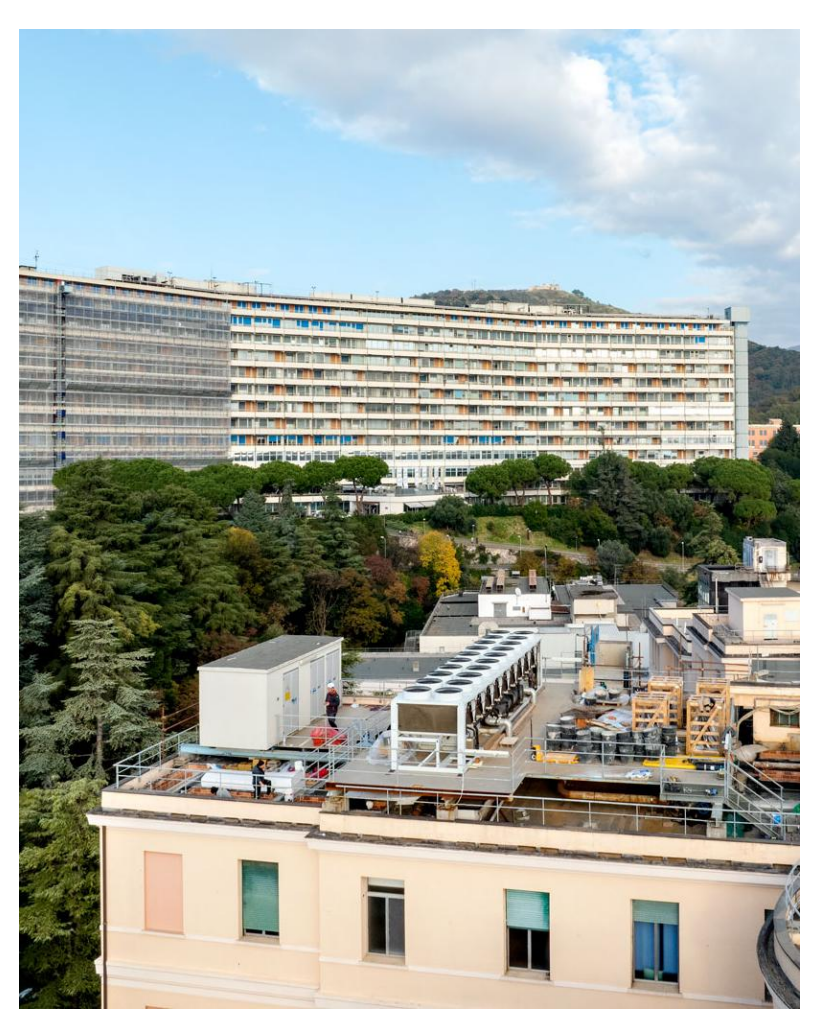














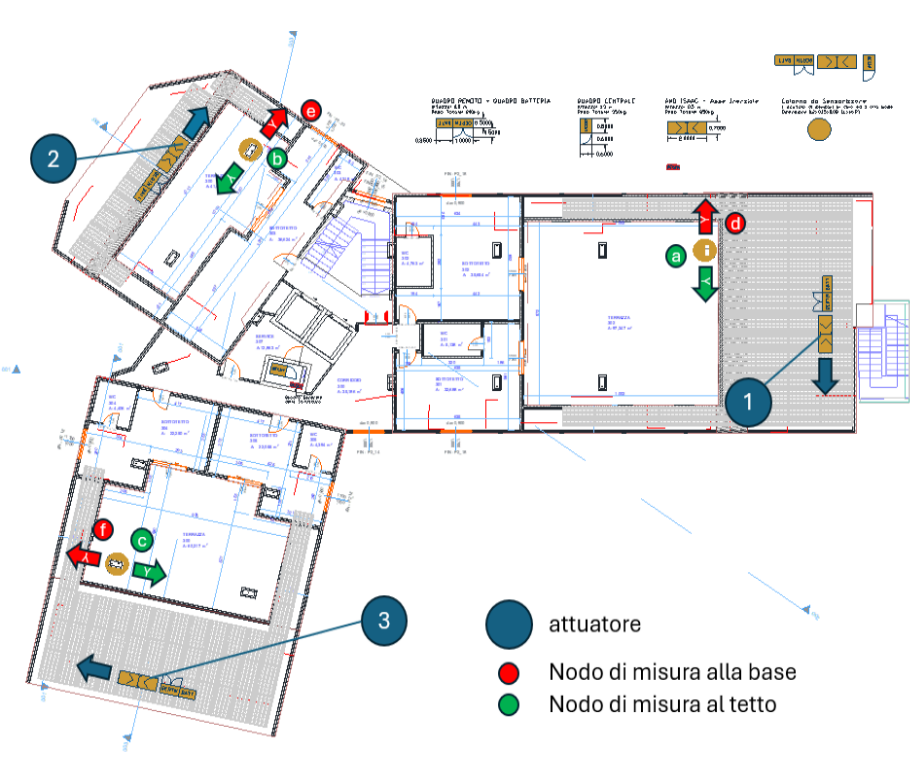






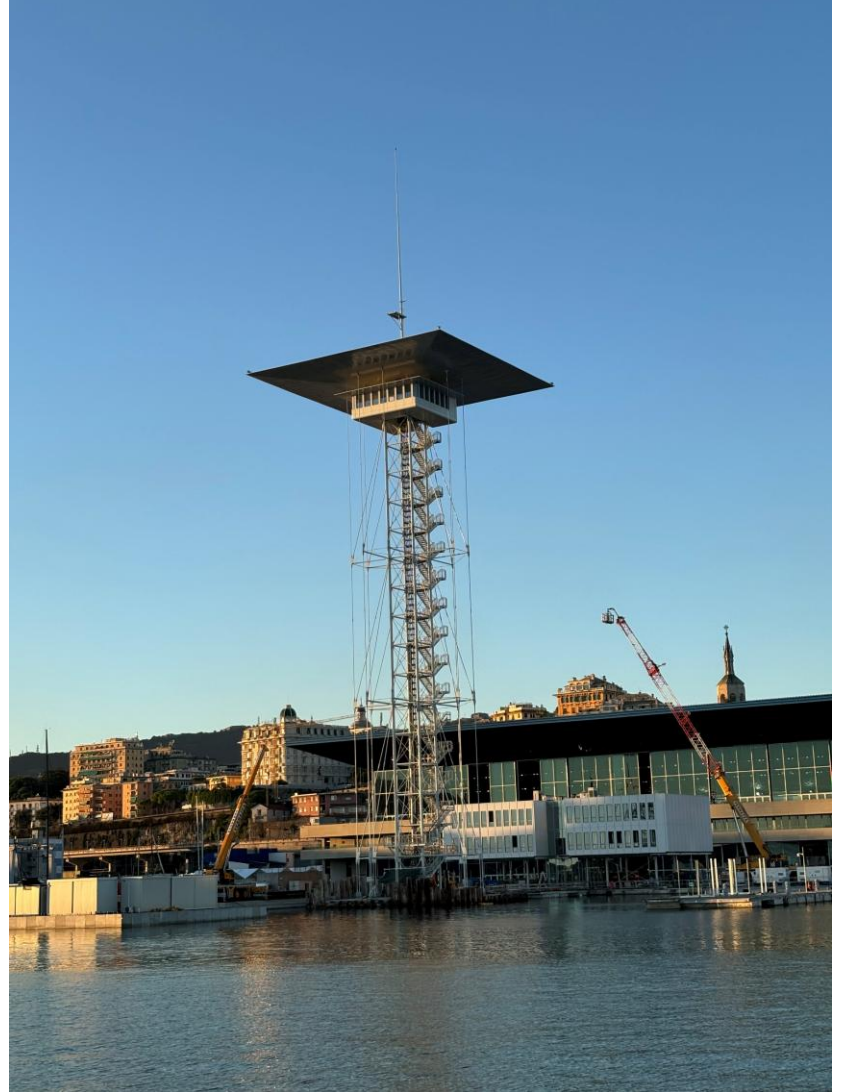


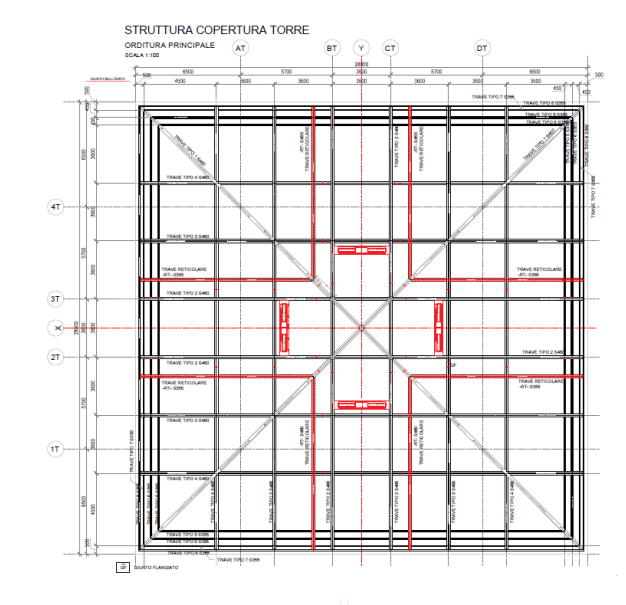


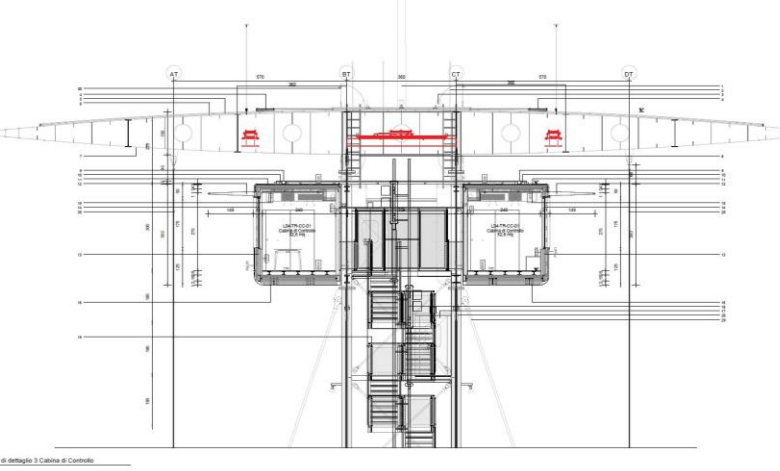


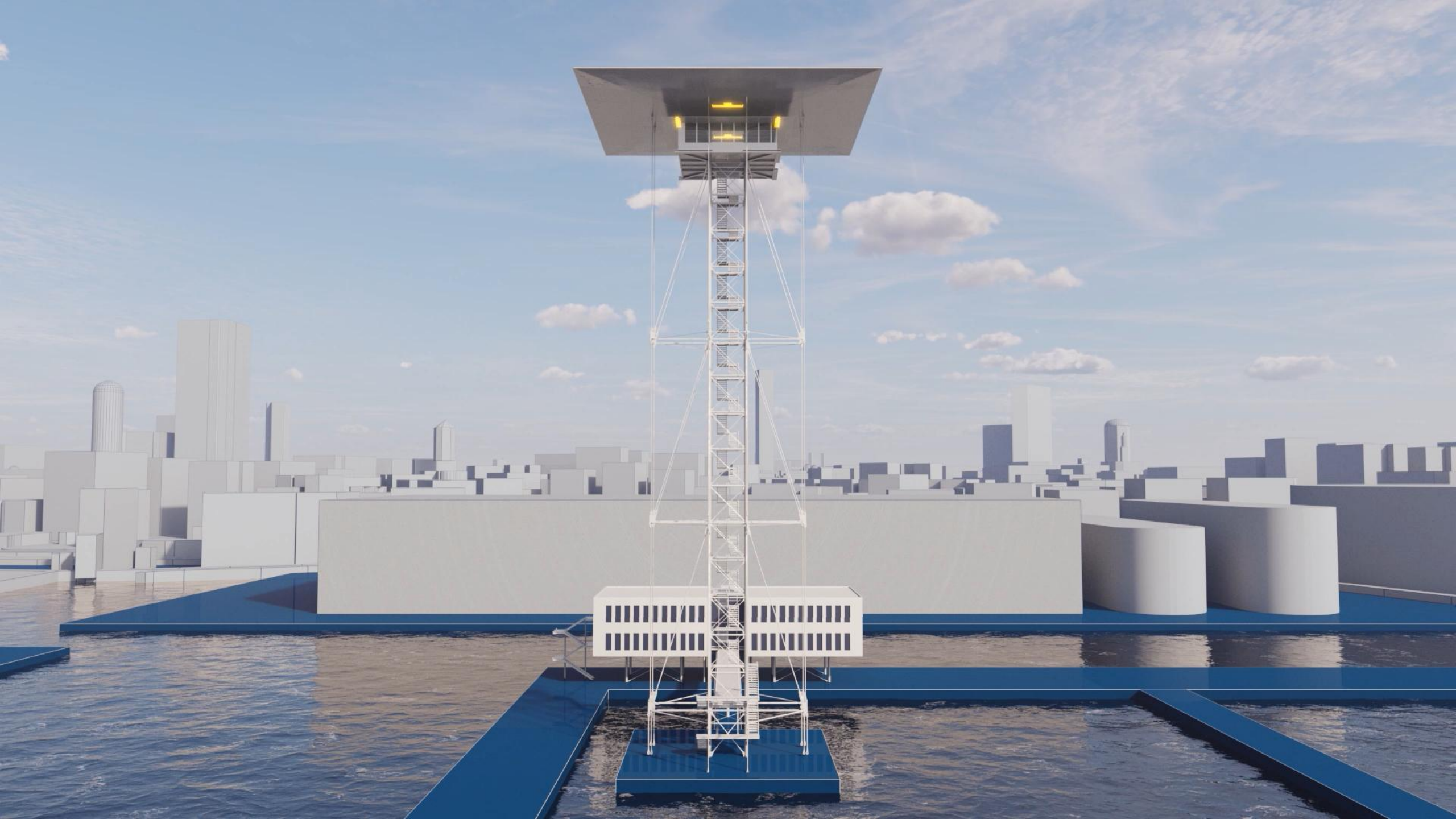
Comune:	Genova
Anno di costruzione:	2024
Tipologia struttura:	torre in acciaio
Area cappello:	784 mq
Altezza:	95 m (antenna)
Obiettivo intervento:	Comfort per vibrazioni da vento
N° AMD:	4



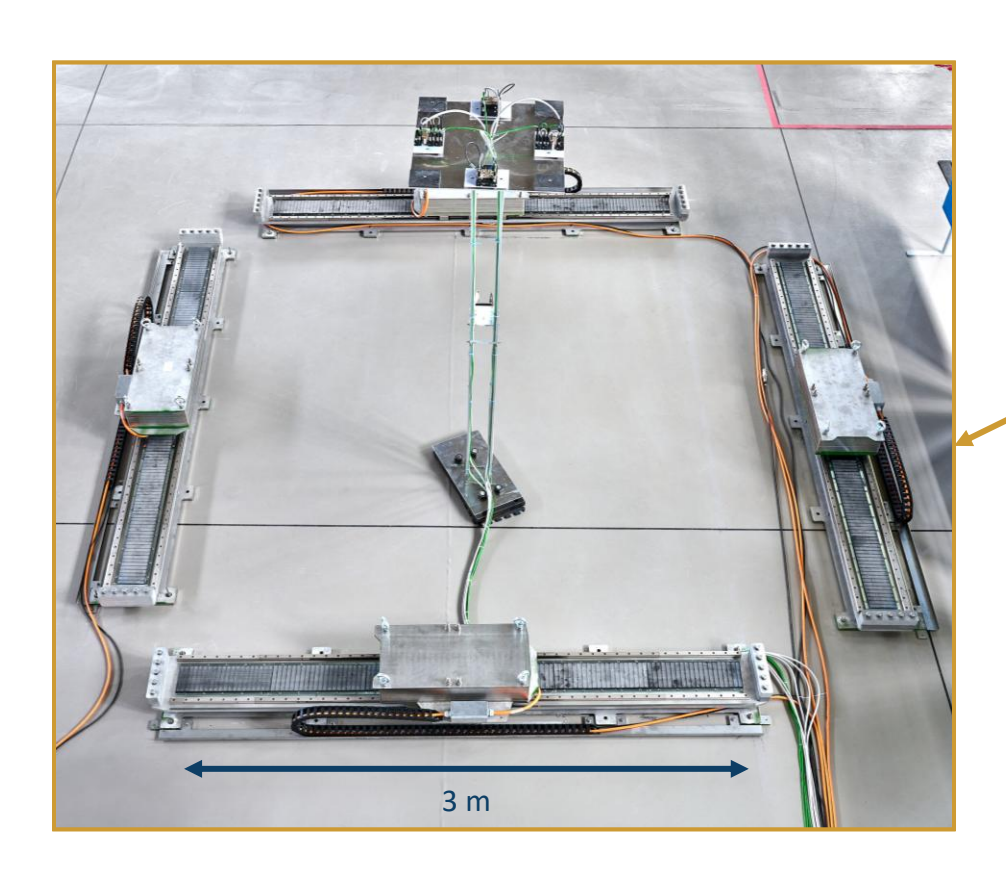






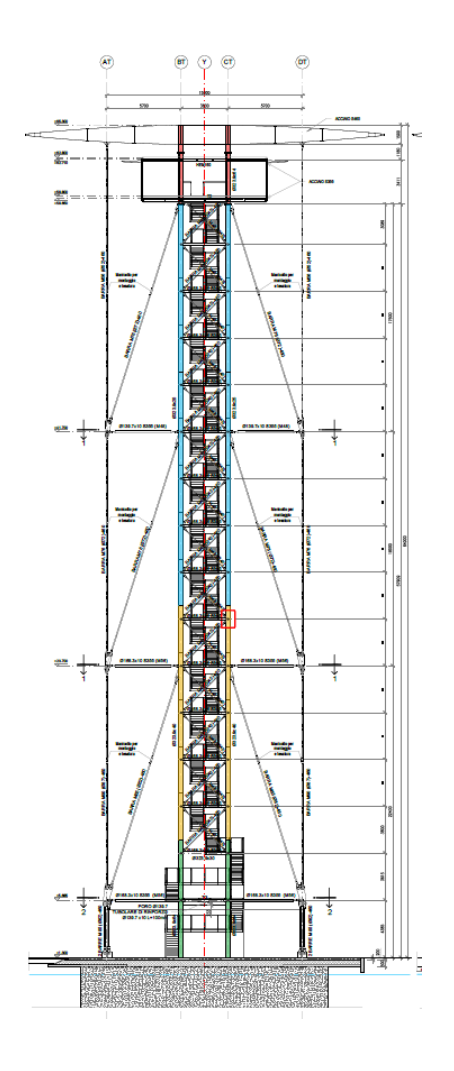


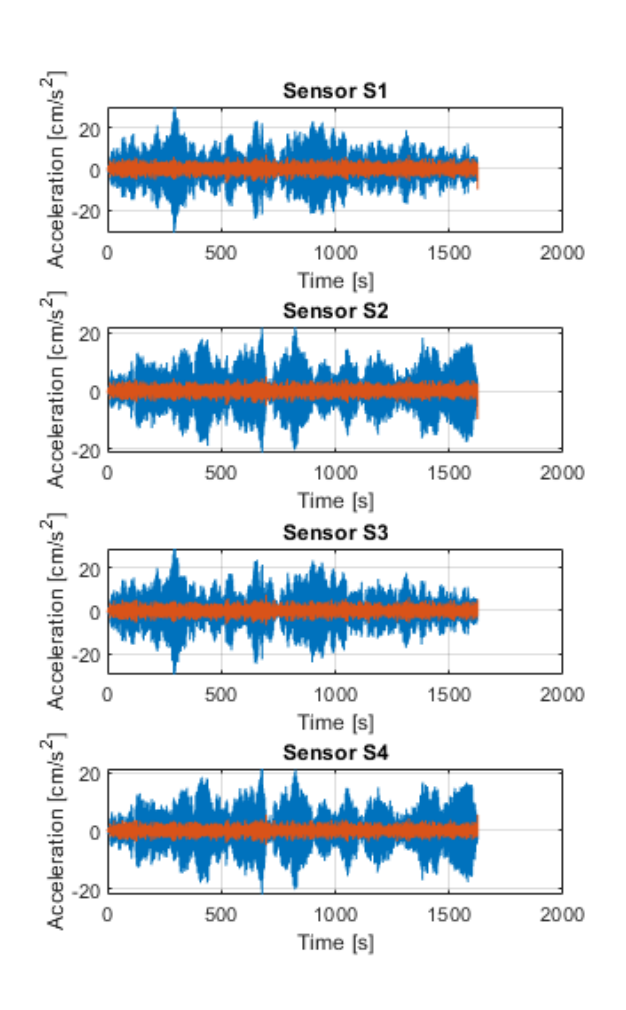




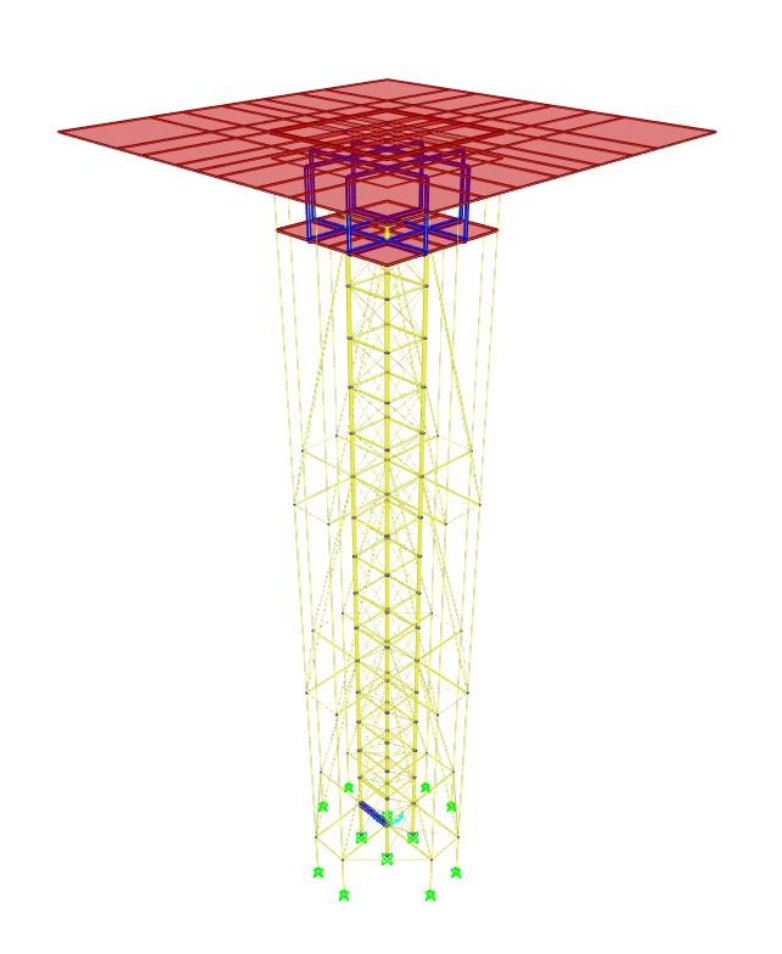




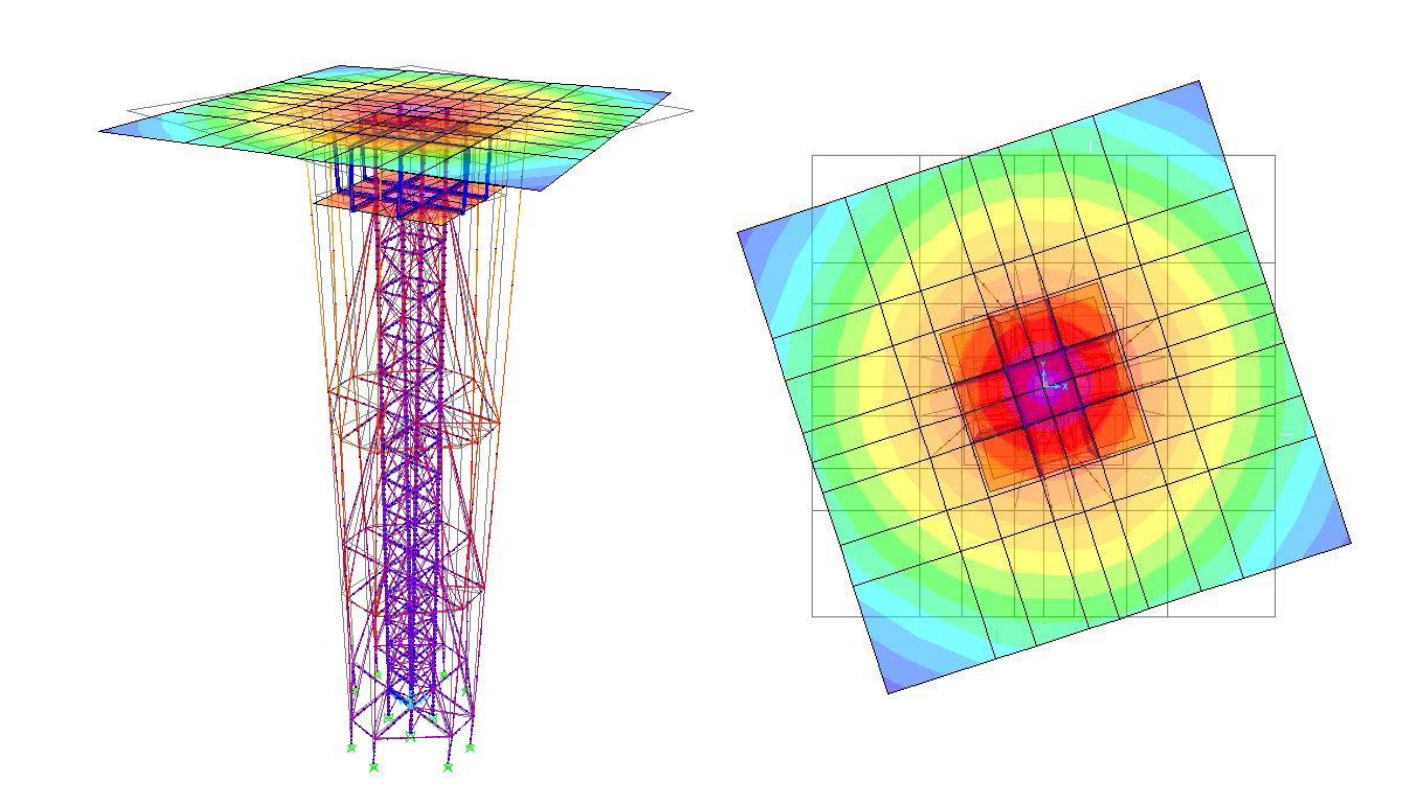




\ ISAAC



Modo [-]	T[s]	f [Hz]	Mx [%]	My [%]	Rz [%]
1	3.77	0.26	/	/	96%
2	1.62	0.62	/	82%	/
3	1.58	0.63	81%	/	/





7.

Bibliografia scientifica

Pubblicazioni ISAAC



Bibliografia scientifica

Pubblicazioni ISAAC

Article

Design and validation of a hardware-in-the-loop test bench for evaluating the performance of an active mass damper

Matteo Rosti¹, Stefano Cii¹, Alberto Bussini¹, Paolo M. Calvi², and Francesco Ripamonti³⊚





2022, Vol. 0(0) 1-14

Article reuse guidelines:

SSAGE

DOI: 10.1177/10775463221111262

Journal of Earthquake Engineering

ISSN: (Print) (Online) Journal homepage: https://www.tandfonline.com/loi/ueqe20

Full-Scale Shake Table Tests of a Reinforced Concrete Building Equipped with a Novel Servo-Hydraulic Active Mass Damper

G. Rebecchi, P. M. Calvi, Alberto Bussini, Filippo Dacarro, Davide Bolognini, Luca Grottoli, Matteo Rosti, Francesco Ripamonti & Stefano Cii

To cite this article: G. Rebecchi, P. M. Calvi, Alberto Bussini, Filippo Dacarro, Davide Bolognini, Luca Grottoli, Matteo Rosti, Francesco Ripamonti & Stefano Cii (2022): Full-Scale Shake Table Tests of a Reinforced Concrete Building Equipped with a Novel Servo-Hydraulic Active Mass Damper, Journal of Earthquake Engineering, DOI: 10.1080/13832489.2022.2121338

To link to this article: https://doi.org/10.1080/13632469.2022.2121338





Taylor & Francis



Available online at www.sciencedirect.com

ScienceDirect

Procedia Structural Integrity 44 (2023) 1180-1187



XIX ANIDIS Conference, Seismic Engineering in Italy

An Innovative Active Control System for The Seismic Retrofit of a Precast R.C. Wall-Bearing Building

Giovanni Rebecchi^{a*}, Fabio Menardo^a, Matteo Rosti^a, Alberto Bussini^a, Pietro Diamanti^b, Francesco Del Viva^b, Gerardo Masiello^b, Salvatore Sguazzo^c

"ISAAC srl, via Magolfa 27, Milano 20143, Italy bSMStrutture, Via Giovanni Battista Picotti 6, Pisa 56124, Italy "Proger spa, via Valadier 42, Roma 00193, Italy





Bibliografia scientifica

Pubblicazioni ISAAC

COMPDYN 2023 9th ECCOMAS Thematic Conference on Computational Methods in Structural Dynamics and Earthquake Engineering M. Papadrakakis, M. Fragiadakis (eds.) Athens, Greece, 12-14 June 2023



FULL-SCALE SHAKE TABLE TESTS OF A R.C. BUILDING EQUIPPED WITH AN ACTIVE MASS DAMPER: EXPERIMENTAL RESULTS AND NUMERICAL SIMULATIONS

G. Rebecchi¹, F. Menardo¹, M. Rosti¹, A. Bussini¹, P.M. Calvi²

Life cycle benefits of seismic protection using a novel active mass damper

C. Fontana University School for Advanced Studies (IUSS), Pavia, Italy

M. Caruso, R. Pinho University of Pavia, Pavia, Italy

F. Menardo, G. Rebecchi, A. Bussini ISAAC srl, Milan, Italy

Principi di funzionamento, modellazione ed analisi di sistemi **Active Mass Damper in Midas Gen**











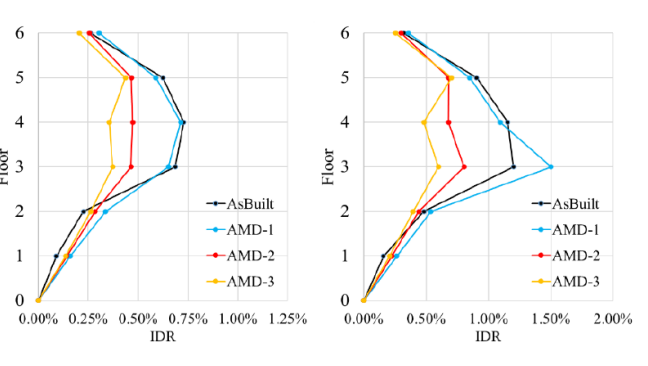


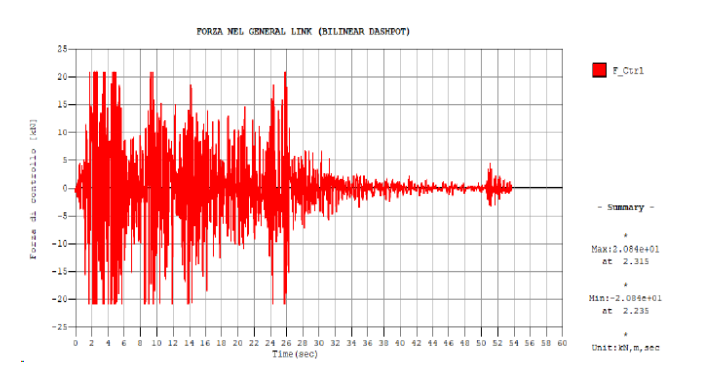












Bibliografia scientifica

Pubblicazioni ISAAC

lostrutturista





La protezione sismica attiva: prove sperimentali, simulazioni numeriche e strumenti per la progettazione Giovanni <u>Rebecchi, Alberto Bussini</u>

E-ISSN 2532-1560

